

Pulsares Y Estrellas de Neutrones

Dany Page

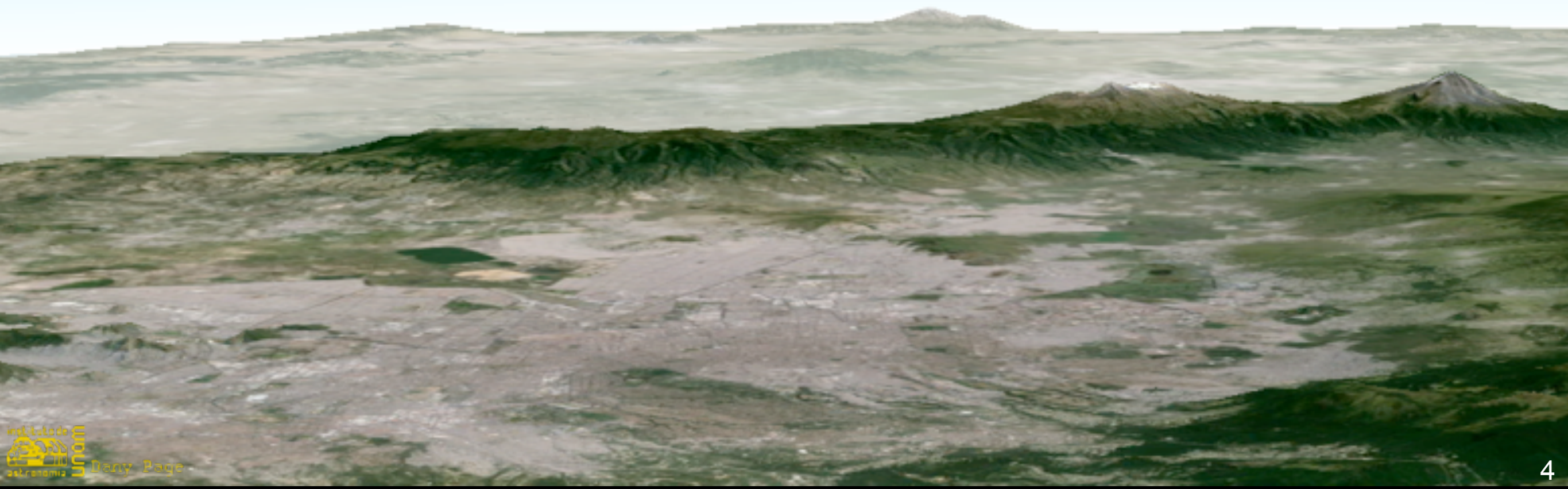
Instituto de Astronomía

Universidad Nacional Autónoma de México

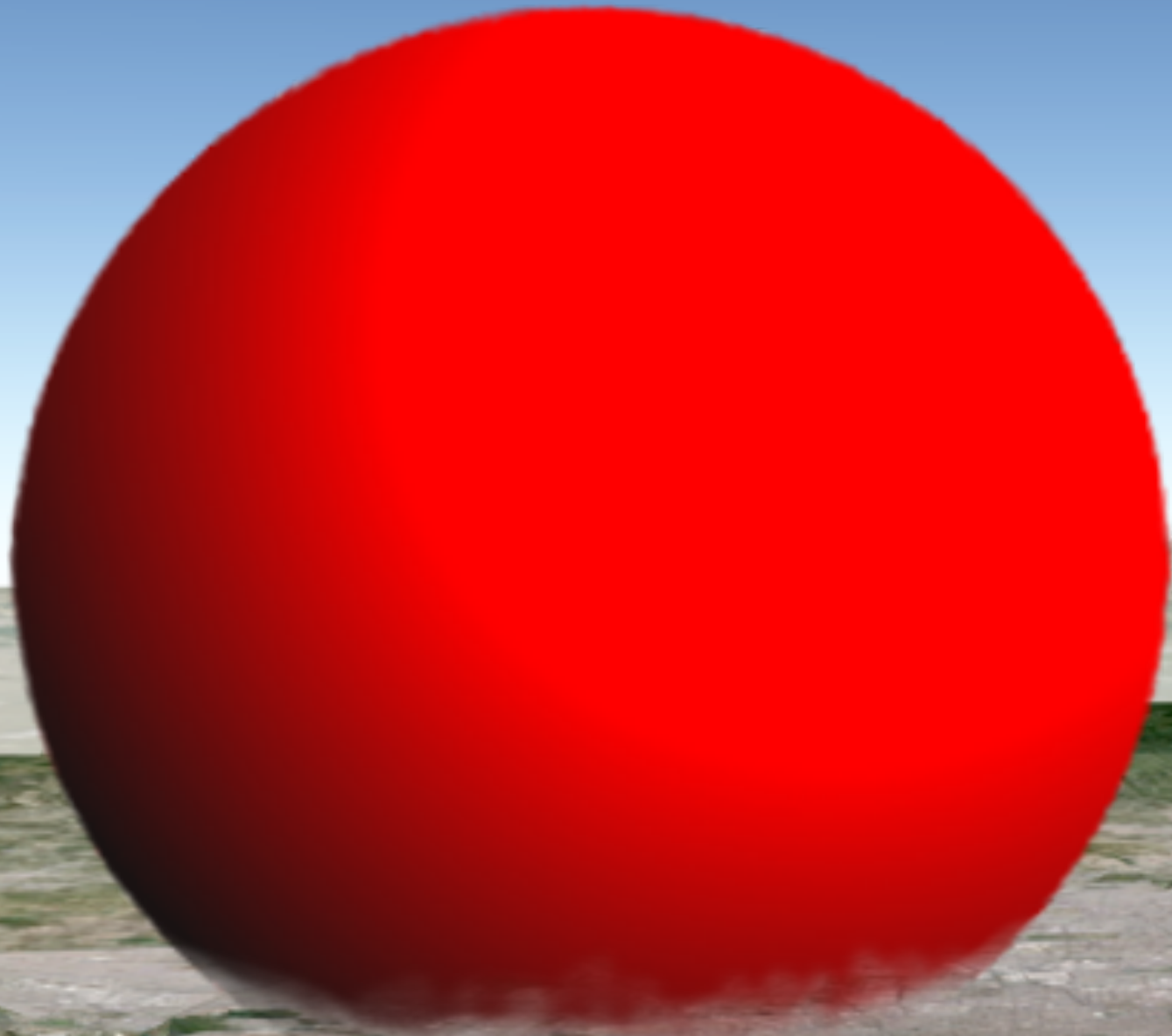
- Estrellas de Neutrones
- Pulsares
- Supernovas
- Campos Magnéticos
- Binarias de Rayos X

Estrellas de Neutrones

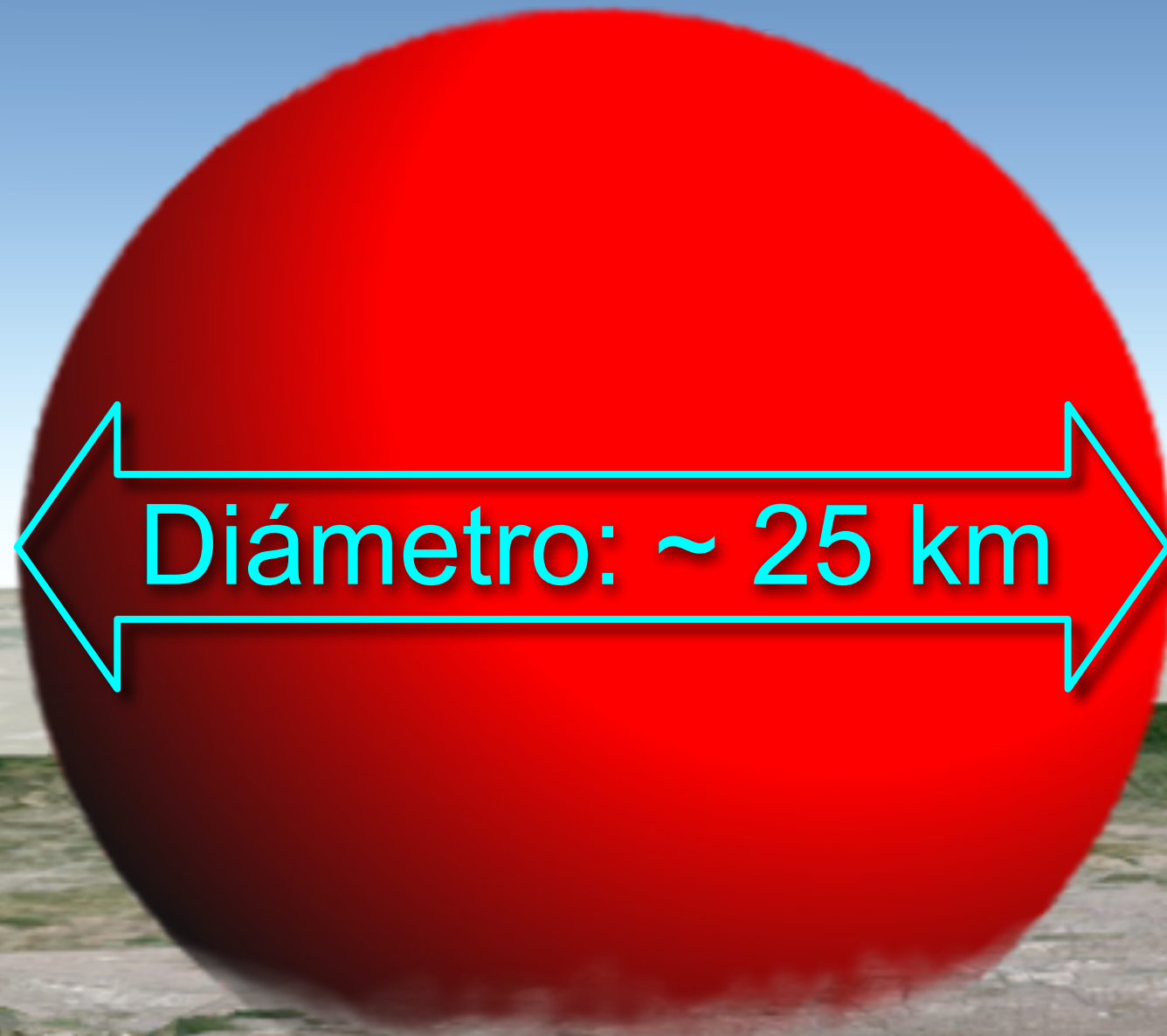
Valle de México



Una Estrella de Neutrones en el Valle de México



Una Estrella de Neutrones en el Valle de México



Una Estrella de Neutrones en el Valle de México



Diámetro: ~ 25 km

Masa: 1 a 2 M_{\odot}

Una Estrella de Neutrones en el Valle de México

Densidad central: $\sim 10^{15} \text{ g cm}^{-3}$
(mil millones de toneladas por cm^3 !)

Masa: 1 a 2 M_{\odot}



Diámetro: $\sim 25 \text{ km}$

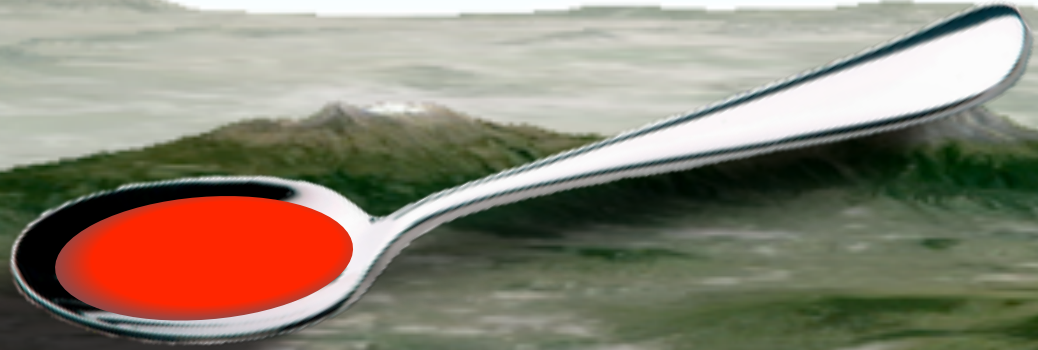
Una Estrella de Neutrones en el Valle de México

Densidad central: $\sim 10^{15} \text{ g cm}^{-3}$
(mil millones de toneladas por cm^3 !)

Masa: 1 a 2 M_{\odot}

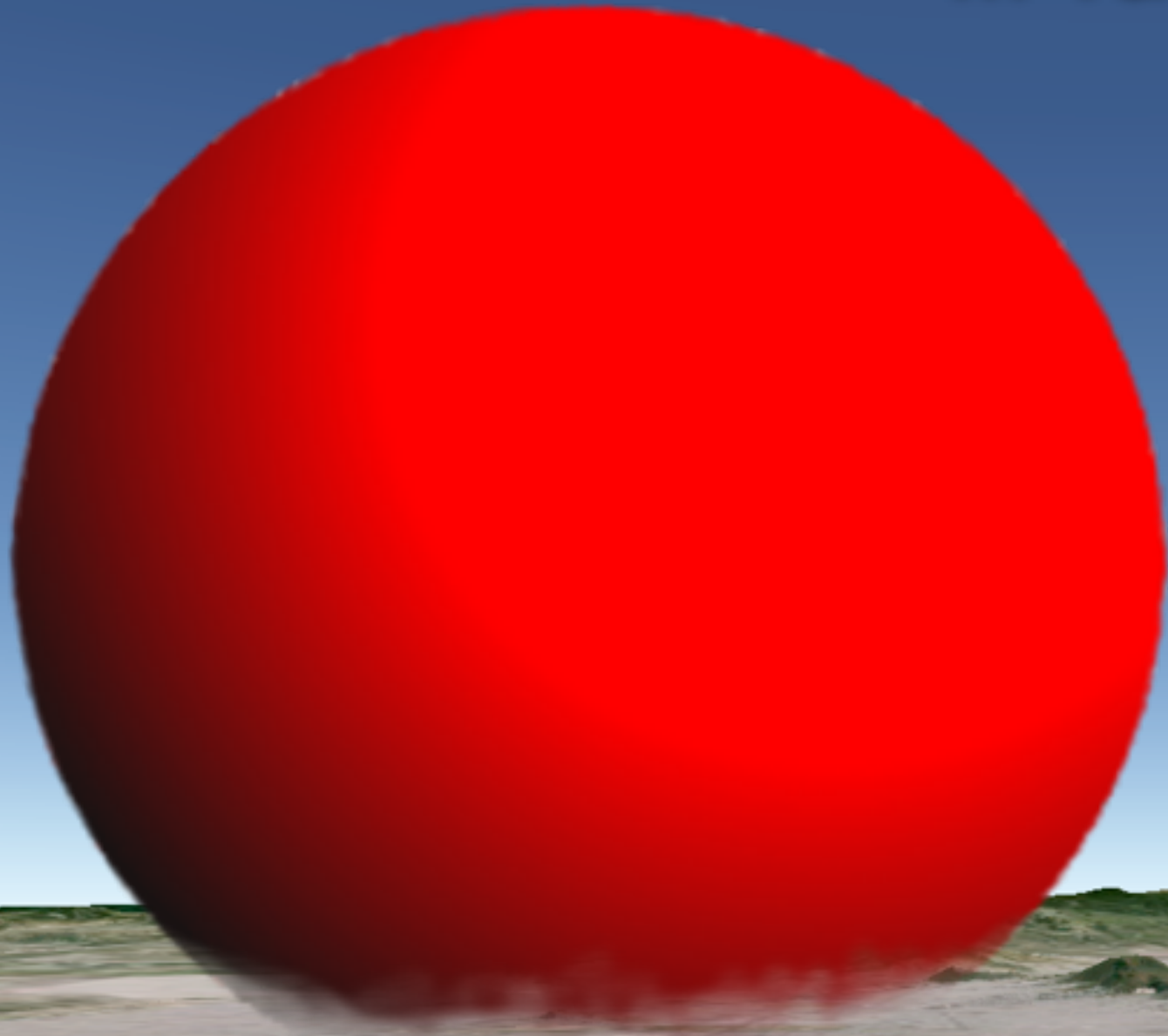


Diámetro: $\sim 25 \text{ km}$



Una cucharada de materia de
estrella de neutrones pesa mas
que todos los edificios de la
Ciudad de México

... va camino hacia la UNAM

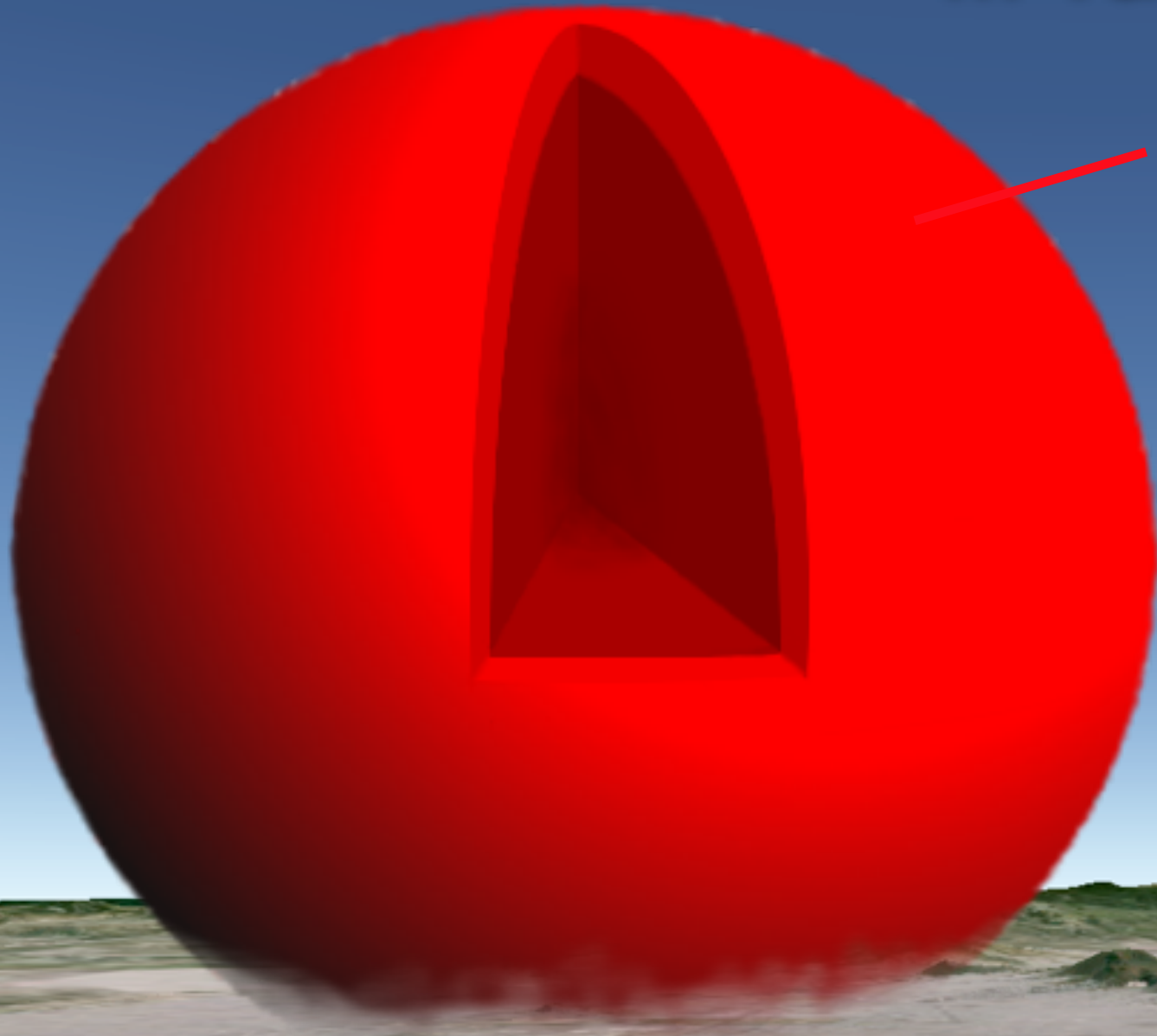


... va camino hacia la UNAM

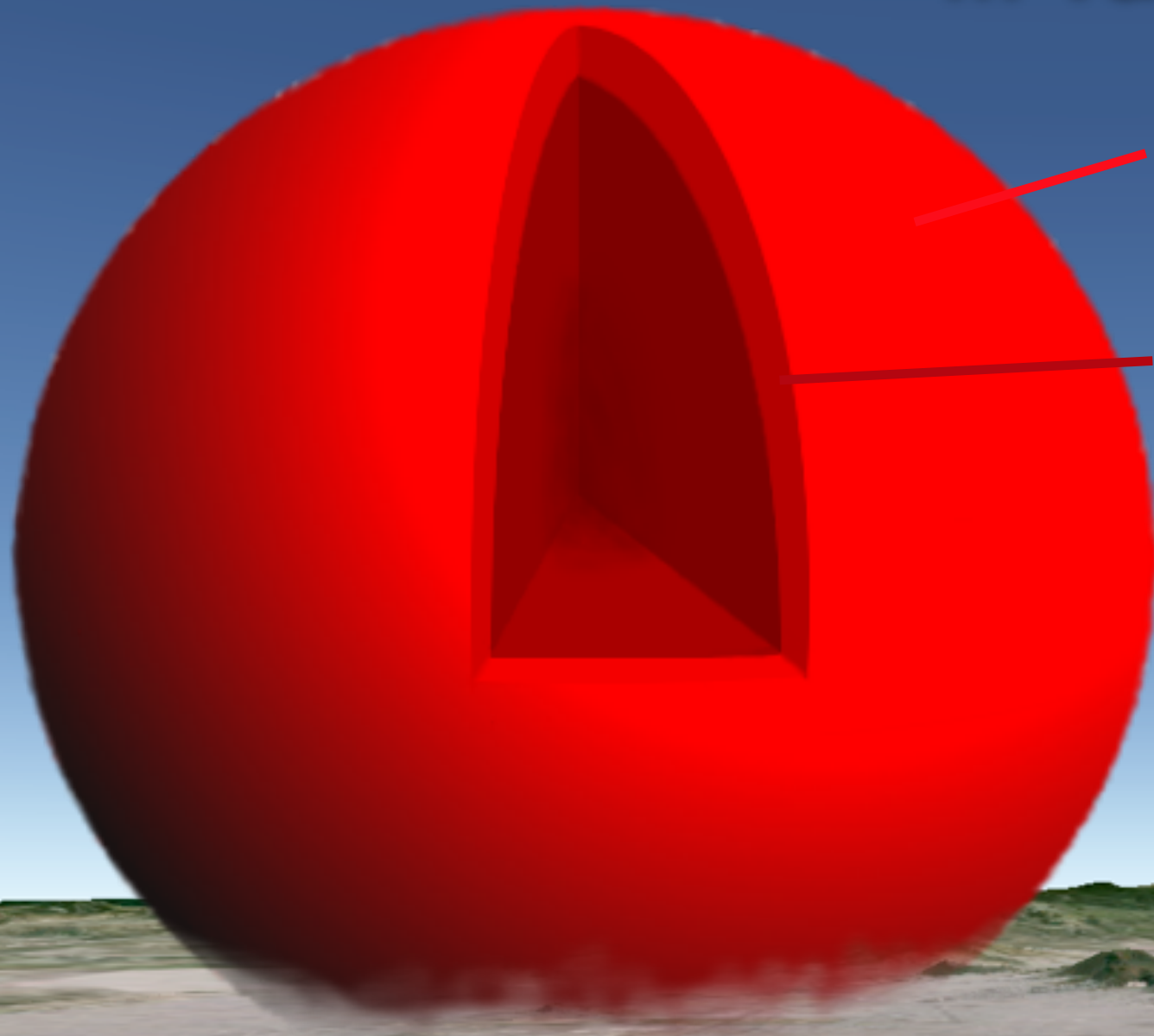
Atmósfera y Oceano

... va camino hacia la UNAM

Atmósfera y Oceano



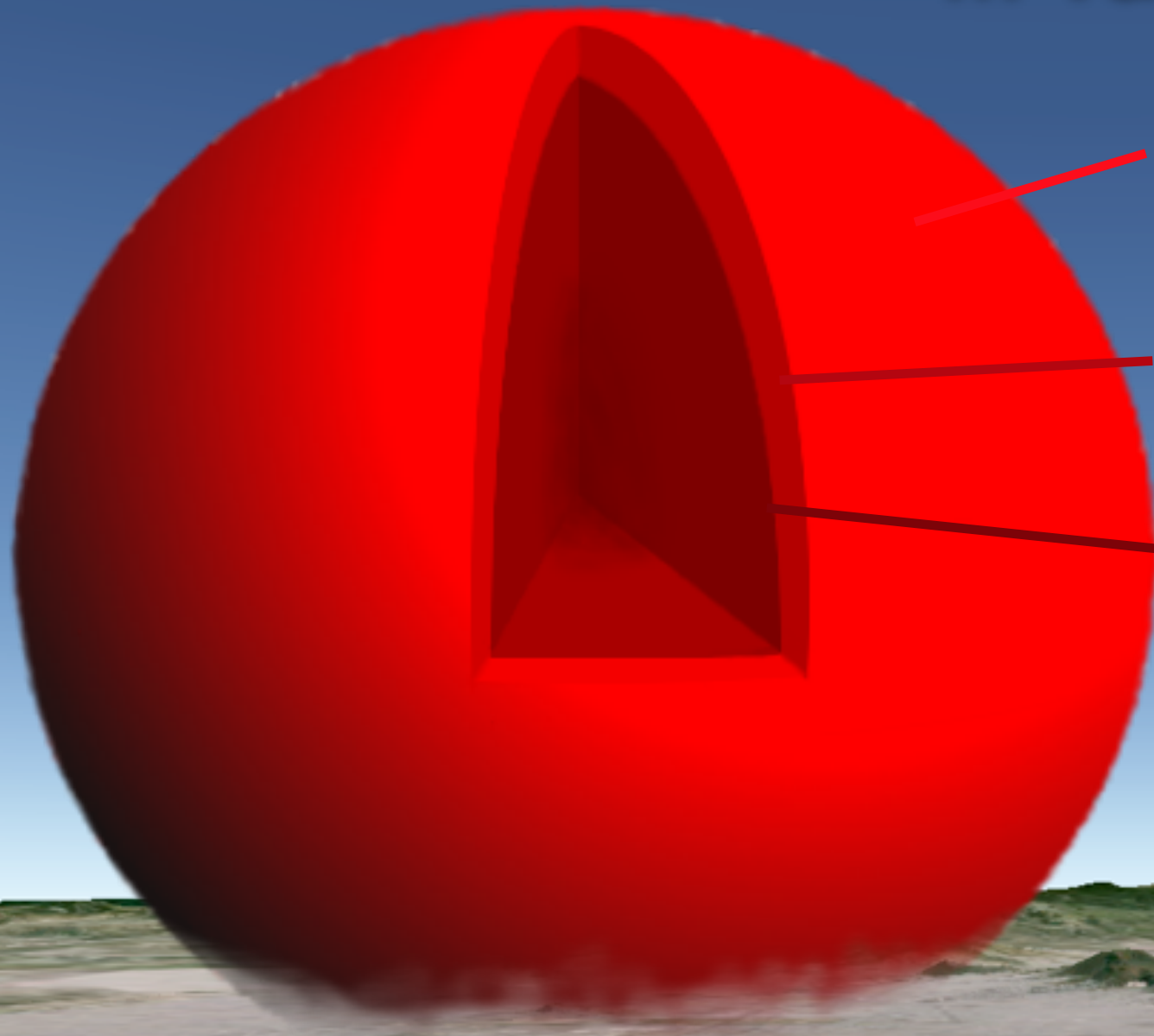
... va camino hacia la UNAM



Atmósfera y Oceano

Corteza metálica (~ 1 km)

... va camino hacia la UNAM

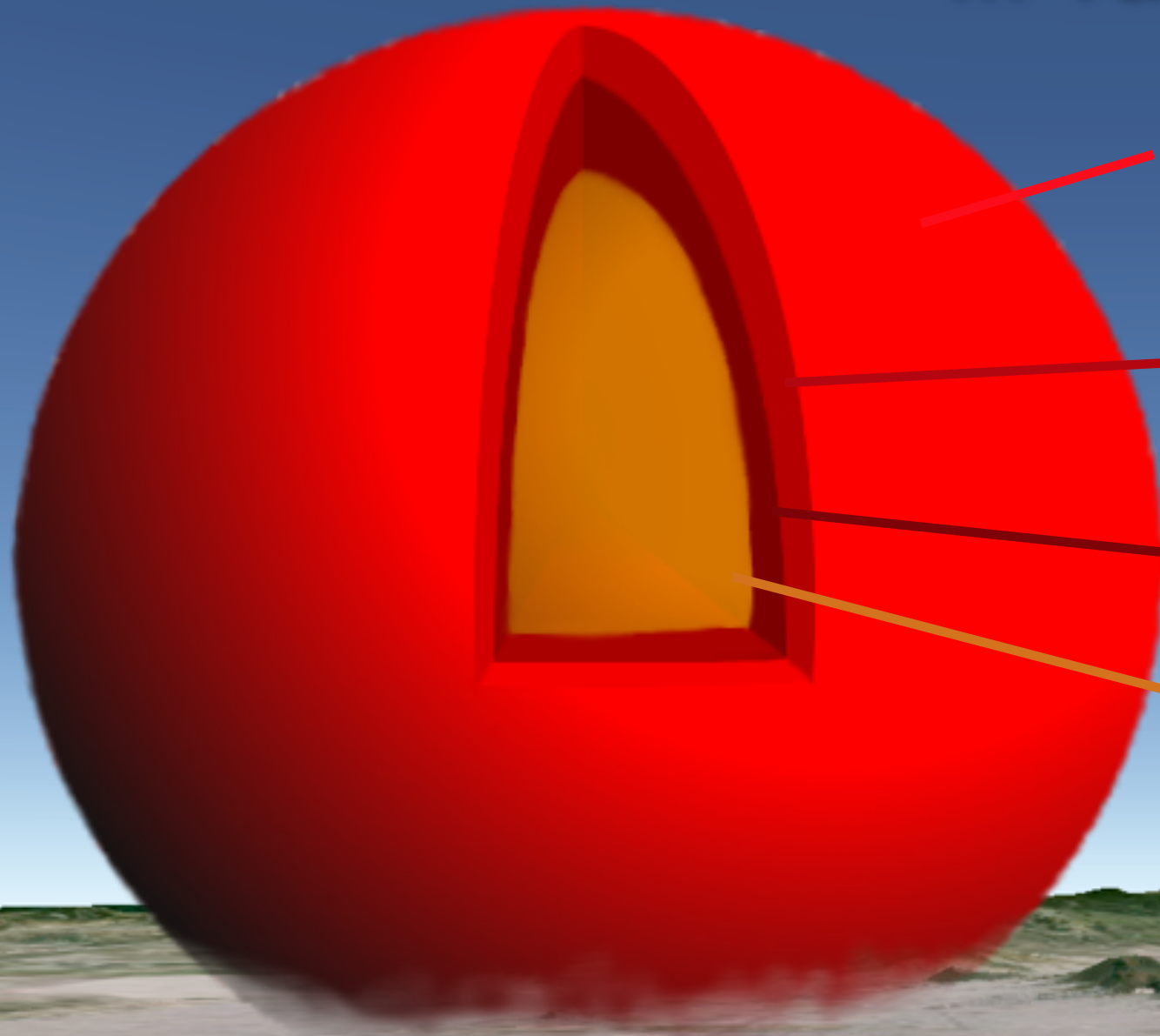


Atmósfera y Oceano

Corteza metálica (~ 1 km)

Carozo: $\rho > \rho_{\text{nuc}}$
($\rho_{\text{nuc}} = 2.8 \times 10^{14} \text{ g cm}^{-3}$)

... va camino hacia la UNAM



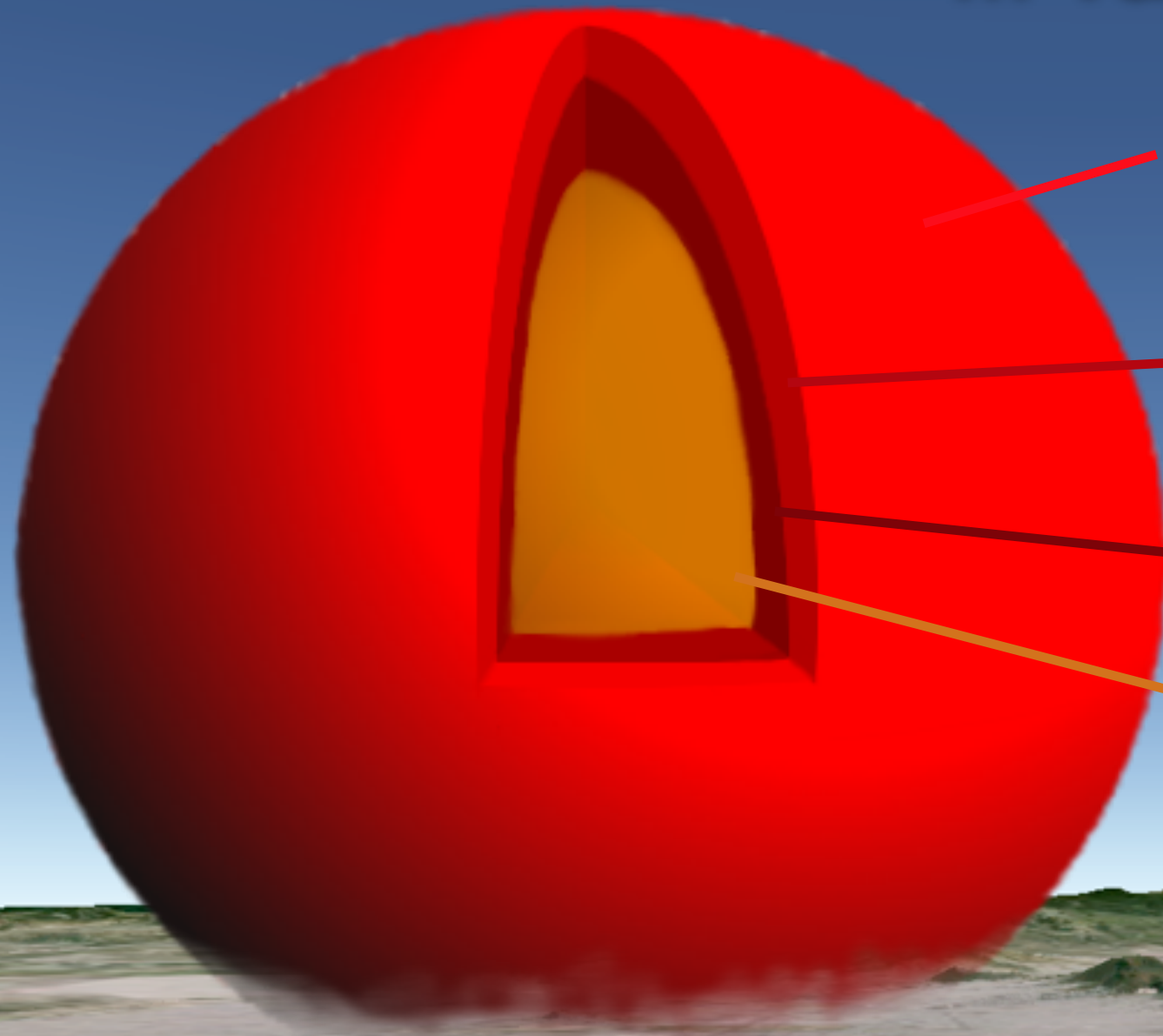
Atmósfera y Oceano

Corteza metálica (~ 1 km)

Carozo: $\rho > \rho_{\text{nuc}}$
($\rho_{\text{nuc}} = 2.8 \times 10^{14} \text{ g cm}^{-3}$)

Superfluido

... va camino hacia la UNAM



Atmósfera y Oceano

Corteza metálica (~ 1 km)

Carozo: $\rho > \rho_{\text{nuc}}$
($\rho_{\text{nuc}} = 2.8 \times 10^{14} \text{ g cm}^{-3}$)

Superfluido

Superfluido en estrellas de neutrones: postulado en 1959 por A. Migdal

Primera evidencia observacional: enfriamiento de "Cas A"

Las Estrellas de Neutrones Existen

Consideremos el pulsar mas rápido conocido:

PSR J1748.2448aD en Terzan 5: periodo rotacional **P=1.39 ms**

Velocidad en el equador < velocidad de la luz:

$$v_{\text{equator}} = \Omega R = \frac{2\pi R}{P} < c \implies R < 2\pi c P = 65 \text{ km}$$

Las Estrellas de Neutrones Existen

Consideremos el pulsar mas rápido conocido:

PSR J1748.2448aD en Terzan 5: periodo rotacional **P=1.39 ms**

Velocidad en el equador < velocidad de la luz:

$$v_{\text{equator}} = \Omega R = \frac{2\pi R}{P} < c \implies R < 2\pi c P = 65 \text{ km}$$

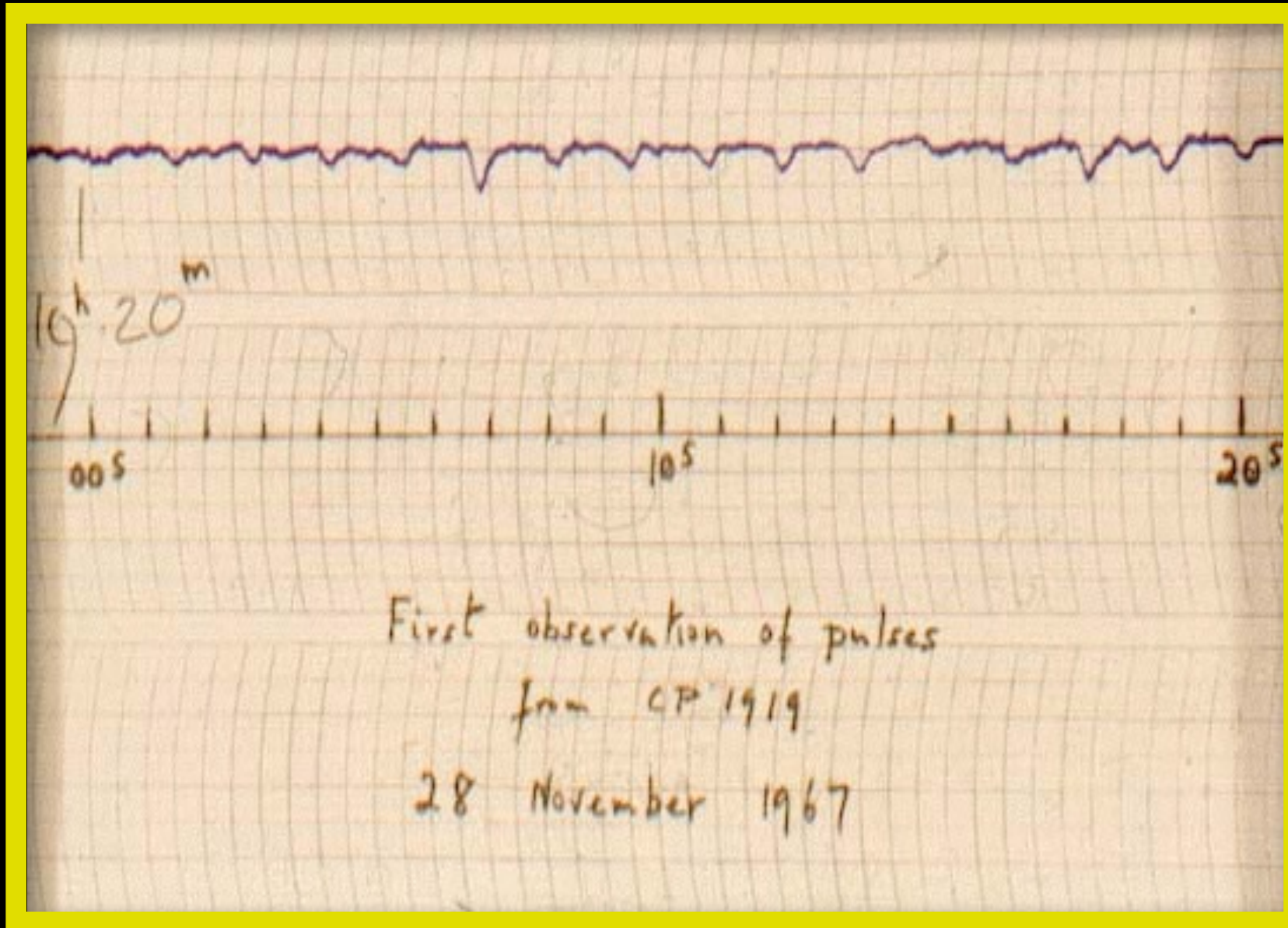
Acceleración gravitacional: $a_{\text{gravedad}} > a_{\text{centrifuga}}$ en el equador:

$$a_{\text{gravity}} = \frac{GM}{R^2} > a_{\text{centrifugal}} = \Omega^2 R = \frac{4\pi^2 R}{P^2} \quad \text{or} \quad \frac{M}{R^3} > \frac{4\pi^2}{GP^2}$$

$$\implies \bar{\rho} = \frac{M}{\frac{4}{3}\pi R^3} > 8 \times 10^{13} \text{ g cm}^{-3}$$

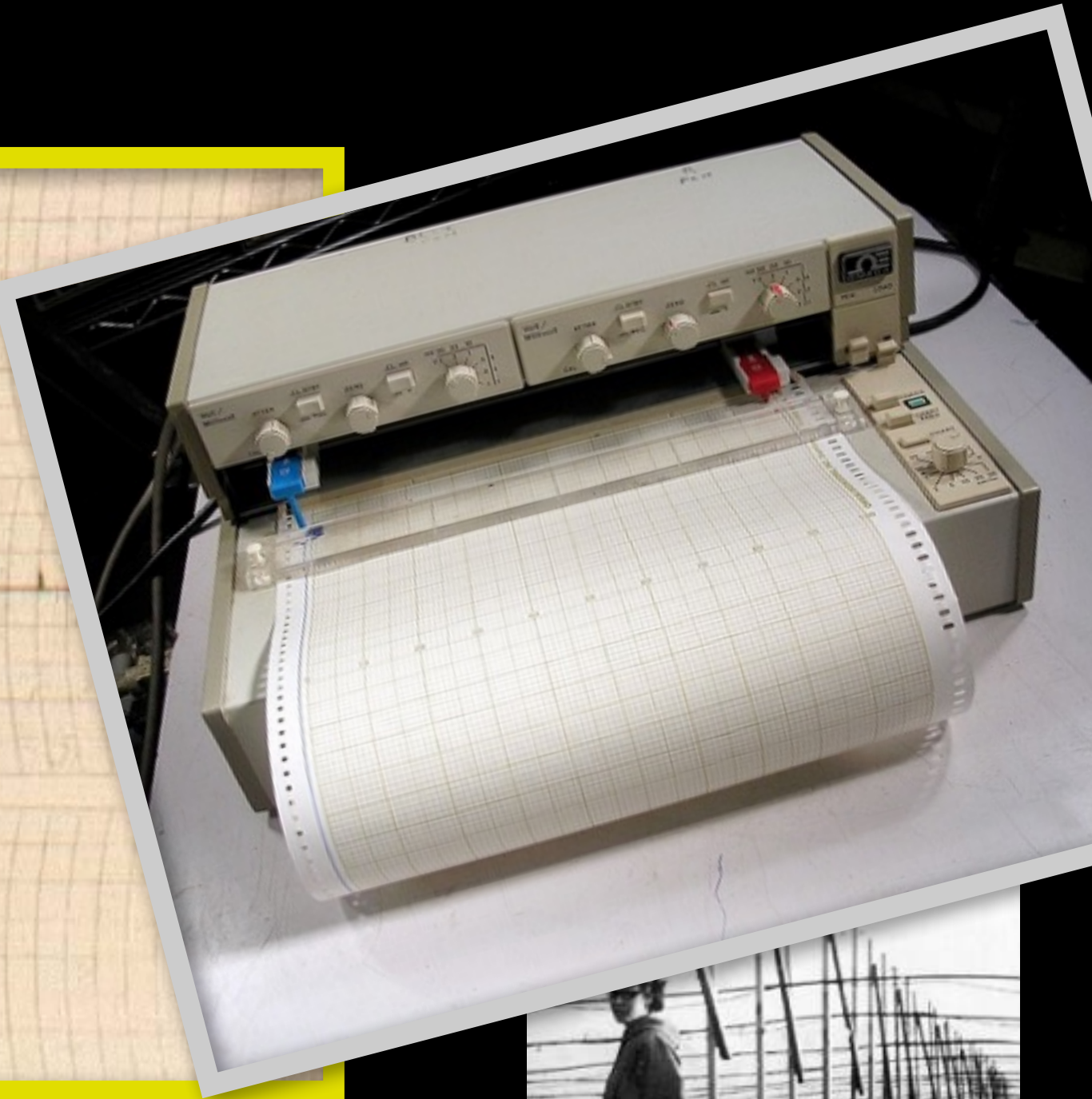
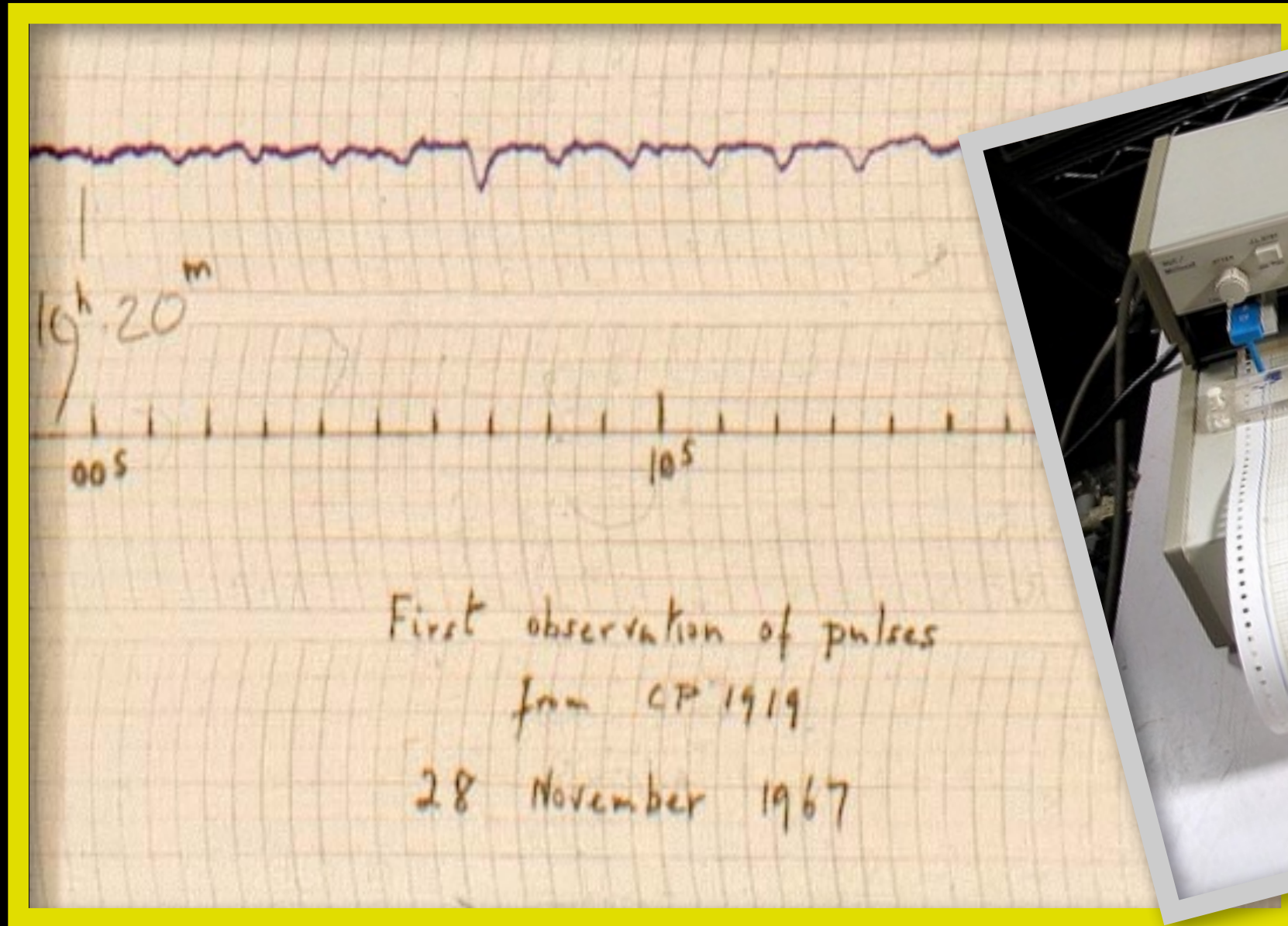
Pulsares

El Descubrimiento del Primer Pulsar (1967)



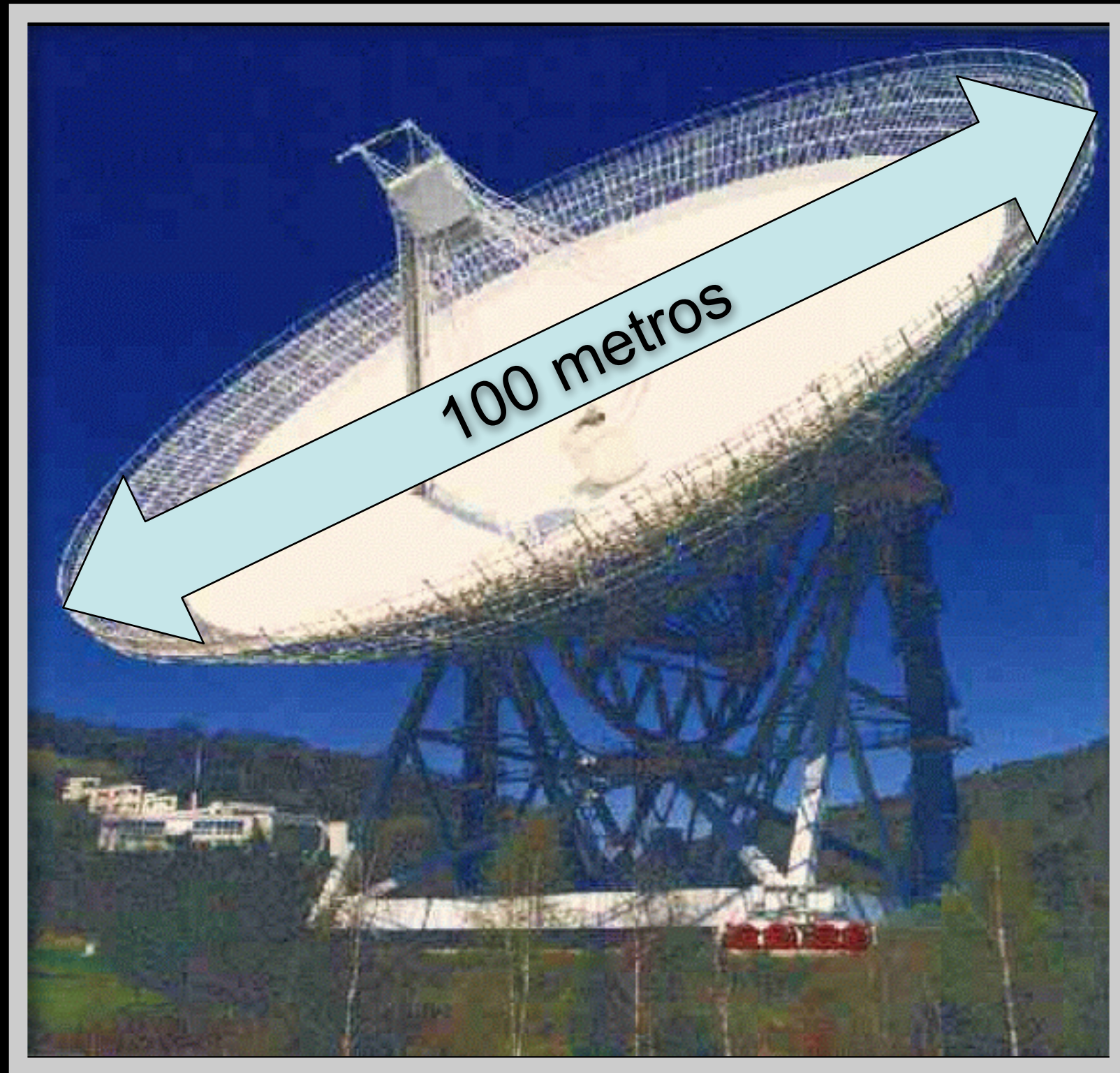
Jocelyn Bell

El Descubrimiento del Primer Pulsar (1967)



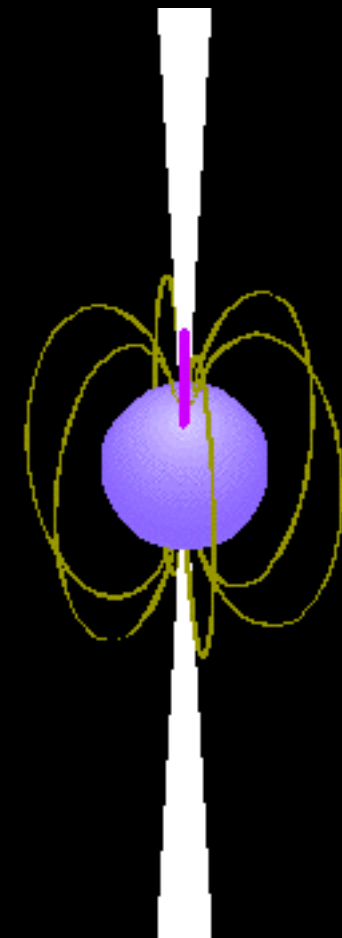
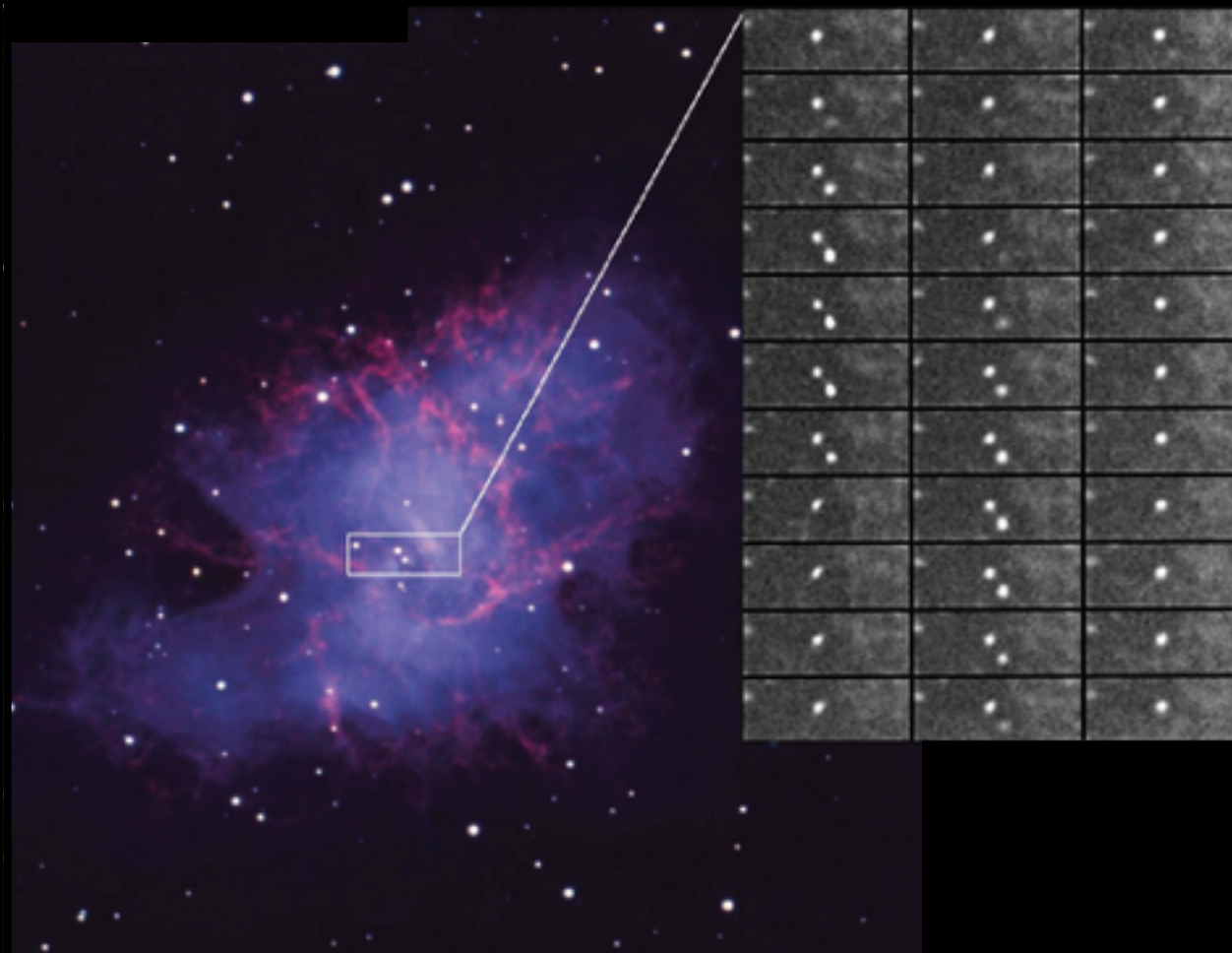
Jocelyn Bell

El Radio-Telescopio de Effelsberg (Bonn)



El Pulsar del Cangrejo

Periodo de
rotación:
33 milisegundos

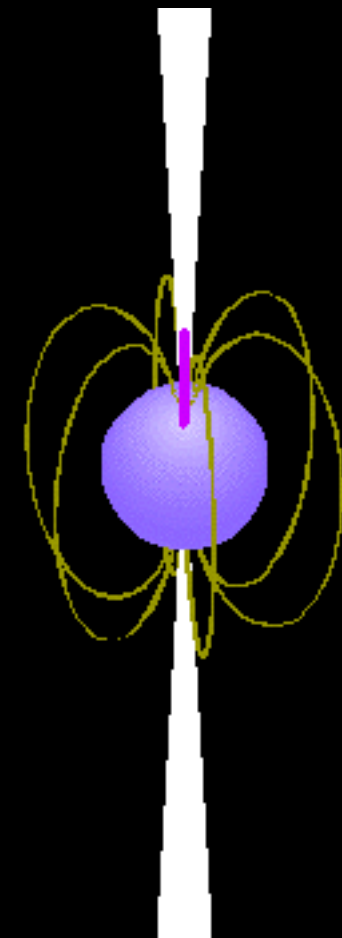
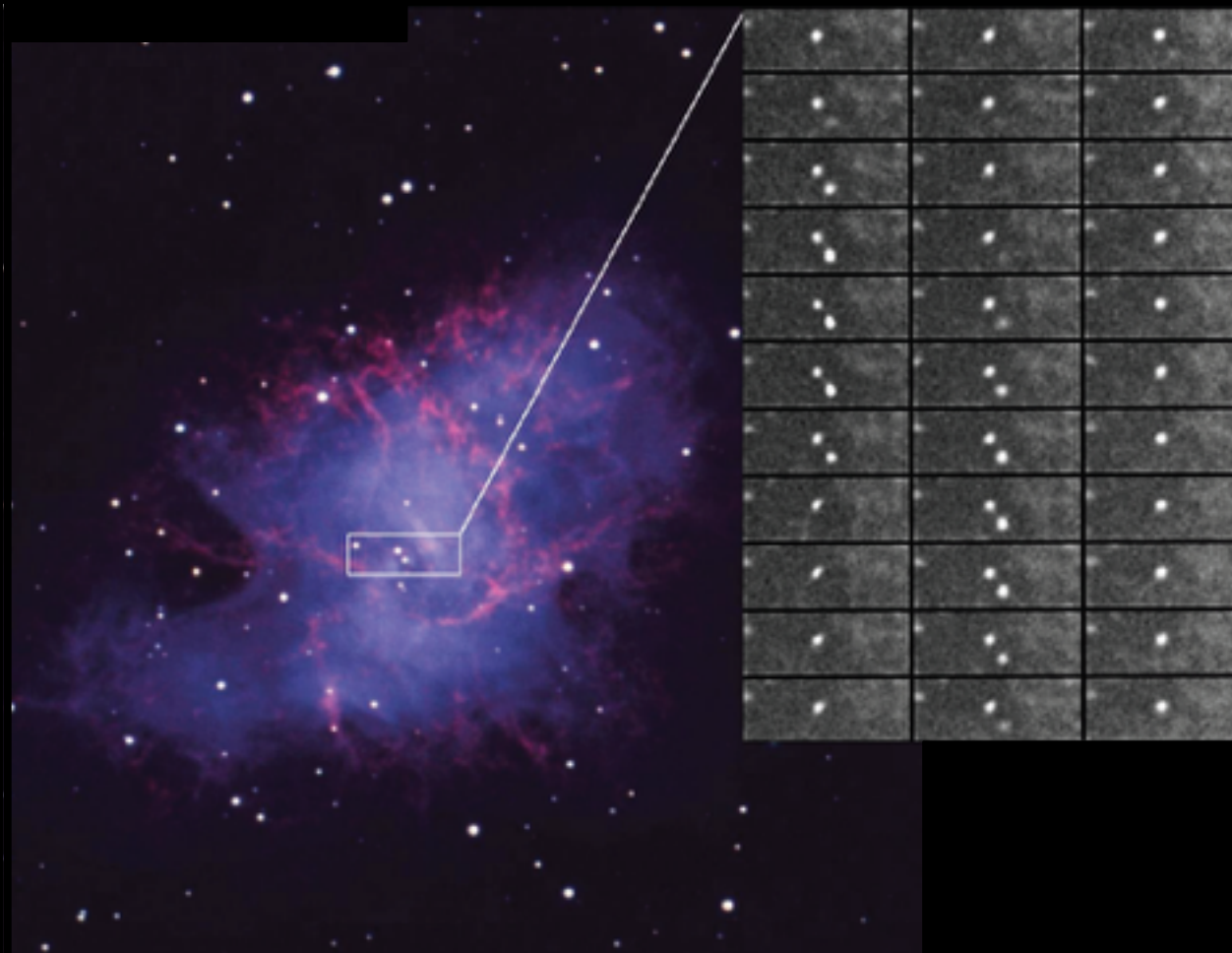


© 2004 The Trustees of Amherst College. www.amherst.edu/~gsqgreenstein/progs/animations/pulsar_beacon/

Solo un puñado de pulsares se ven en el óptico:
la gran mayoría se had descubierto en ondas radio

El Pulsar del Cangrejo

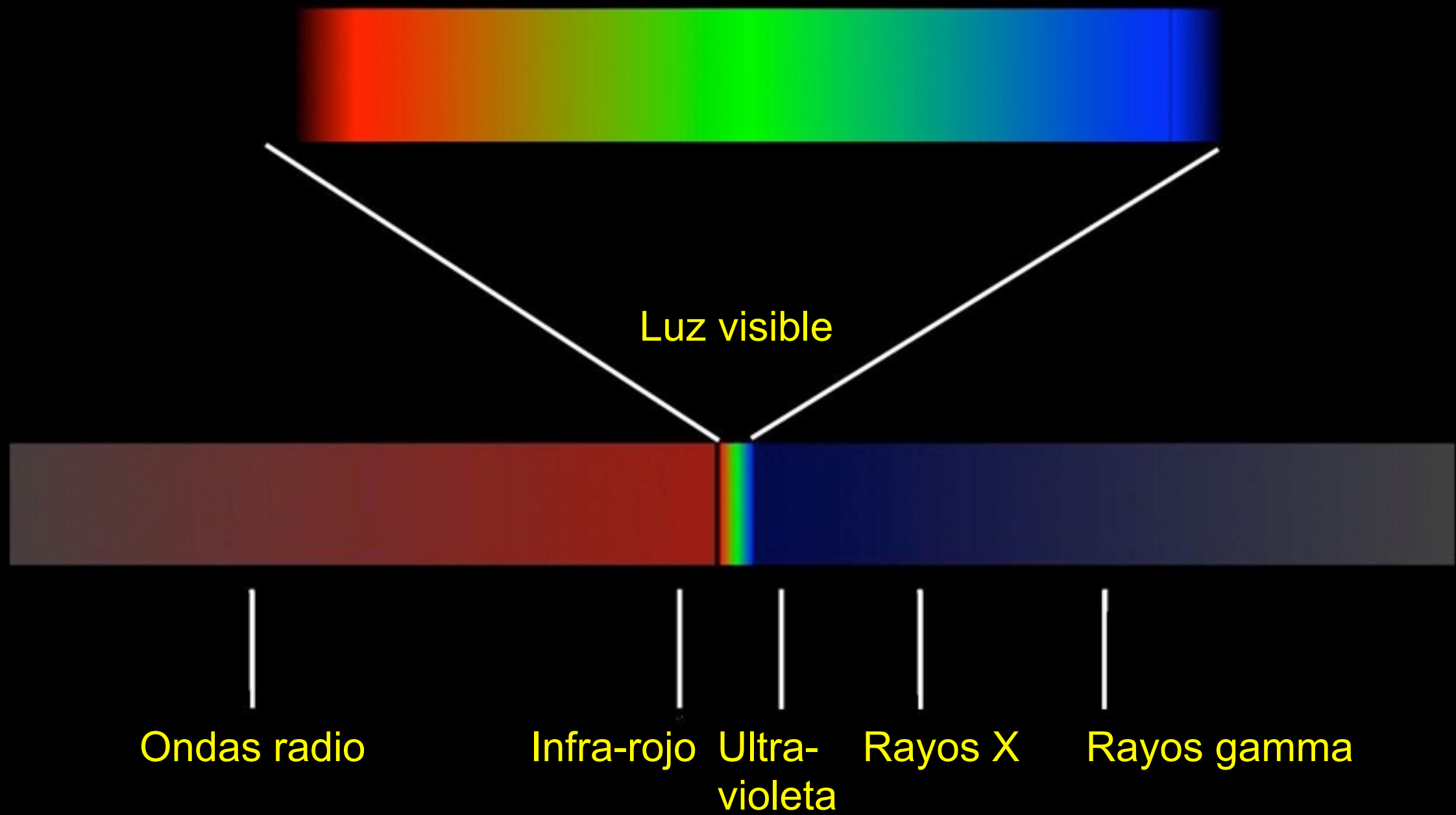
Periodo de rotación:
33 milisegundos



© 2004 The Trustees of Amherst College. www.amherst.edu/~gsqgreenstein/progs/animations/pulsar_beacon/

Solo un puñado de pulsares se ven en el óptico:
la gran mayoría se had descubierto en ondas radio

El Espectro Electromagnético



Chandra



Lanzado el 23 de julio de 1999

¿ Que es un pulsar ?

Un pulsar, “PSR”, es una ESTRELLA de NEUTRONES con un periodo de rotación o “espín”, P , medido

Es todo.

¿ Que es un pulsar ?

Un pulsar, "PSR", es una ESTRELLA de NEUTRONES con un periodo de rotación o "espín", P , medido

Es todo.

¿ Que es un pulsar ?

Un pulsar, "PSR", es una ESTRELLA de NEUTRONES con un periodo de rotación o "espín", P, medido

Es todo.

Un PSR puede ser un

- Pulsar radio
 - Pulsar óptico
 - Pulsar de rayos X
 - Pulsar de rayos gamma
 - ...
 - Pulsar de neutrinos
 - Pulsar de ondas gravitacionales
- } ¡ Todavía no detectados !

y puede ser aislado o binario.

En un sistema binario puede estar acretando, o no acretando o puede a veces estar acretando y luego ya no, ...

¿ Que es un pulsar ?

Un pulsar, "PSR", es una ESTRELLA de NEUTRONES con un periodo de rotación o "espín", P, medido

Es todo

La inmensa mayoría de las estrellas de neutrones no son pulsares.

La mayoría de las estrellas de neutrones conocidas son pulsares.

...

- Pulsar de neutrinos
- Pulsar de ondas gravitacionales

¡ Todavía no detectados !

y puede ser aislado o binario.

En un sistema binario puede estar acretando, o no acretando o puede a veces estar acretando y luego ya no, ...

¿ Que es un pulsar ?

Un pulsar, "PSR", es una ESTRELLA de NEUTRONES con un periodo de rotación o "espín", P, medido

Es todo

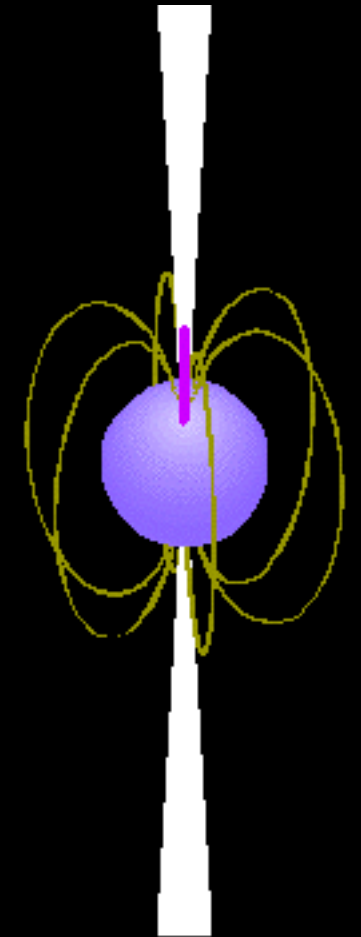
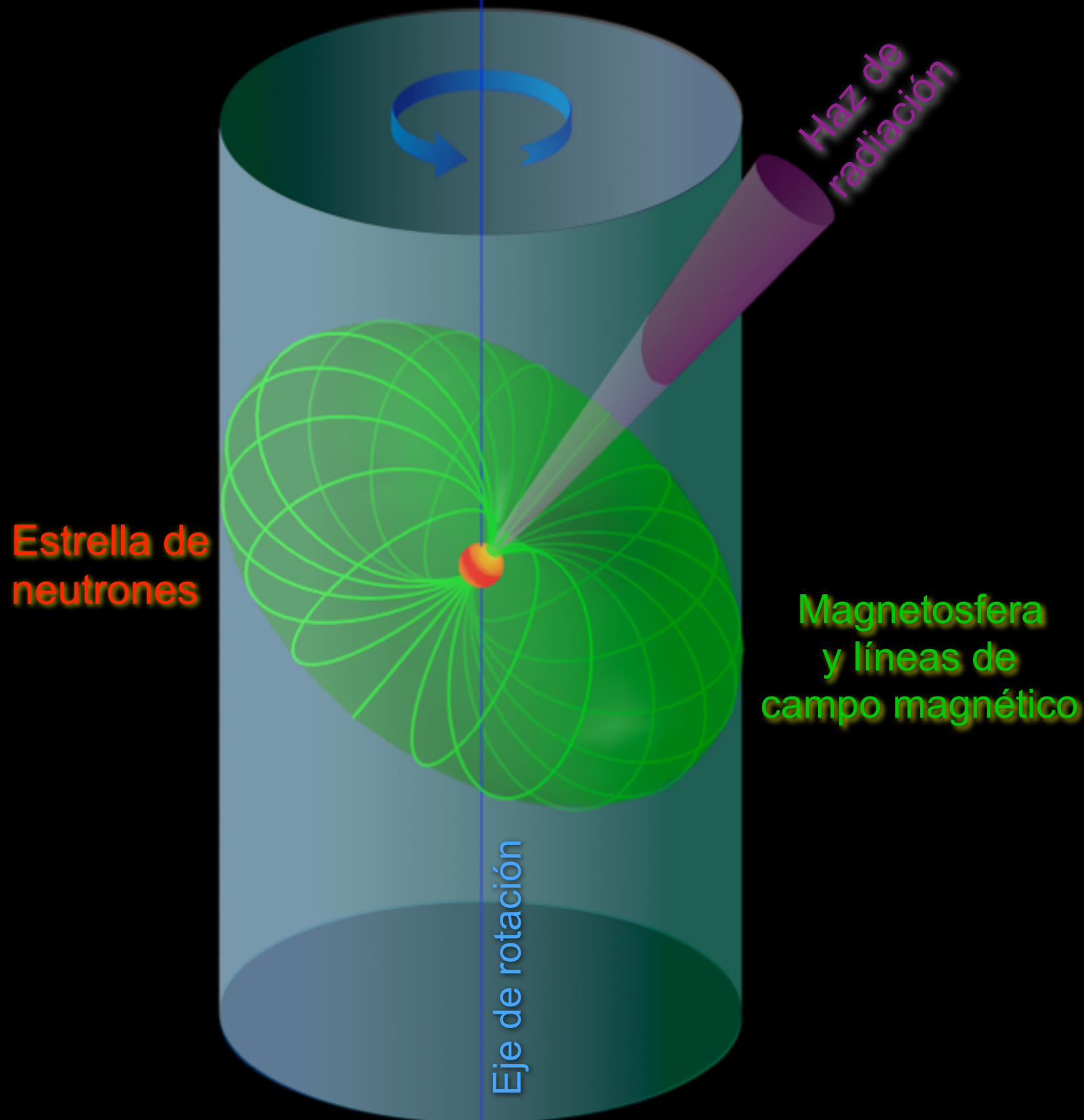
La inmensa mayoría de las estrellas de neutrones no son pulsares.

La mayoría de las estrellas de neutrones conocidas son pulsares.

Hay unas 10^{11} estrellas en la Vía Láctea y un 1% de ellas (10^8 - 10^9) son estrellas de neutrones
0.1% de ellas (10^4 - 10^5) han de ser pulsares
de los cuales unos 2000 han sido detectados.

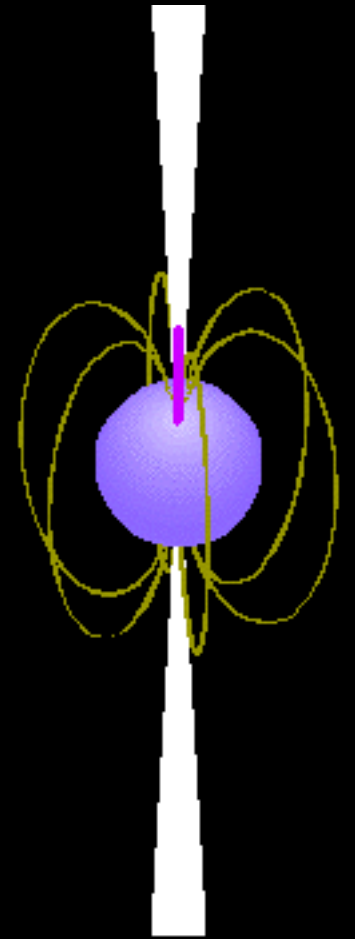
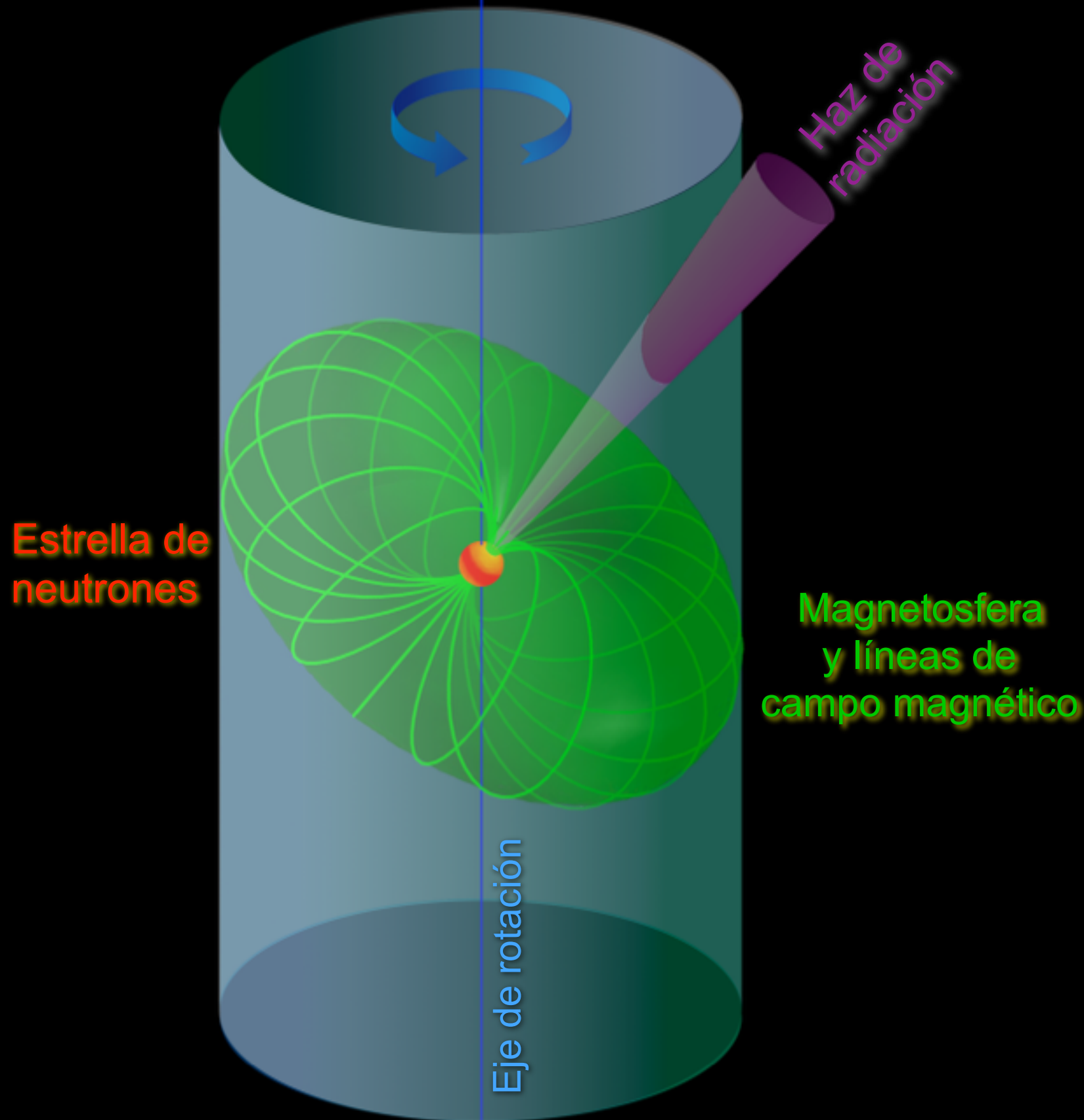
no
os !

Un Pulsar y su Magnetosfera



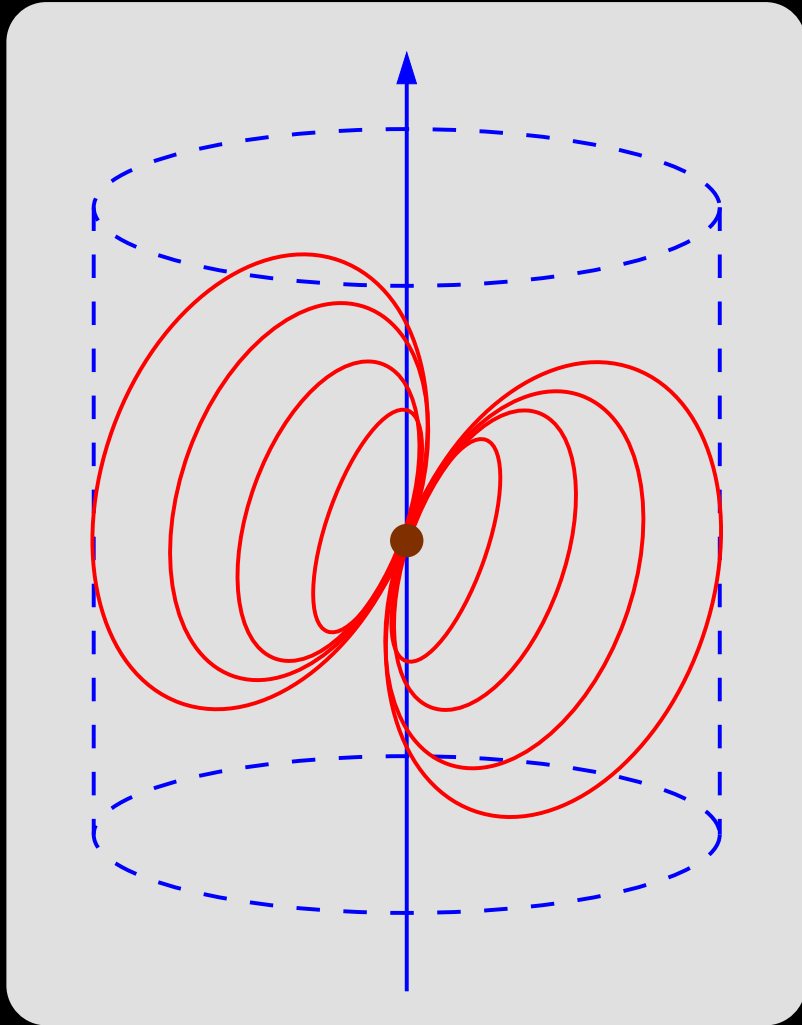
© 2004 The Trustees of Amherst College. www.amherst.edu/~qsqgreenstein/progs/animations/pulsar_beacon/

Un Pulsar y su Magnetosfera



© 2004 The Trustees of Amherst College. www.amherst.edu/~qsqgreenstein/progs/animations/pulsar_beacon/

El Modelo Magneto-Dipolar de Frenado I



$$R_{lc} = \frac{c}{\Omega} = \frac{cP}{2\pi} \simeq 50 \text{ km} \times P_{\text{millisec.}}$$

$$B_{lc} \simeq B_0 \left(\frac{R}{R_{lc}} \right)^3 = \frac{B_0 R^3}{c^3} \Omega^3$$

$$E_{m,lc} = \frac{B_{lc}^2}{4\pi} = \frac{B_0^2 R^6}{4\pi c^6} \Omega^6$$

$$\dot{E}_{\text{md}} \sim -A_{lc} E_{m,lc} c \simeq \frac{B_0^2 R^6}{c^3} \Omega^4 \quad \text{con} \quad A_{lc} \simeq 4\pi R_{lc}^2$$

Radiación
magneto-dipolar
en el vacío:

$$\dot{E}_{\text{md}}^{\text{vac.}} = -\frac{B_p^2 R^6 \Omega^4}{c^3} \times \frac{1}{6} \sin^2 \alpha$$

El Modelo Magneto-Dipolar de Frenado II

Energía cinética de rotación $E_{\text{rot}} = \frac{1}{2} I \Omega^2 \implies \dot{E}_{\text{rot}} = I \Omega \dot{\Omega}$

Ecuación de frenado magneto-dipolar: $\dot{E}_{\text{rot}} = -\dot{E}_{\text{md}}$

nos da: $\dot{\Omega} = -k \frac{B_0^2 R^6}{c^3 I} \Omega^3 \quad (k \simeq 1)$

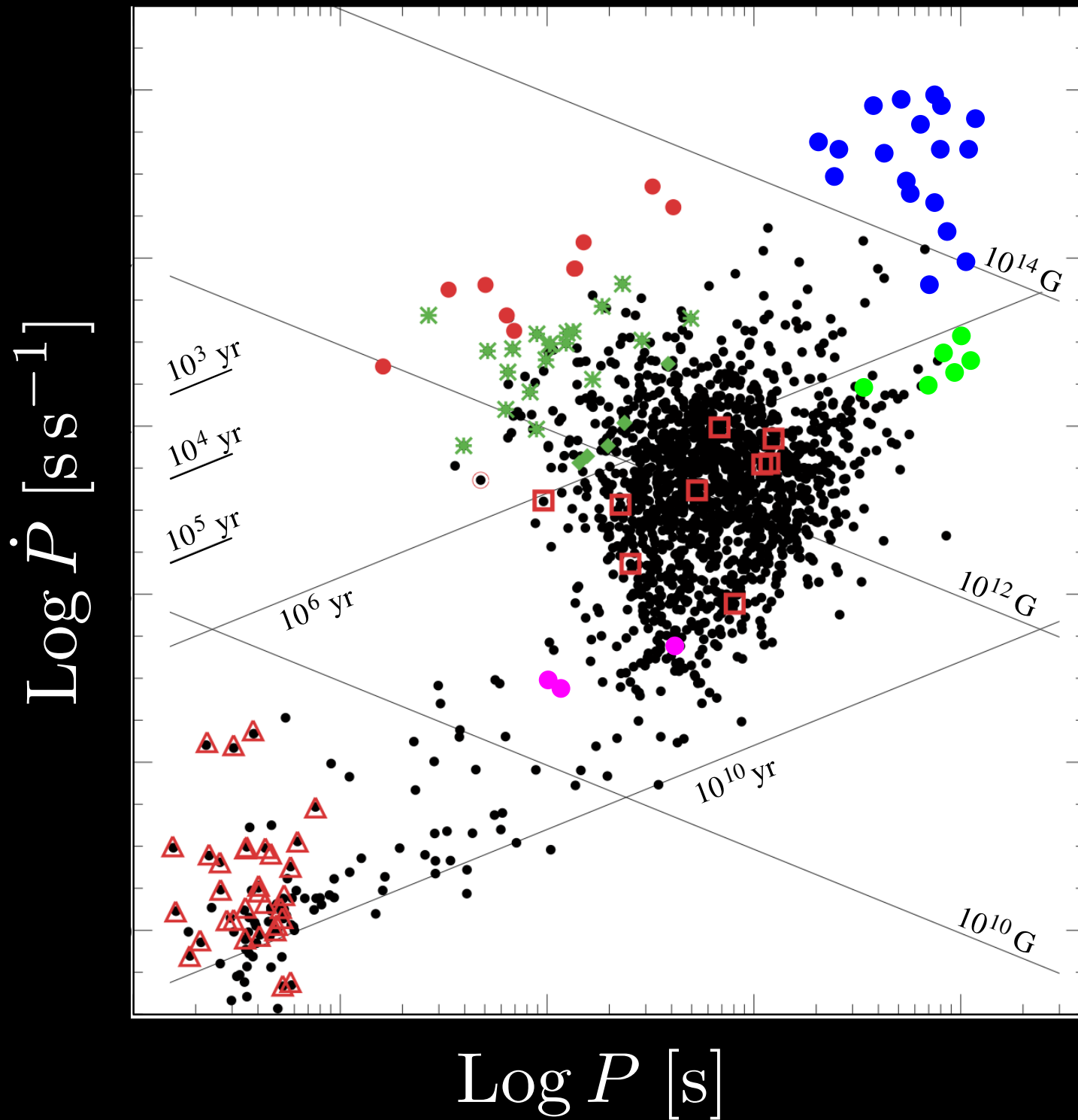
Campo magnético superficial:

$$B_p \simeq \sqrt{\frac{c^3 |\dot{\Omega}|}{\Omega^3 I R^6}}$$

$$\simeq 3.2 \times 10^{19} (P \dot{P})^{1/2} \text{ G} \simeq 1.5 \times 10^{12} \frac{P}{0.01 \text{ s}} \left(\frac{1000 \text{ yr}}{\tau_c} \right)^{1/2} \text{ G}$$

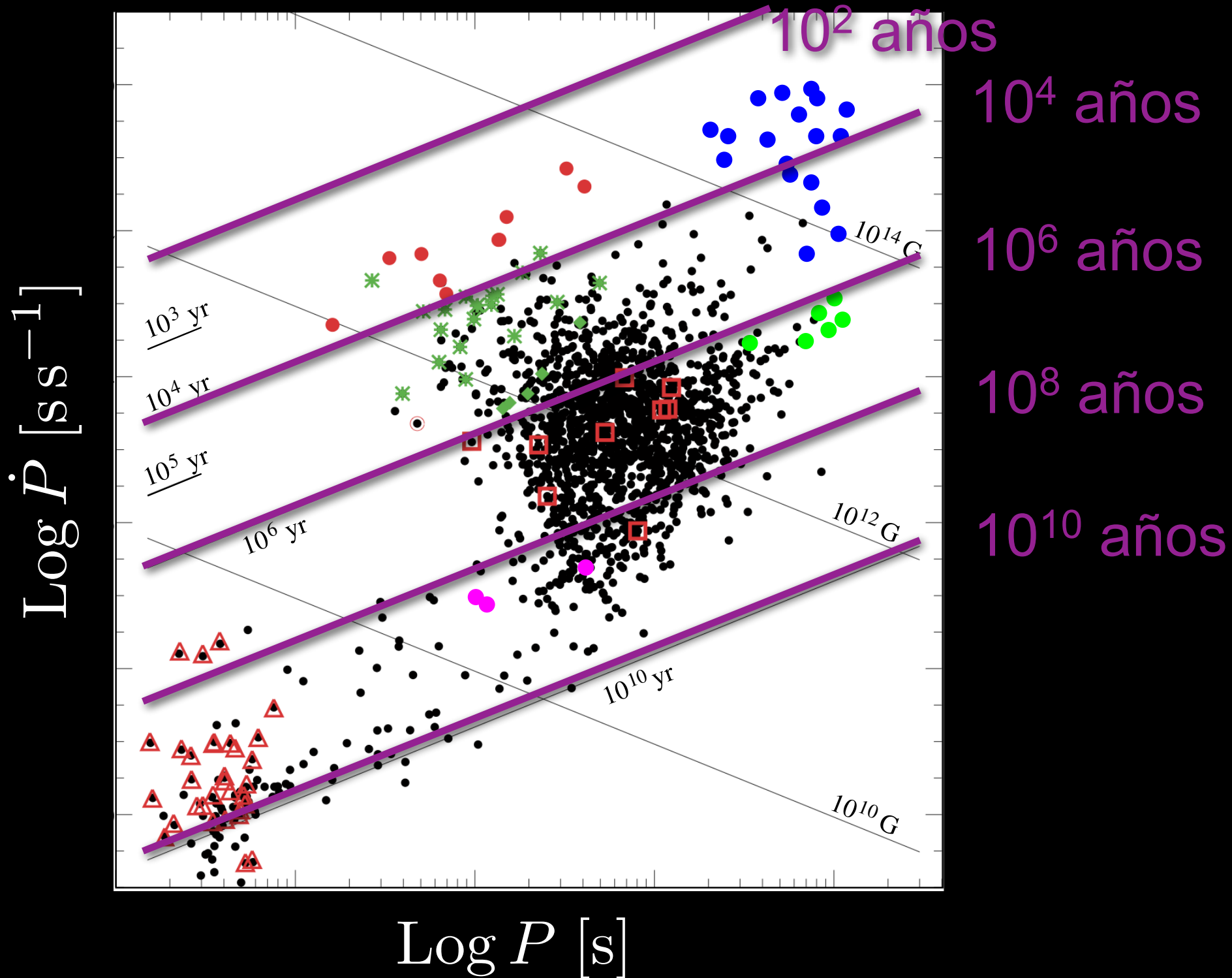
El diagrama P- \dot{P}

- Crab like PSRs
- Vela like PSRs
- ◆ Medium age PSRs
- Old PSRs
- △ Millisecond PSRs
- Magnetars
- Isolated Neutron Stars
- Central Compact Objects (CCOs)



El diagrama P-Ḑ

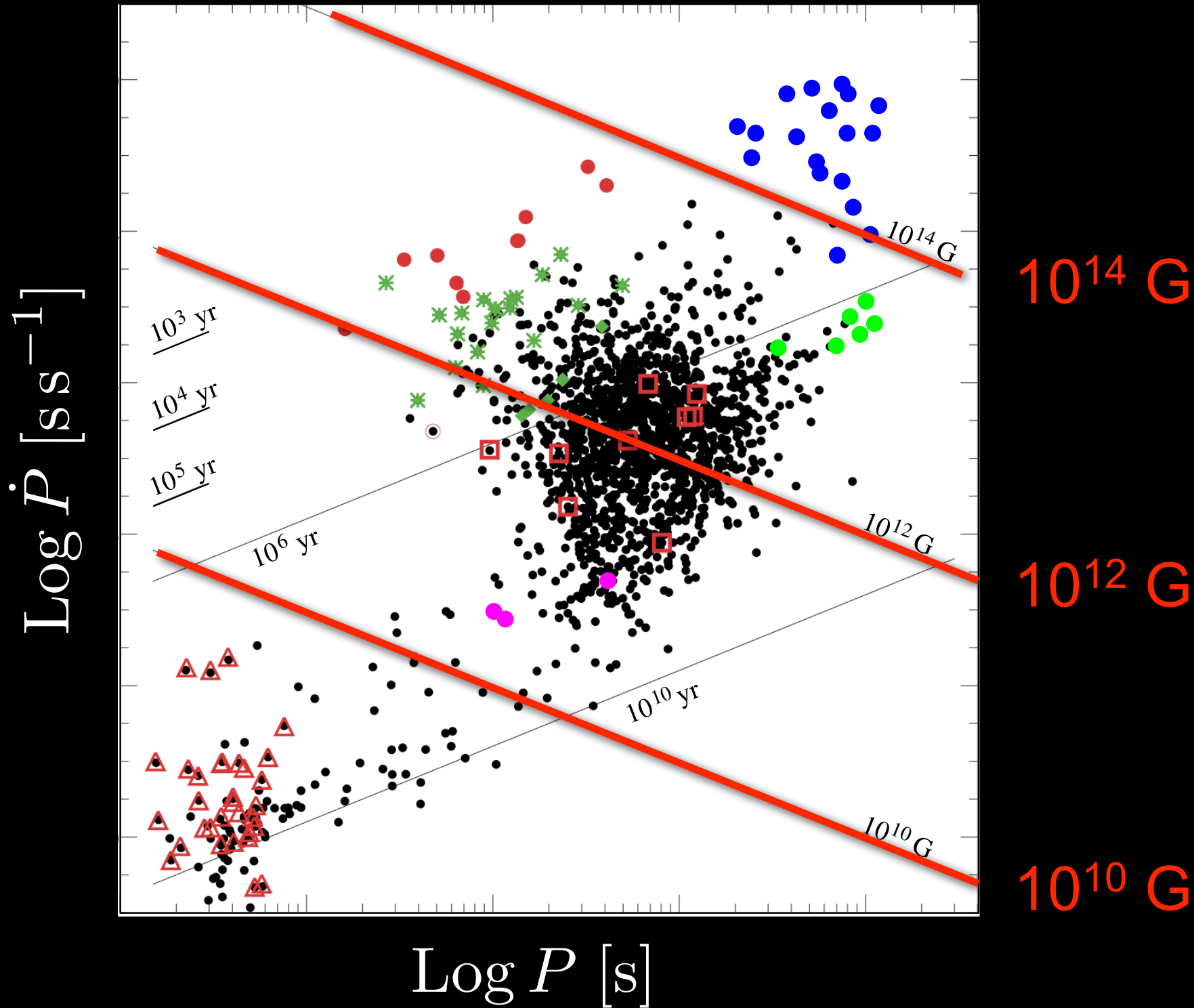
- Crab like PSRs
- ✱ Vela like PSRs
- ◆ Medium age PSRs
- Old PSRs
- △ Millisecond PSRs
- Magnetars
- Isolated Neutron Stars
- Central Compact Objects (CCOs)



Líneas de edad dinámica τ_c constante

El diagrama P- \dot{P}

- Crab like PSRs
- Vela like PSRs
- ◆ Medium age PSRs
- Old PSRs
- △ Millisecond PSRs
- Magnetars
- Isolated Neutron Stars
- Central Compact Objects (CCOs)



Líneas de campo magnético B constante

Chandra: rayos X

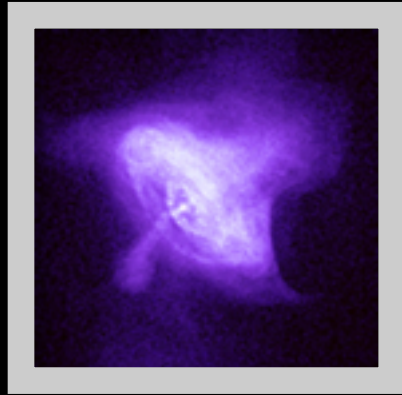
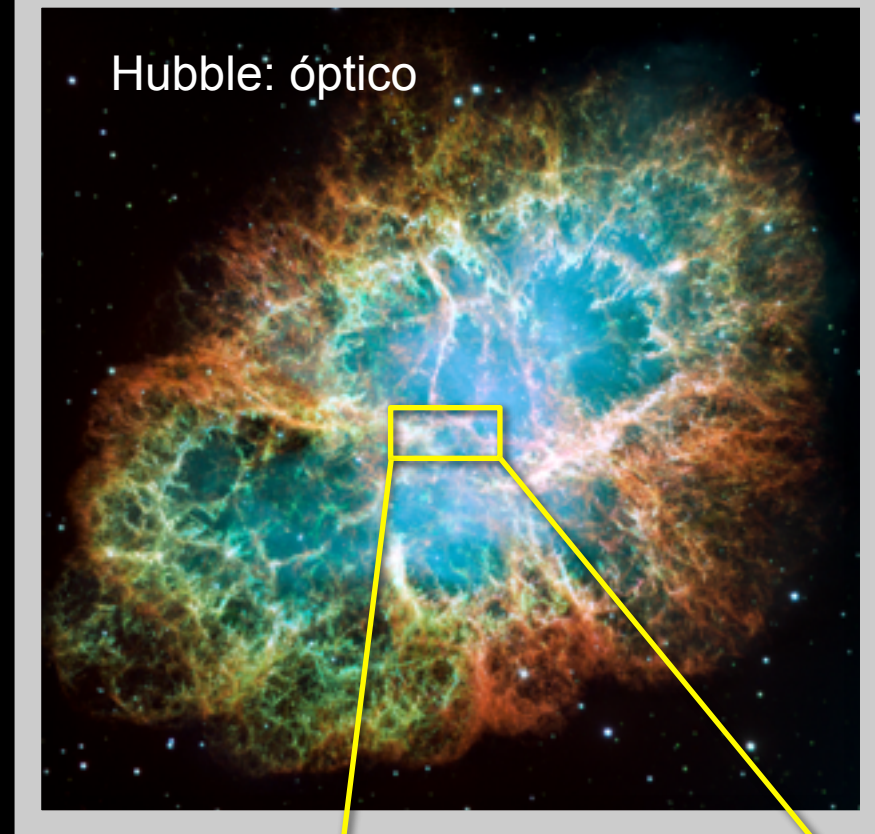


Imagen compuesta:
óptico + rayos X



Hubble: óptico



El Pulsar del Cangrejo

Chandra: rayos X

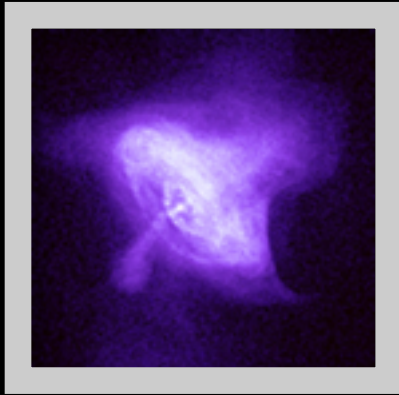
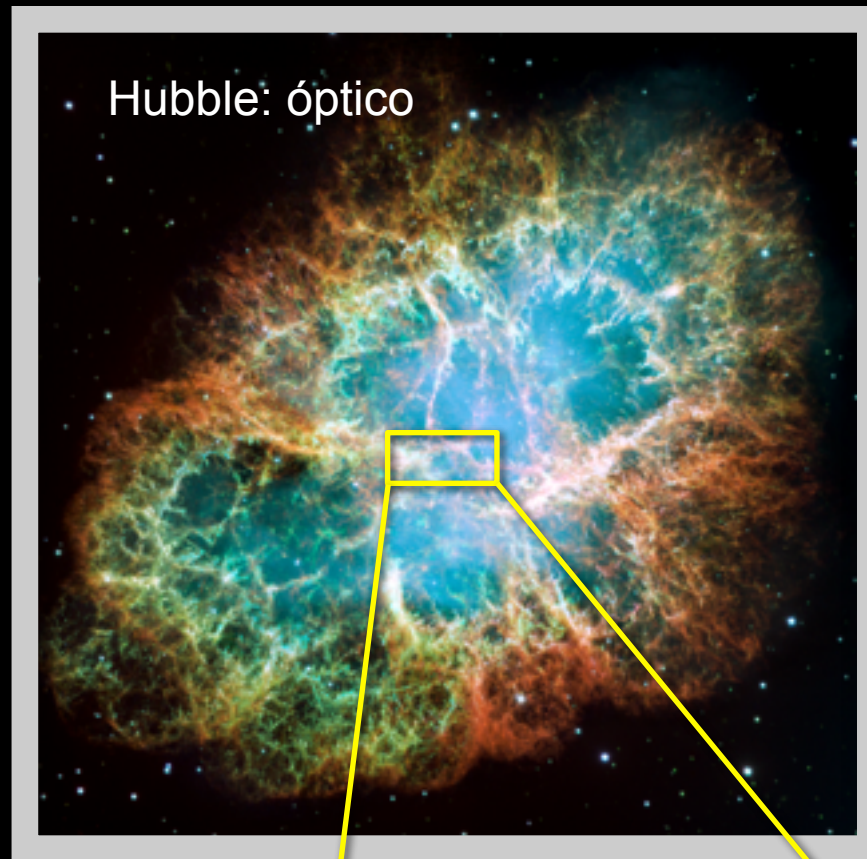


Imagen compuesta:
óptico + rayos X



Hubble: óptico



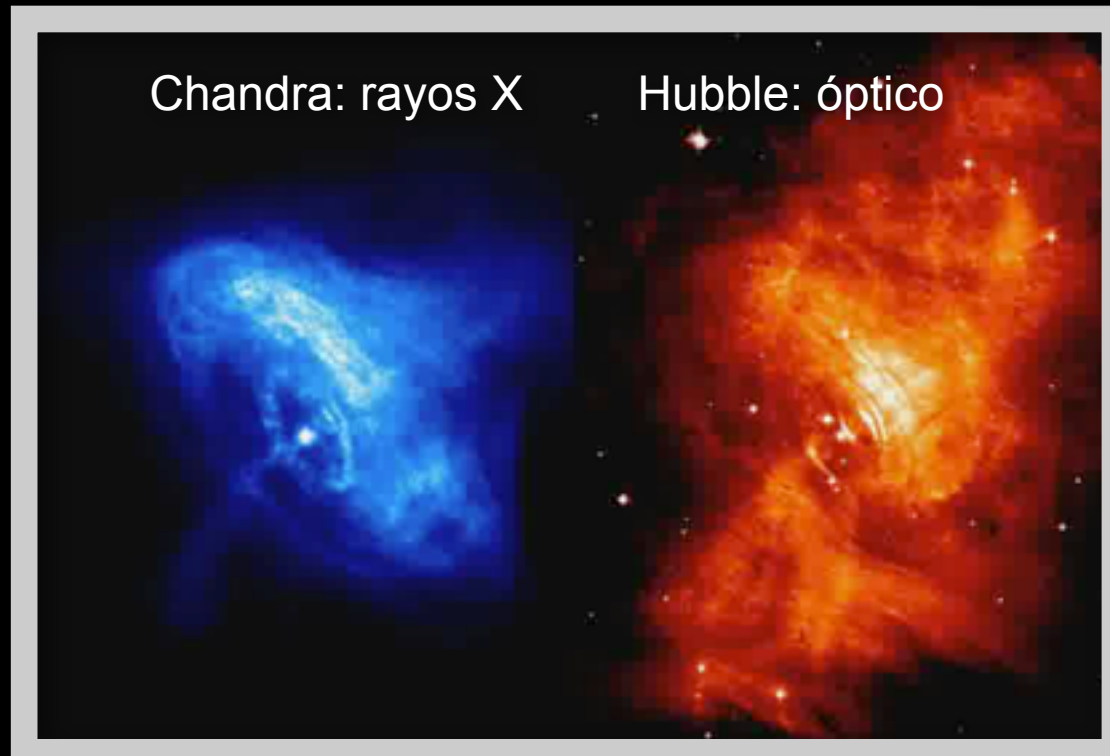
El Pulsar del Cangrejo y su maquinaria en acción



Animación "artística"

Chandra: rayos X

Hubble: óptico



La animación usa observaciones realizadas en unos 7 meses

Chandra: rayos X

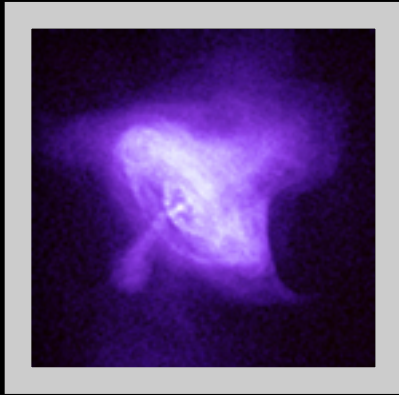
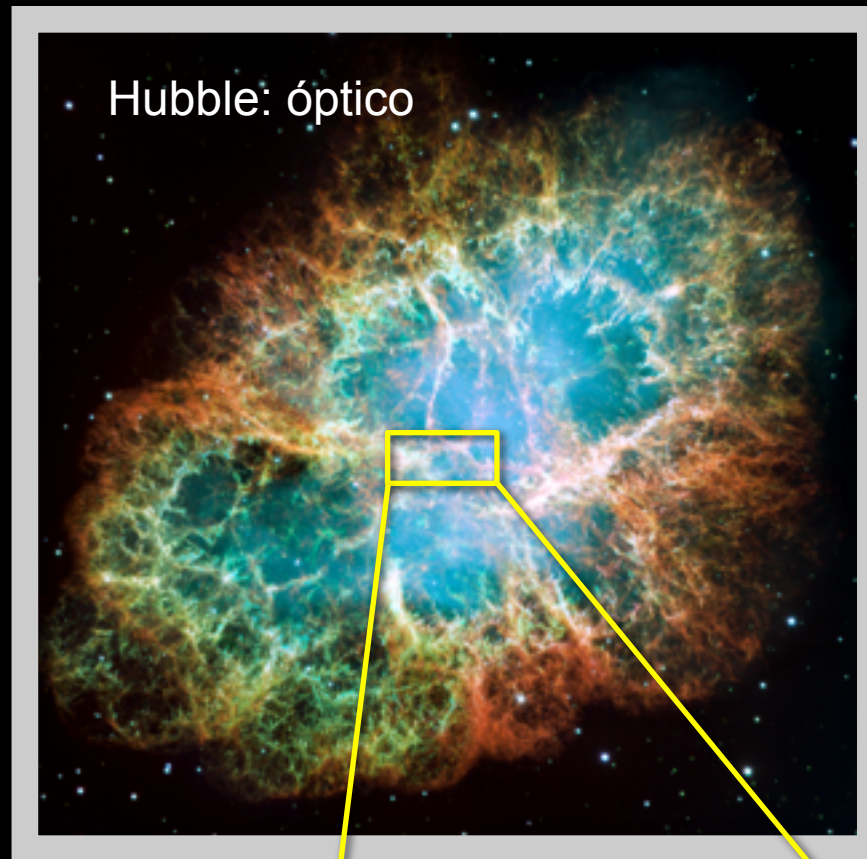


Imagen compuesta:
óptico + rayos X



Hubble: óptico



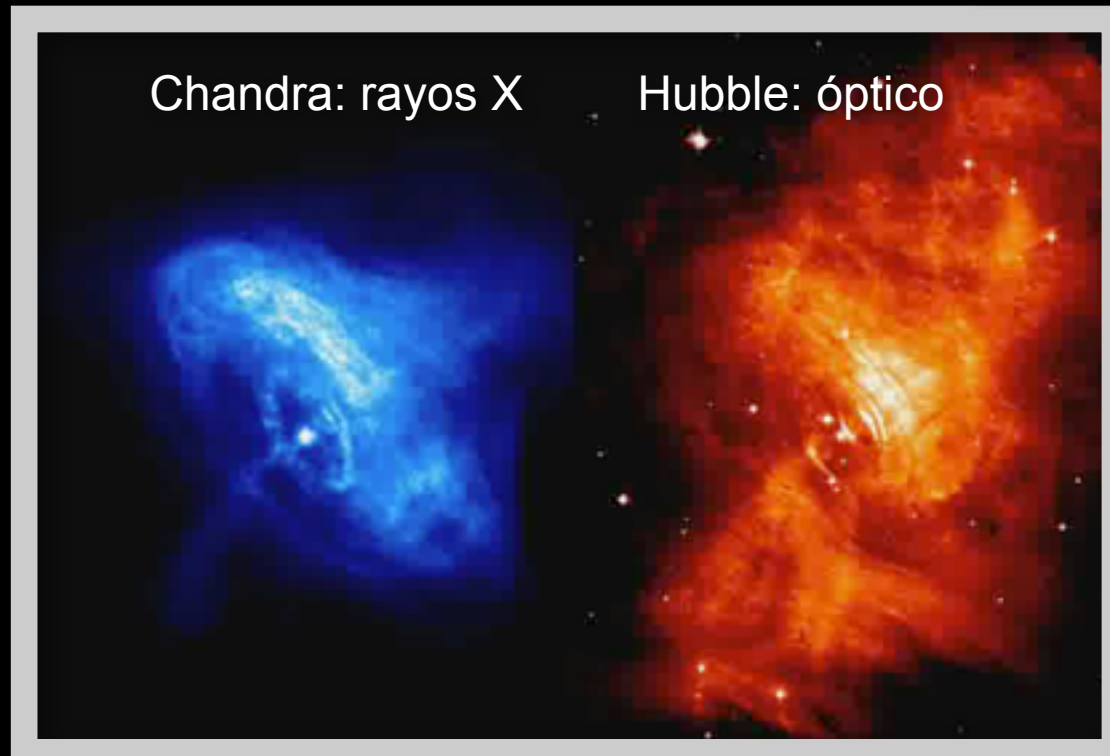
El Pulsar del Cangrejo y su maquinaria en acción



Animación "artística"

Chandra: rayos X

Hubble: óptico



La animación usa observaciones realizadas en unos 7 meses



Instituto de astronomía

Unam

Supernovas

Betelgeuse

una estrella masiva a punto de explotar

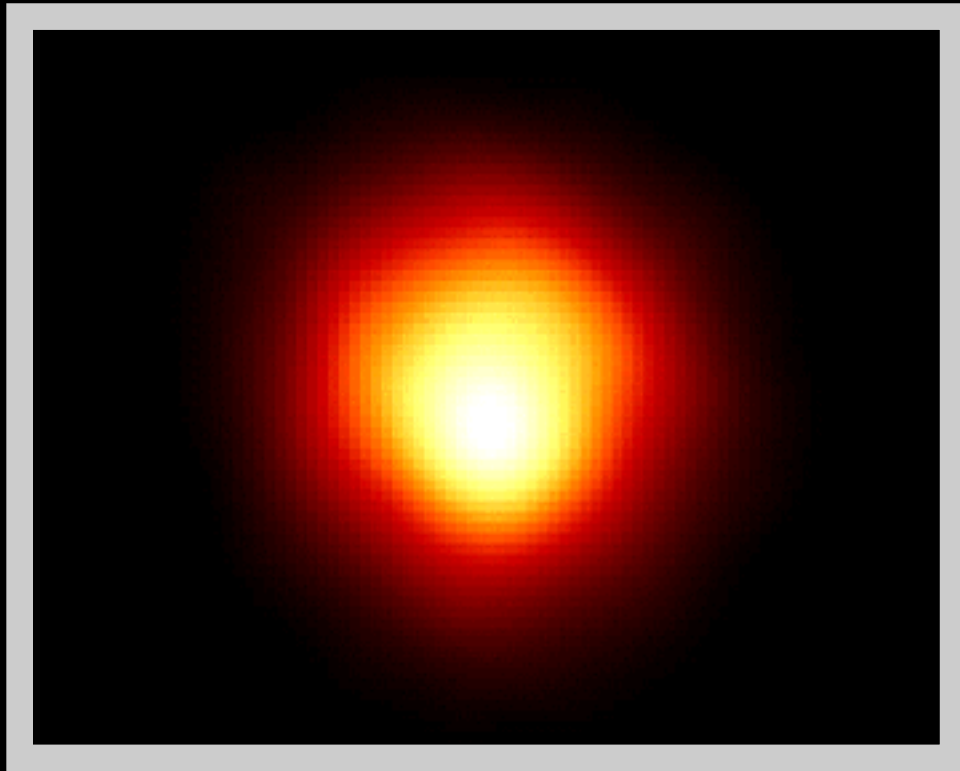
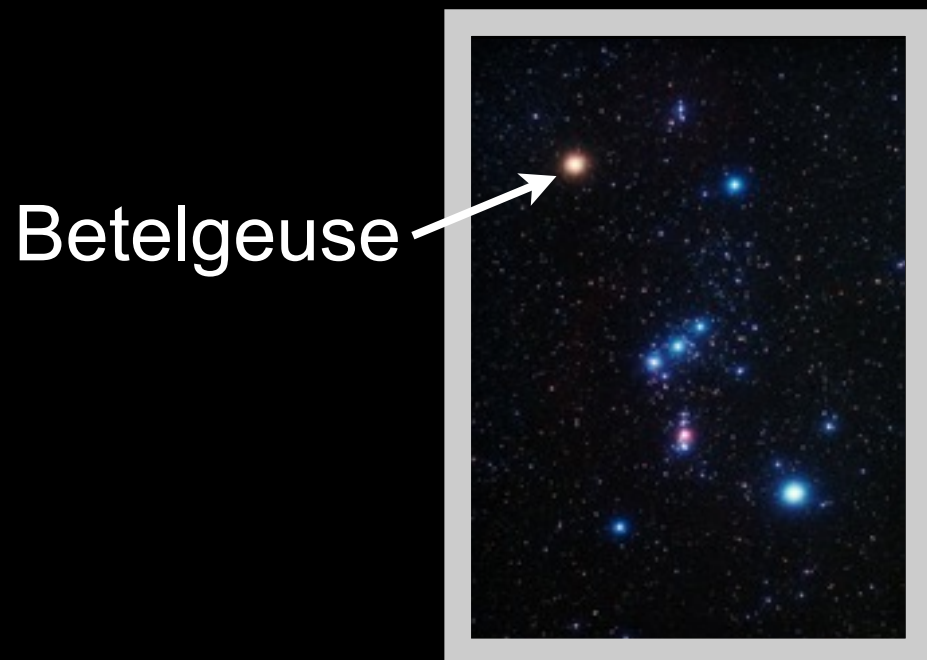
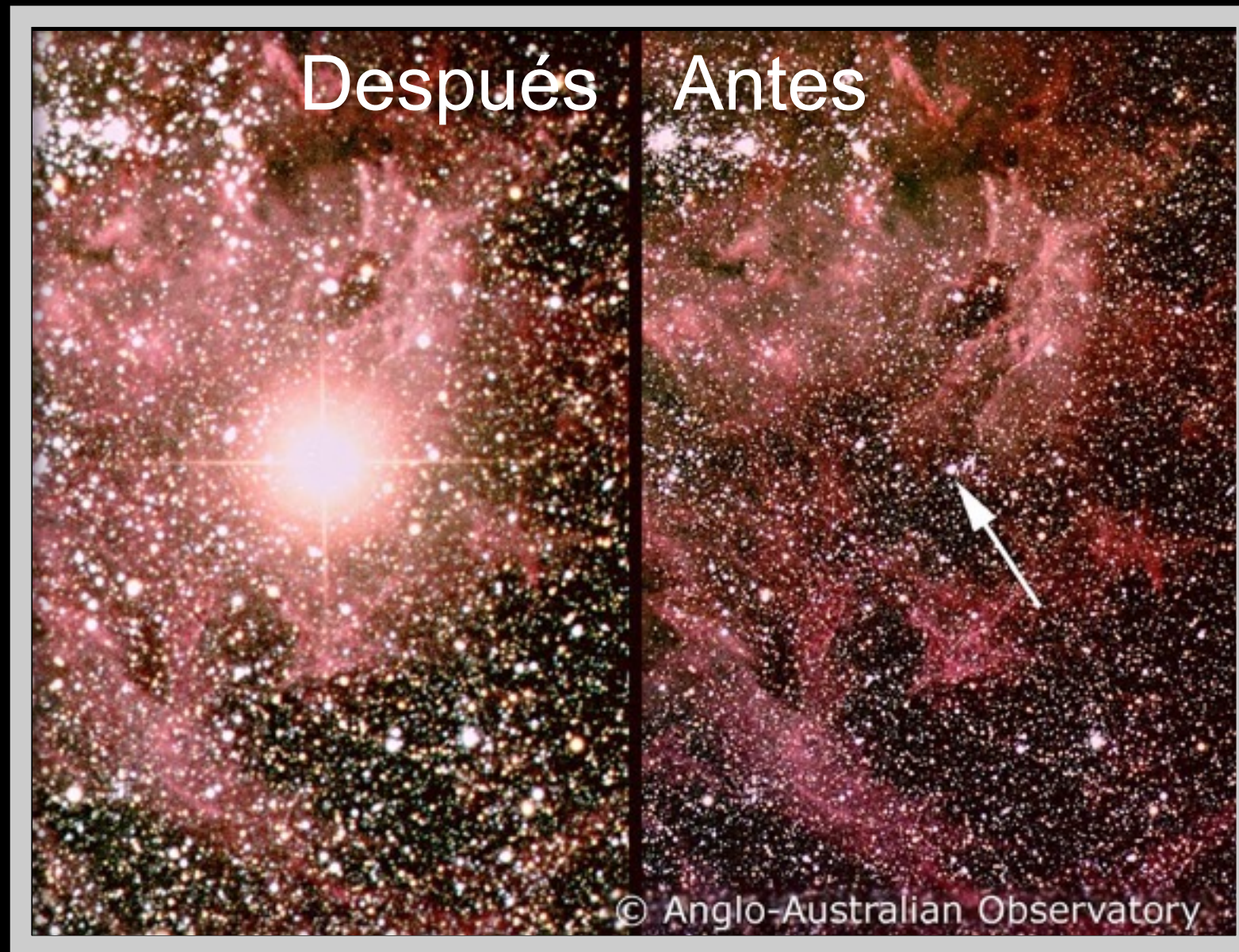


Imagen del Telescopio Espacial (HST)



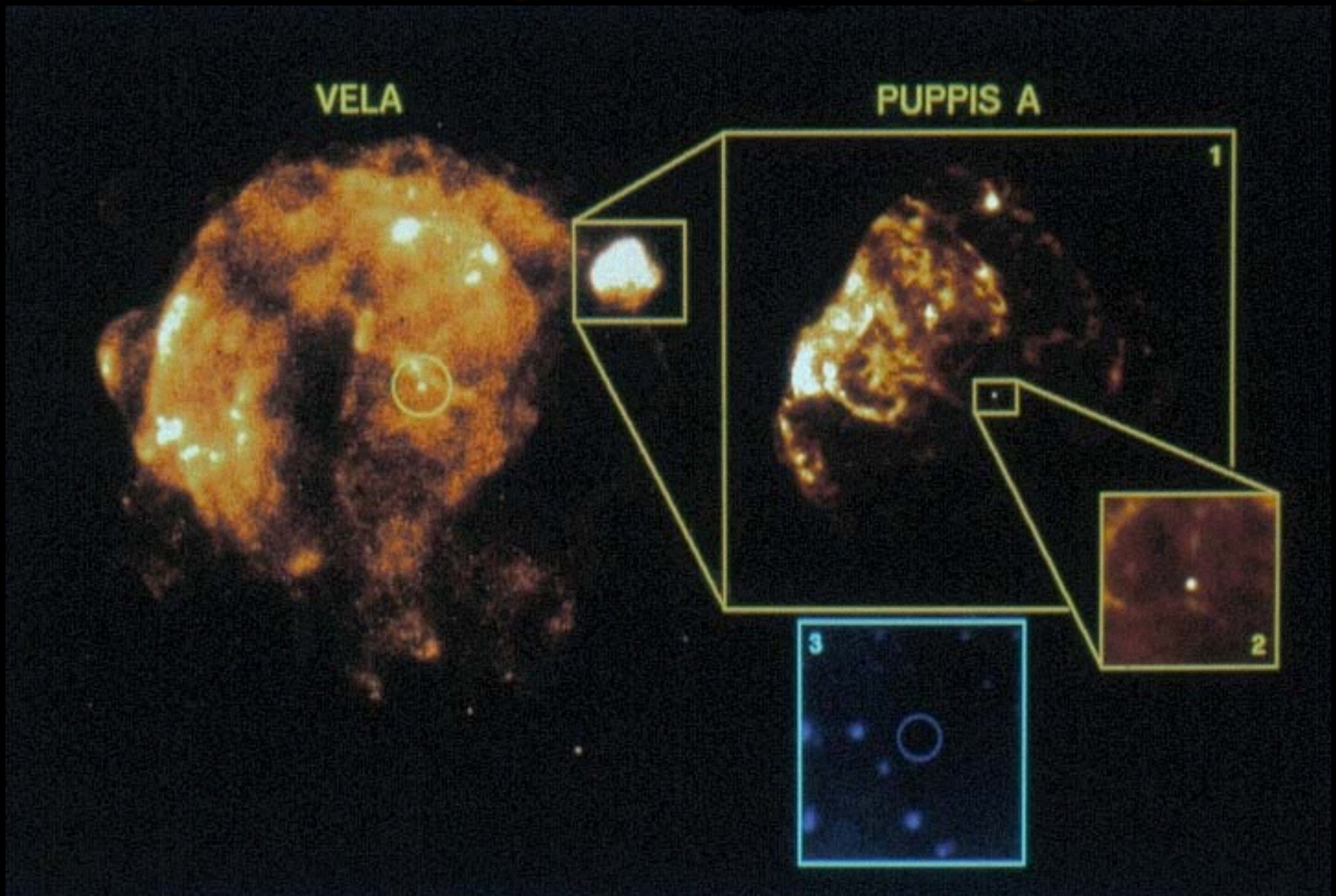
La Supernova SN 1987A



Descubierta el 23 de febrero de 1987 por
Ian Shelton (Observatorio Las Campanas, Chile)

Una supernova emite mas luz (durante
unos días) que toda un galaxia.

Remanentes de Supernovas ``Vela'' y ``Puppis A''

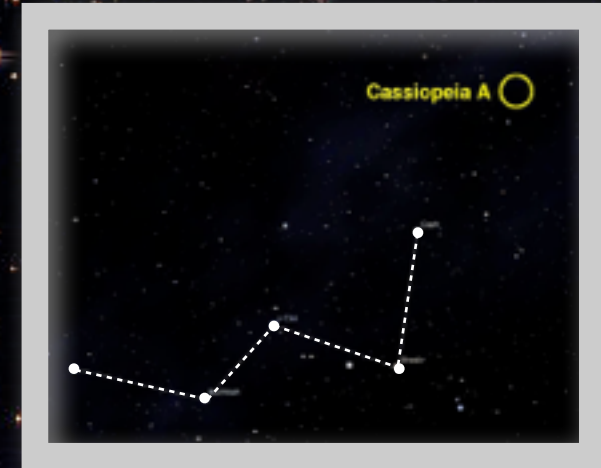


Imágenes de satélite de rayos X Rosat

Remanente de Supernova “Cassiopeia A” Optico (Hubble Space Telescope)



Remanente de Supernova “Cassiopeia A” Optico (Hubble Space Telescope)

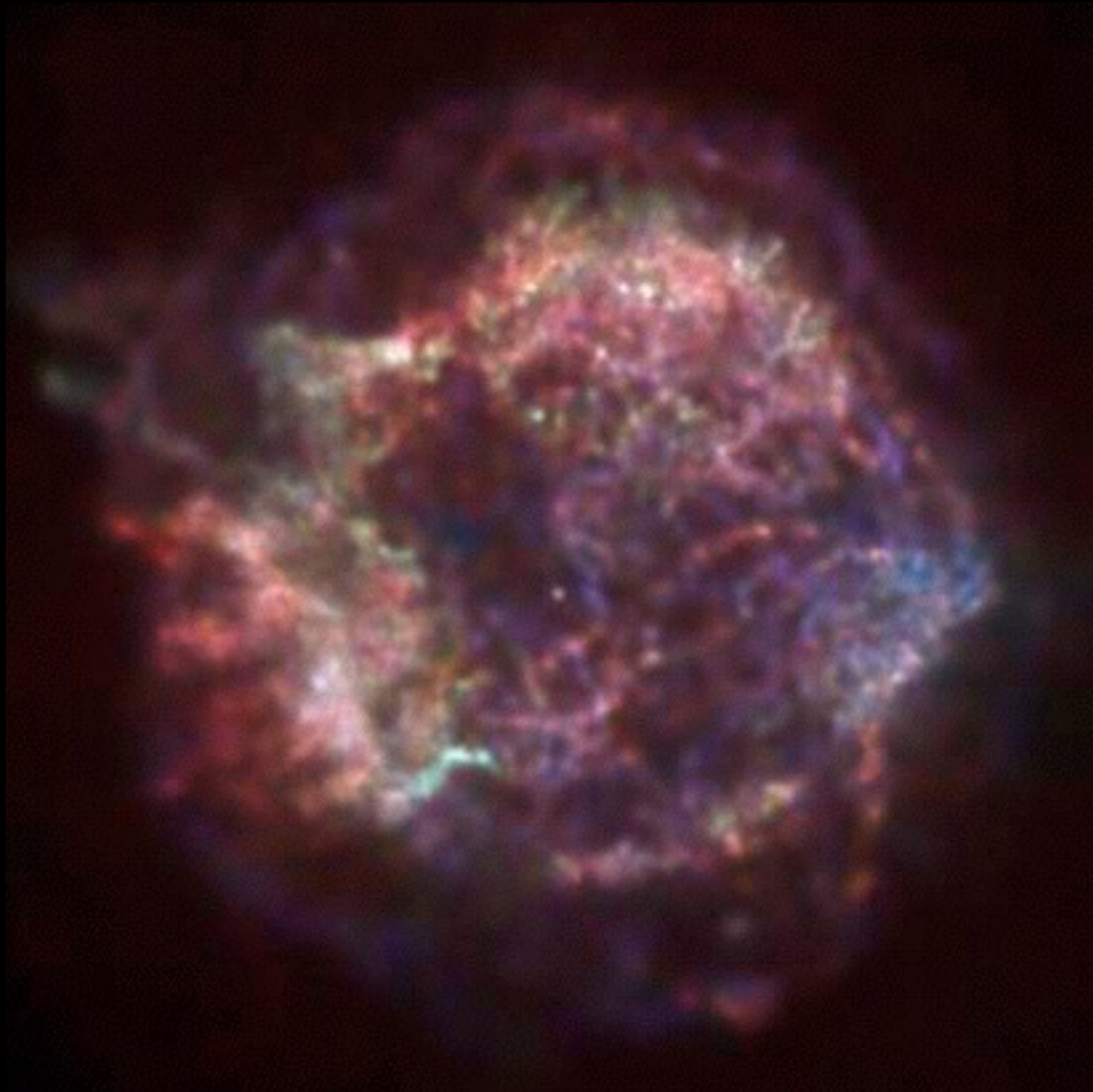


Remanente de Supernova “Cassiopeia A” Optico (Hubble Space Telescope)

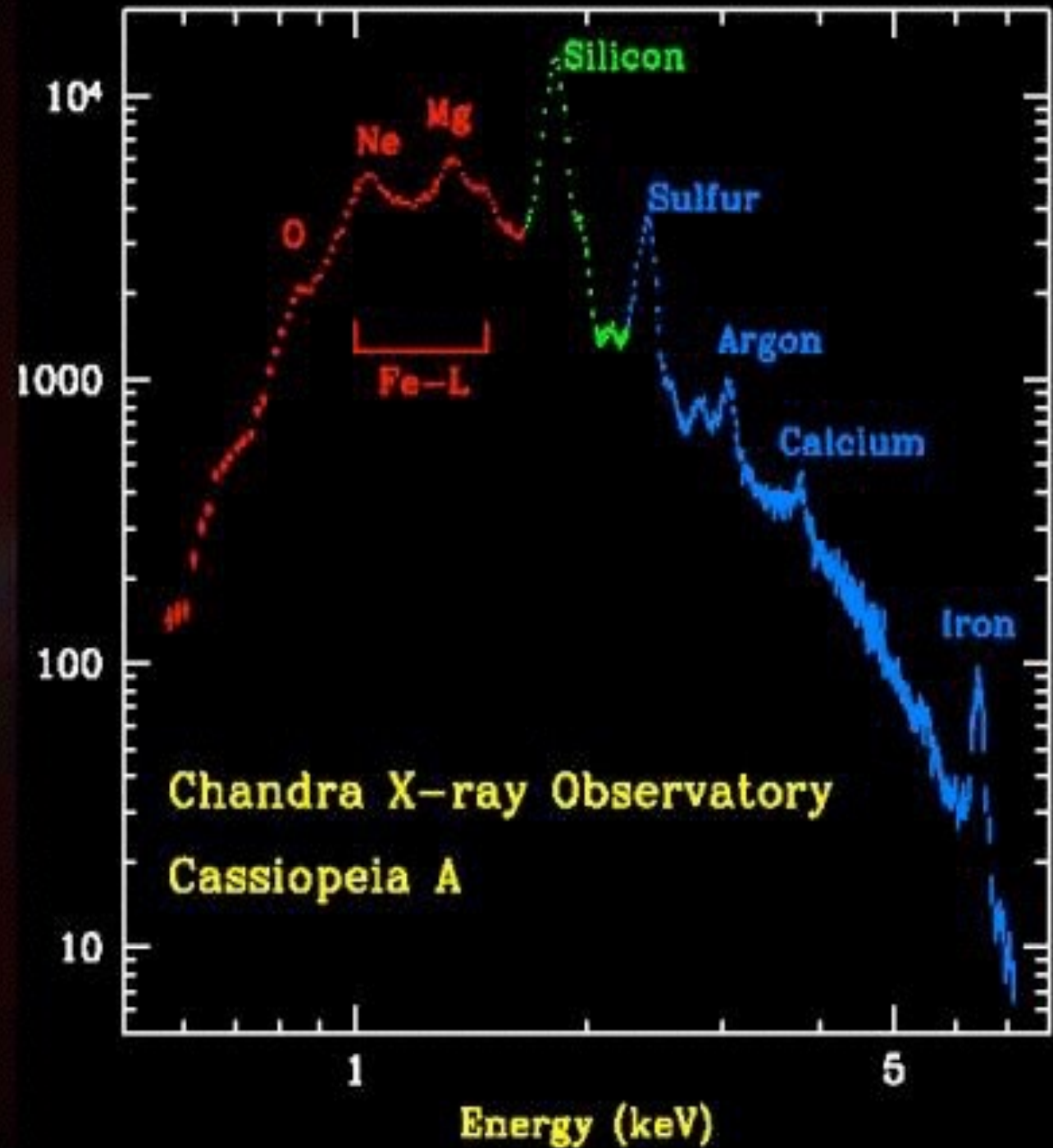


- Remanente mas joven conocido: expansión da ~300 años
- Supernova probablemente observada por J. Flamsteed en 1680
- Proviene de la explosión de una estrella de unas $20-25 M_{\odot}$

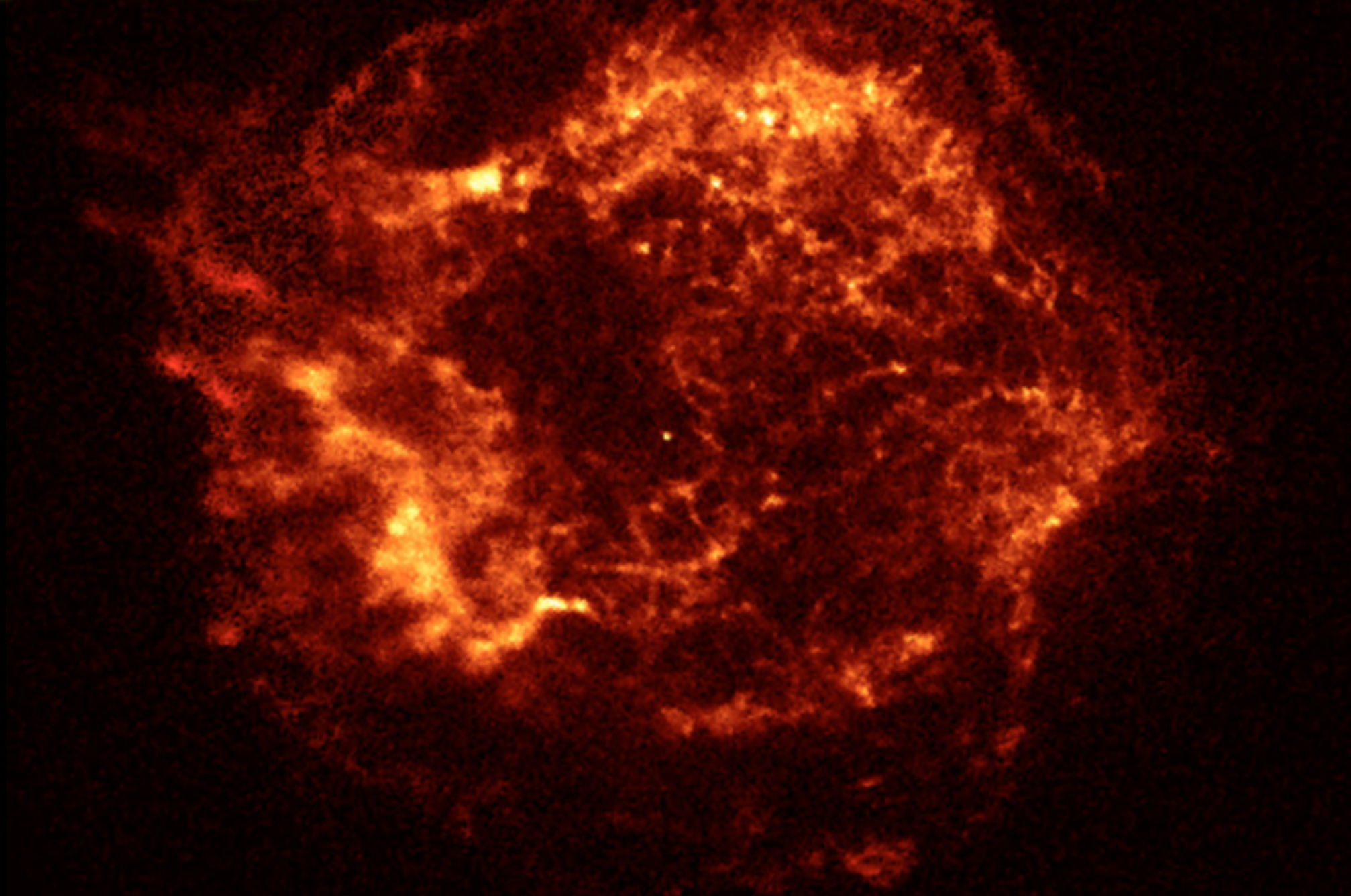
Cassiopeia A: primera luz de Chandra



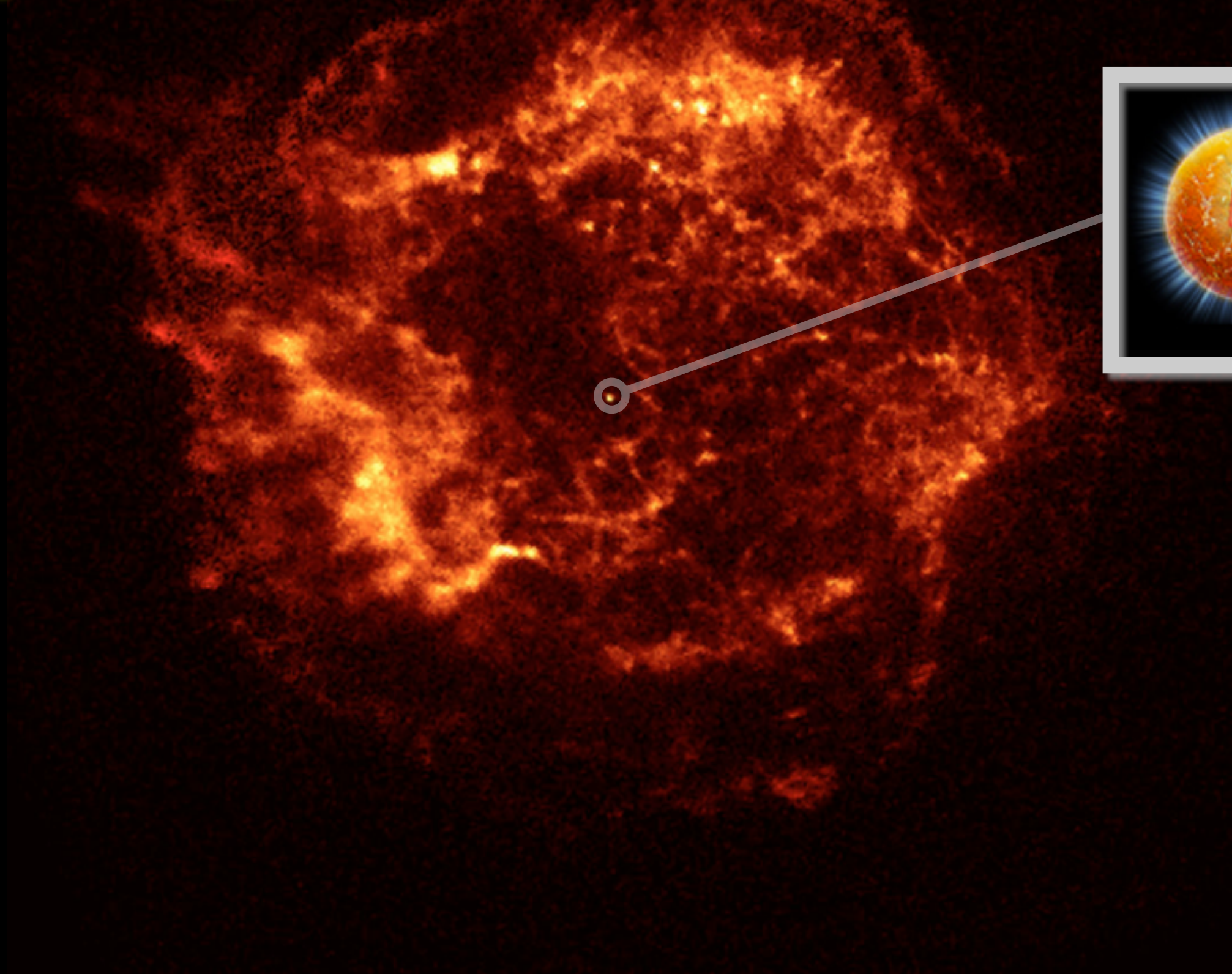
Hughes, Rakowski, Burrows, & Slane ('99)



Remanente de Supernova “Cassiopeia A” Rayos X (“Primera luz” de Chandra, 1999)



Remanente de Supernova “Cassiopeia A” Rayos X (“Primera luz” de Chandra, 1999)



Remanente de Supernova “Cassiopeia A” Rayos X (“Primera luz” de Chandra, 1999)



- Estrella de neutrones mas joven conocida.
- 12 años de observaciones por Chandra: T_e bajó un 5% !
- Enfriamiento rápido debido a emisión de neutrinos por la transición de fase de sus neutrones al estado superfluido.
- Superfluido mas denso conocido (10^{15} g cm⁻³) a la fecha y temperatura crítica mas alta: $T_c \sim 500,000,000$ K

Campos Magnéticos

Campos Magnéticos: tabla comparativa

Campo magnético terrestre	0.6 Gauss
Iman de refrigerador	100 G
Electro-iman de IRMN Manchas solares	10,000 G = 10^4 G
Campo persistente mas fuerte producido por electro-iman	5×10^5 G
Campo mas fuerte producido en laboratorio	$10^6 - 10^7$ G
Enanas blancas ultra-magnetizadas	10^9 G
Campo magnético en pulsares muy viejos	$10^8 - 10^9$ G
Campo magnético de un pulsar típico	10^{12} G
Campo magnetico de un magnetar	10^{15} G
Máximo campo magnético teóricamente posible (efectos cuánticos)	10^{24} G

Campos Magnéticos: tabla comparativa

Campo magnético terrestre

0.6 Gauss

Iman de refrigerador

100 G

Electro-iman de IRMN | Manco

10,000 G = 10^4 G

Campo persistente mas fuerte

5×10^5 G

Campo mas fuerte producido e

$10^6 - 10^7$ G

Enanas blancas ultra-magnetiz

10^9 G

Campo magnético en pulsares muy viejos

$10^8 - 10^9$ G

Campo magnético de un pulsar típico

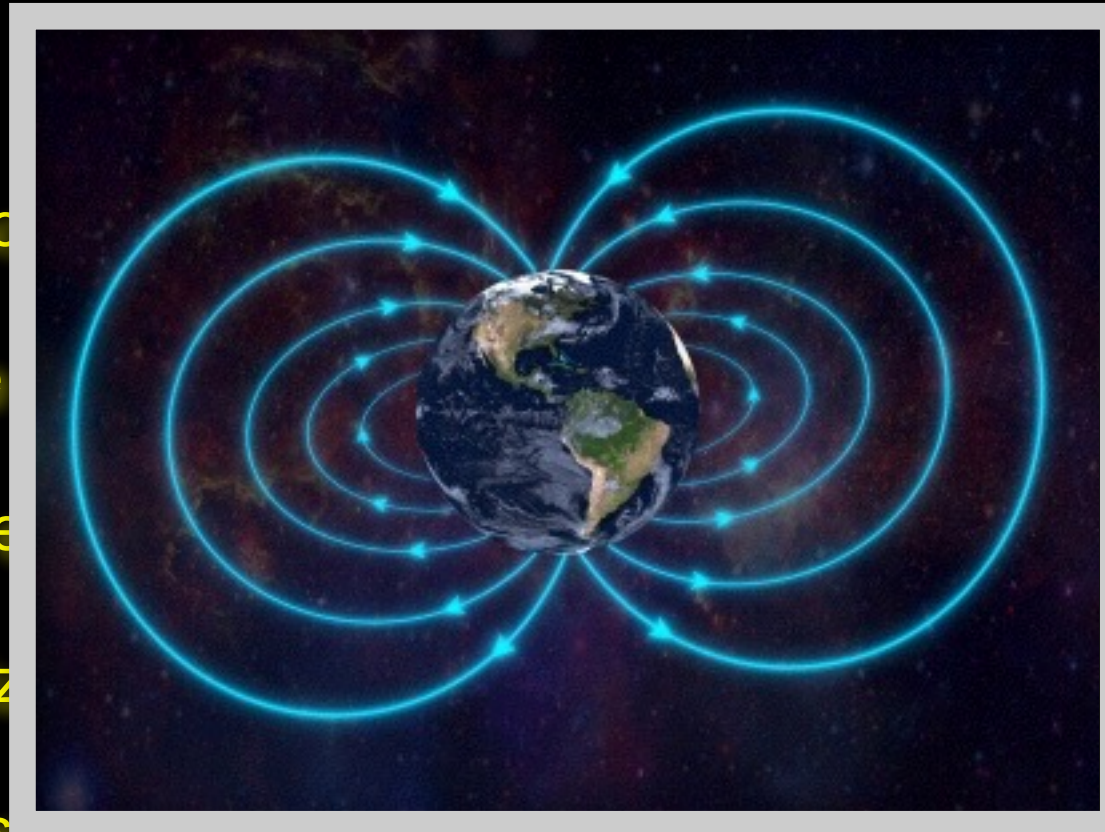
10^{12} G

Campo magnetico de un magnetar

10^{15} G

Máximo campo magnético teóricamente posible (efectos cuánticos)

10^{24} G



Campos Magnéticos: tabla comparativa

Campo magnético terrestre

0.6 Gauss

Iman de refrigerador

100 G

Electro-iman de IRMN | Mancha

10,000 G = 10^4 G

Campo persistente mas fuerte pro

5×10^5 G

Campo mas fuerte producido en la

$10^6 - 10^7$ G

Enanas blancas ultra-magnetizadas

10^9 G

Campo magnético en pulsares muy viejos

$10^8 - 10^9$ G

Campo magnético de un pulsar típico

10^{12} G

Campo magnetico de un magnetar

10^{15} G

Máximo campo magnético teóricamente posible (efectos cuánticos)

10^{24} G



Campos Magnéticos: tabla comparativa

Campo magnético terrestre

0.6 Gauss

Iman de refrigerador

100 G

Electro-iman de IRMN | Manchas solares

10,000 G = 10^4 G

Campo persistente

5×10^5 G

Campo mas fuerte

$10^6 - 10^7$ G

Enanas blancas

10^9 G

Campo magnético

$10^8 - 10^9$ G

Campo magnético

10^{12} G

Campo magnetico de un magnetar

10^{15} G

Máximo campo magnético teóricamente posible (efectos cuánticos)

10^{24} G



Campos Magnéticos: tabla comparativa

Campo magnético terrestre	0.6 Gauss
Iman de refrigerador	100 G
Electro-iman de IRMN Manchas solares	10,000 G = 10^4 G
Campo persistente mas fuerte producido por electro-iman	5×10^5 G

Campo mas fuerte producido
 Enanas blancas ultra-magn
 Campo magnético en pulsar
 Campo magnético de un pu
 Campo magnetico de un ma
 Máximo campo magnético t

MAGNET LAB

NATIONAL HIGH MAGNETIC FIELD LABORATORY
 FLORIDA STATE UNIVERSITY - LOS ALAMOS NATIONAL LABORATORY - UNIVERSITY OF FLORIDA





GUINNESS WORLD RECORDS
 CERTIFICATE

The most powerful artificial magnetic field has a strength of 45T. It was first generated in June 2000 by the NHMFL Hybrid Magnet at the National High Magnetic Field Laboratory, Tallahassee, Florida, USA.

Vital Statistics

Strength	45 tesla
Type	Hybrid
Bore size	32 mm (~1.25 inches)
Online since	December 1999
Cost	\$14.4 million
Weight	31,752 kg (35 tons)
Height	6.7 meters (22 feet)
Operating temperature	-271 °C (-456 °F)
Water used per minute	15,142 liters (4,000 gallons)
Power required	33 MW

Photo Credit: Larry Gordon

Campos Magnéticos: tabla comparativa

Campo magnético terrestre	0.6 Gauss
Iman de refrigerador	100 G
Electro-iman de IRMN Manchas solares	10,000 G = 10^4 G
Campo persistente mas fuerte producido por electro-iman	5×10^5 G
Campo mas fuerte producido en laboratorio	$10^6 - 10^7$ G

Enanas blancas ultra-magnetizadas

Campo magnético en pulsares muy vie

Campo magnético de un pulsar típico

Campo magnetico de un magnetar

Máximo campo magnético teoricamen

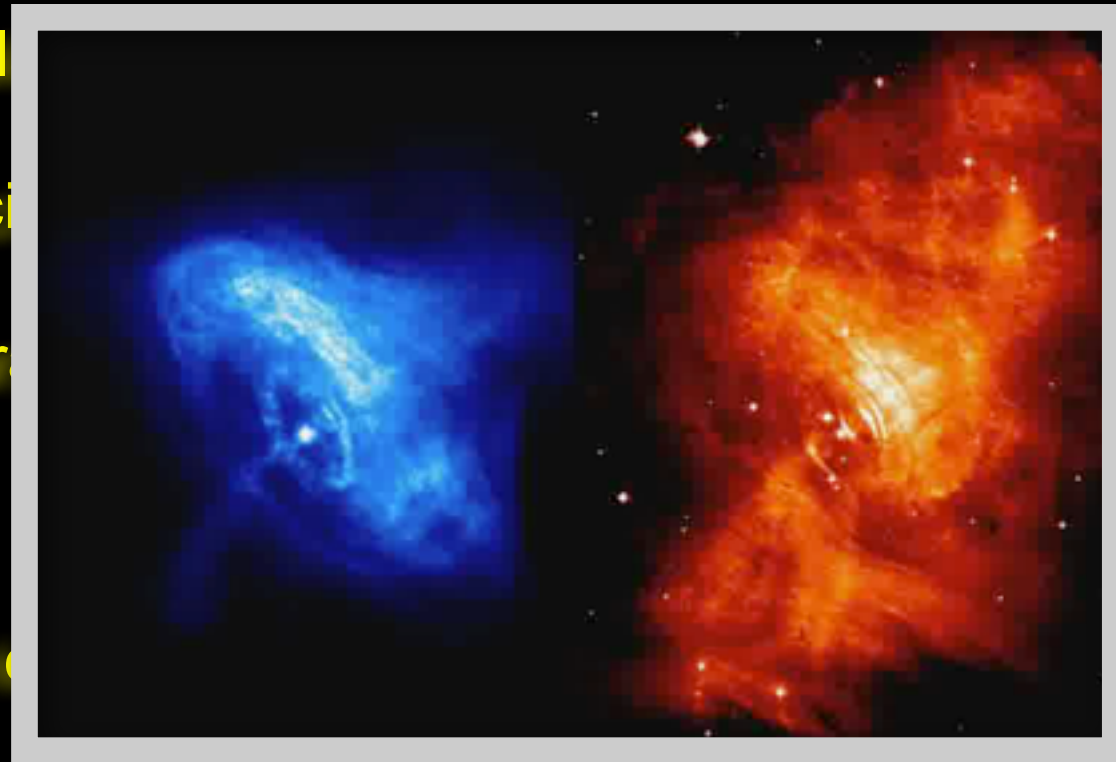


Campos Magnéticos: tabla comparativa

Campo magnético terrestre	0.6 Gauss
Iman de refrigerador	100 G
Electro-iman de IRMN Manchas solares	10,000 G = 10^4 G
Campo persistente mas fuerte producido por electro-iman	5×10^5 G
Campo mas fuerte producido en laboratorio	$10^6 - 10^7$ G
Enanas blancas ultra-magnetizadas	10^9 G
Campo magnético en pulsares muy viejos	$10^8 - 10^9$ G
Campo magnético de un pulsar típico	10^{12} G
Campo magnetico de un magnetar	10^{15} G
Máximo campo magnético teóricamente posible (efectos cuánticos)	10^{24} G

Campos Magnéticos: tabla comparativa

Campo magnético terrestre	0.6 Gauss
Iman de refrigerador	100 G
Electro-iman de IRMN Manchas solares	$10^4 \text{ G} = 10^4 \text{ G}$
Campo persistente mas fuerte producido	$5 \times 10^5 \text{ G}$
Campo mas fuerte producido en laboratorio	$10^6 - 10^7 \text{ G}$
Enanas blancas ultra-magnetizadas	10^9 G
Campo magnético en pulsares muy viejos	$10^8 - 10^9 \text{ G}$
Campo magnético de un pulsar típico	10^{12} G
Campo magnetico de un magnetar	10^{15} G
Máximo campo magnético teóricamente posible (efectos cuánticos)	10^{24} G



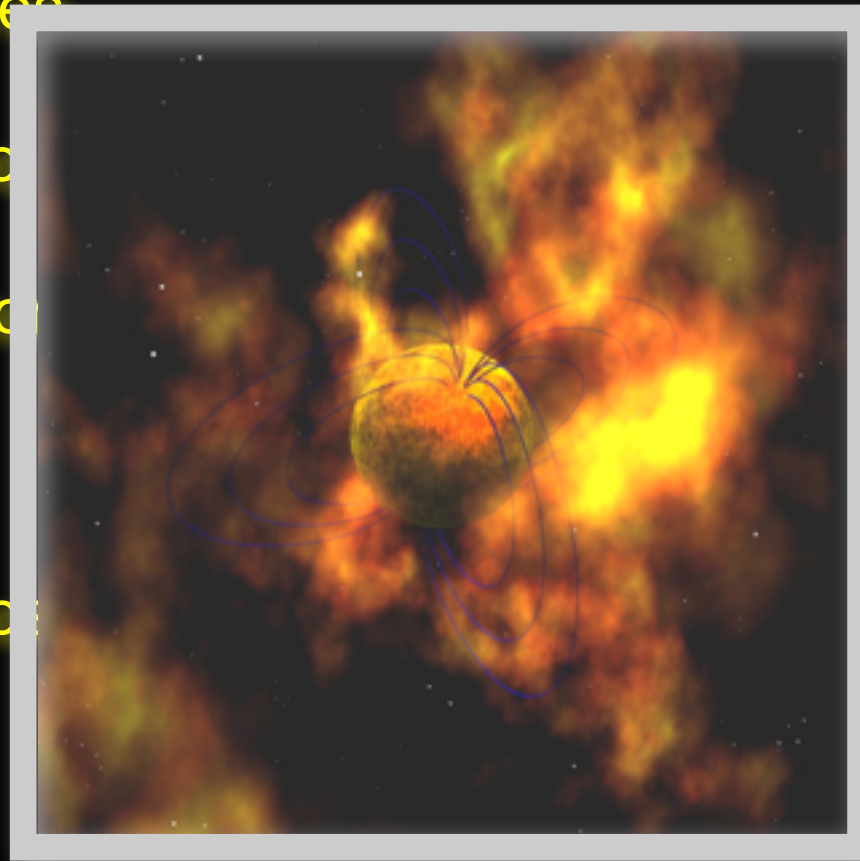
Campos Magnéticos: tabla comparativa

Campo magnético terrestre	0.6 Gauss
Iman de refrigerador	100 G
Electro-iman de IRMN Manchas solares	$10^4 \text{ G} = 10^4 \text{ G}$
Campo persistente mas fuerte producido	$5 \times 10^5 \text{ G}$
Campo mas fuerte producido en laboratorio	$10^6 - 10^7 \text{ G}$
Enanas blancas ultra-magnetizadas	10^9 G
Campo magnético en pulsares muy viejos	$10^8 - 10^9 \text{ G}$
Campo magnético de un pulsar típico	10^{12} G
Campo magnetico de un magnetar	10^{15} G
Máximo campo magnético teóricamente posible (efectos cuánticos)	10^{24} G



Campos Magnéticos: tabla comparativa

Campo magnético terrestre	0.6 Gauss
Iman de refrigerador	100 G
Electro-iman de IRMN Manchas solares	10,000 G = 10^4 G
Campo persistente mas fuerte producido	5×10^5 G
Campo mas fuerte producido en laboratorio	$10^6 - 10^7$ G
Enanas blancas ultra-magnetizadas	10^9 G
Campo magnético en pulsares muy viejos	$10^8 - 10^9$ G
Campo magnético de un pulsar típico	10^{12} G
Campo magnetico de un magnetar	10^{15} G
Máximo campo magnético teóricamente posible (efectos cuánticos)	10^{24} G

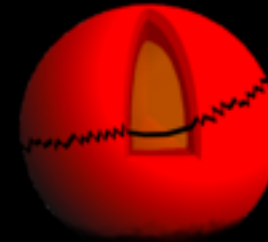


Magnetares: destellos de rayos γ

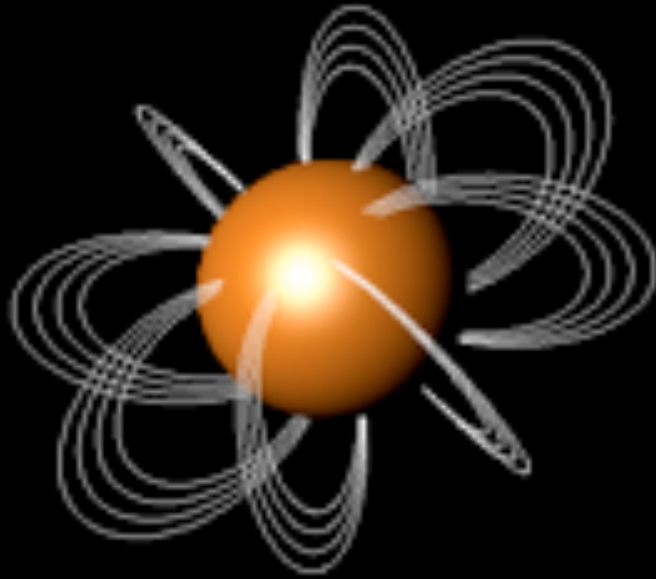
Tensión magnética
interna



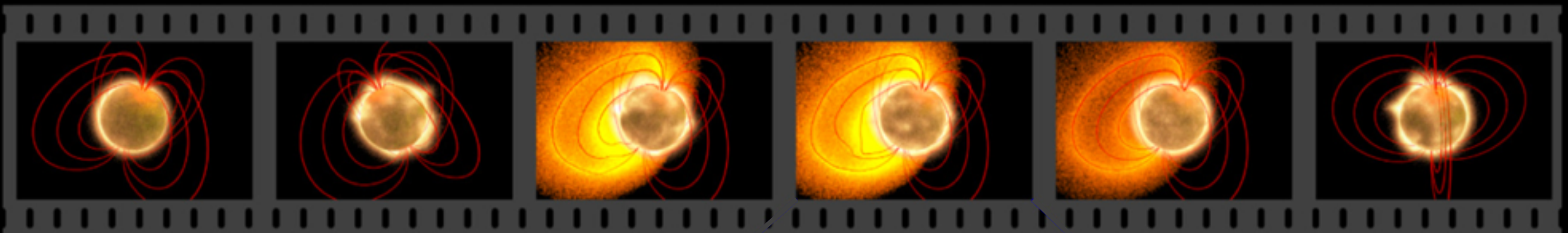
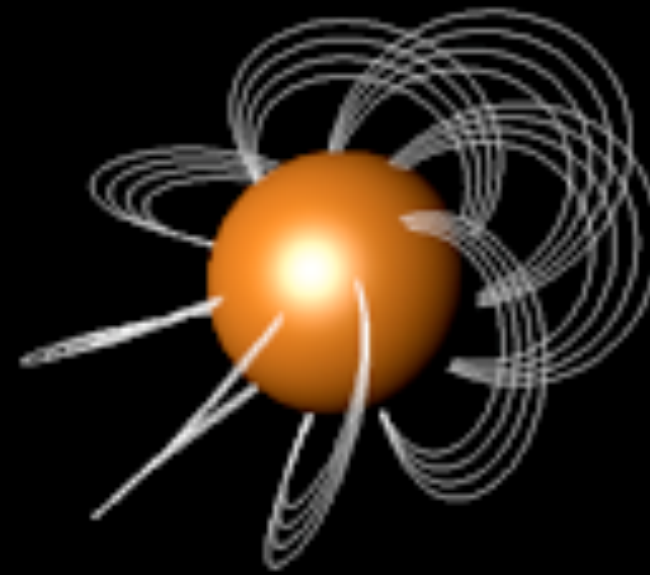
Rompimiento de la
corteza sólida



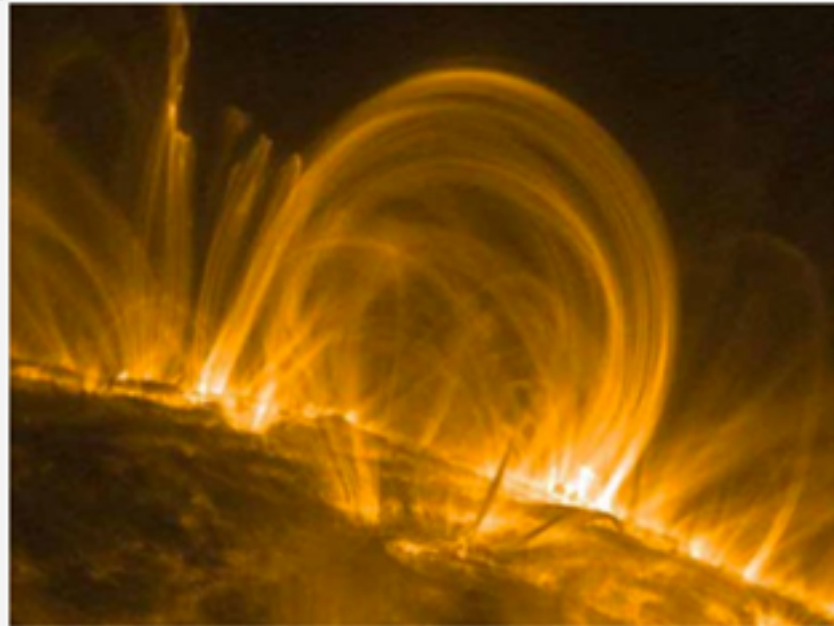
Campo magnético
dipolar



Campo magnético
torcido



Magnetares: destellos de rayos γ

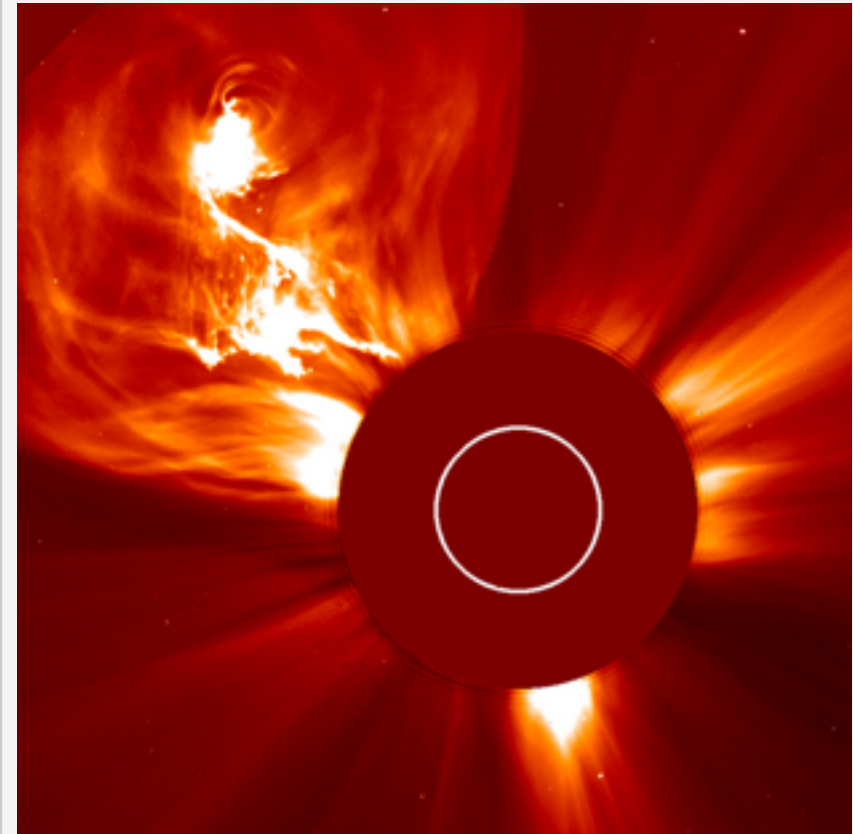


Solar magnetic field lines.
Credit: Lebedev Physical Institute, Russian Academy of Sciences)

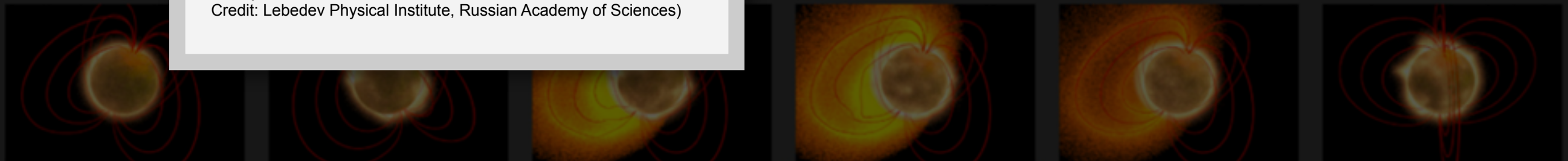


Sun protuberance.
Credit: Lebedev Physical Institute, Russian Academy of Sciences)

Rompimiento de la
corteza sólida



Coronal mass ejection.
Credit: NASA/ESA SOHO, Instrument LASCO on SOHO
(Large Angle and Spectrometric COronagraph)



Campos Magnéticos: tabla comparativa

Campo magnético terrestre	0.6 Gauss
Iman de refrigerador	100 G
Electro-iman de IRMN Manchas solares	10,000 G = 10^4 G
Campo persistente mas fuerte producido por electro-iman	5×10^5 G
Campo mas fuerte producido en laboratorio	$10^6 - 10^7$ G
Enanas blancas ultra-magnetizadas	10^9 G
Campo magnético en pulsares muy viejos	$10^8 - 10^9$ G
Campo magnético de un pulsar típico	10^{12} G
Campo magnetico de un magnetar	10^{15} G
Máximo campo magnético teóricamente posible (efectos cuánticos)	10^{24} G

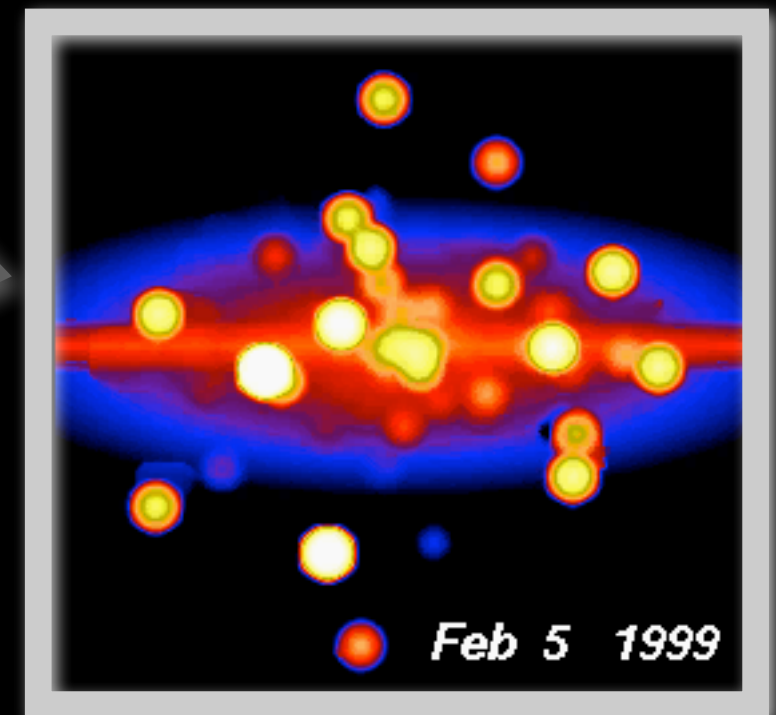
Binarias de Rayos X

Binarias de Rayos X: Región del Centro Galáctico



La Vía Láctea desde San Pedro Mártir (Stéphane Guisard)

Binarias de Rayos X en el Centro Galáctico



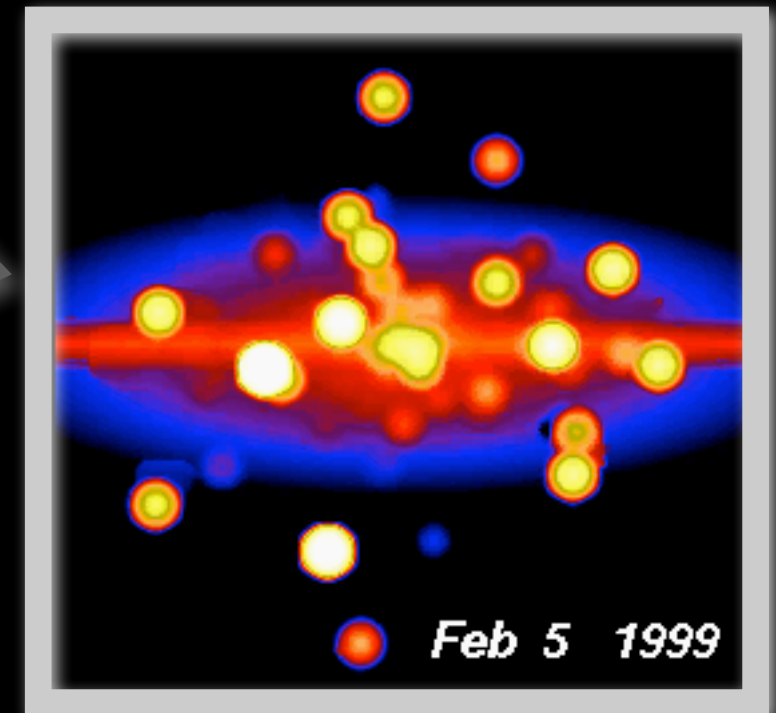
Observaciones del Rossi X-Ray Timing Explorer (RXTE)

Binarias de Rayos X: Región del Centro Galáctico



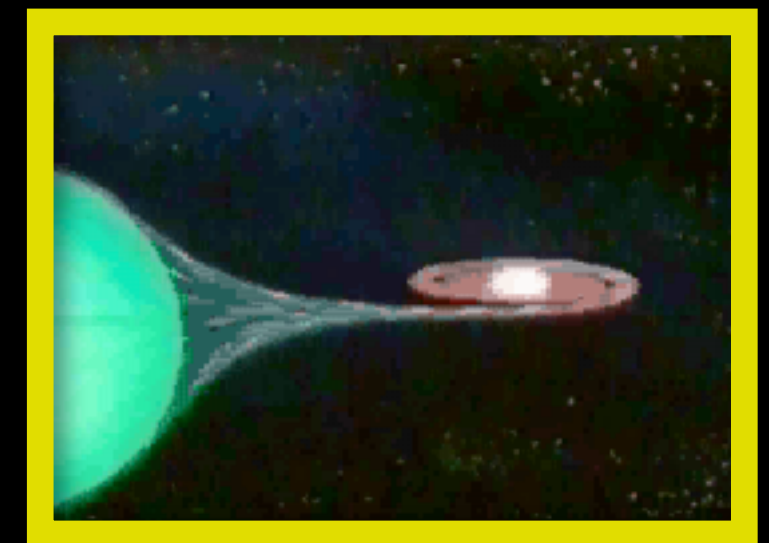
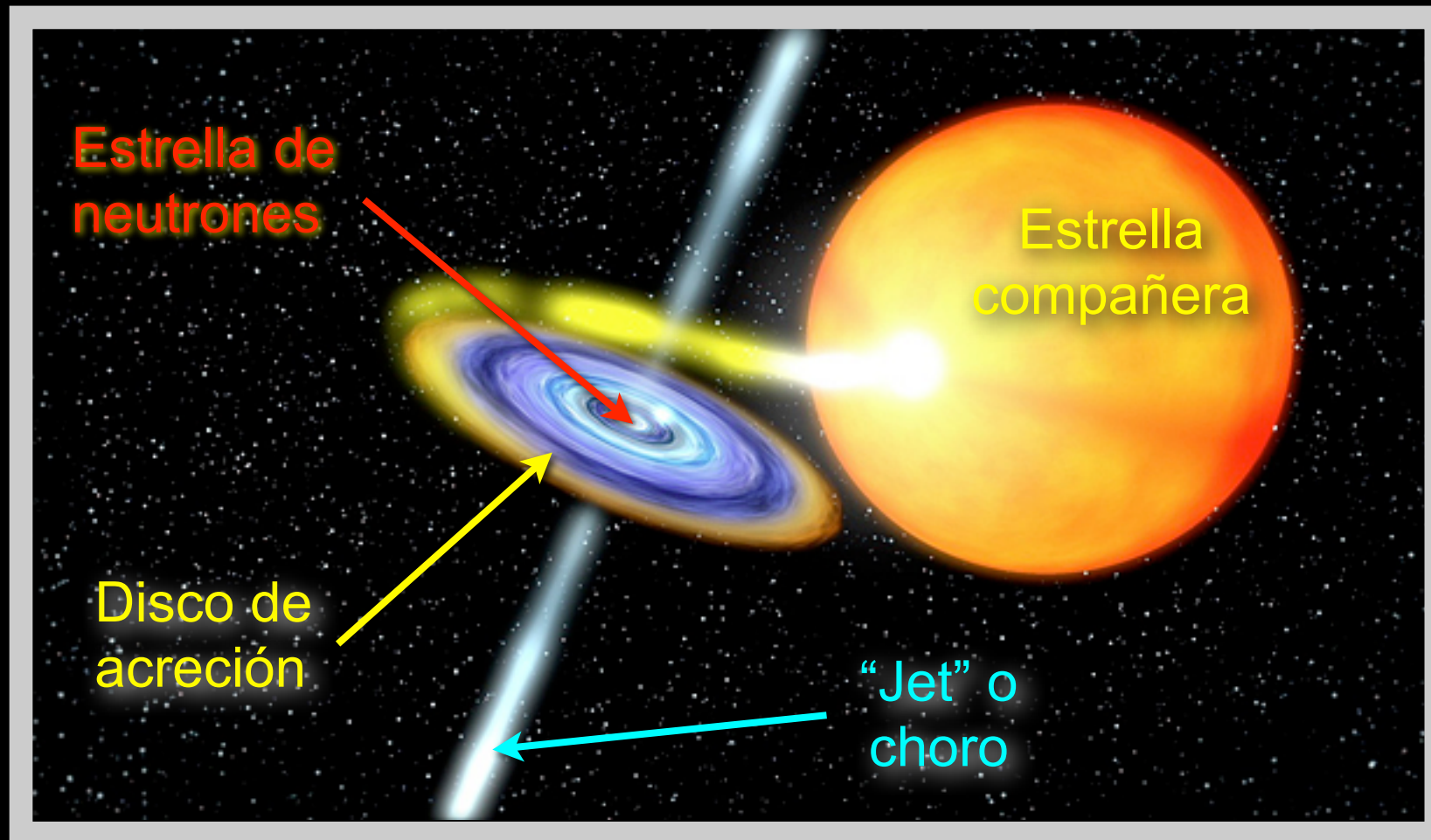
La Vía Láctea desde San Pedro Mártir (Stéphane Guisard)

Binarias de Rayos X en el Centro Galáctico

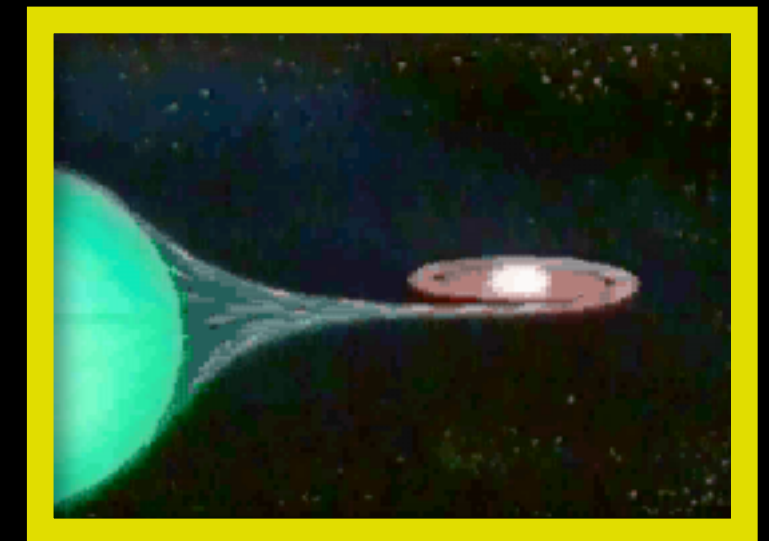
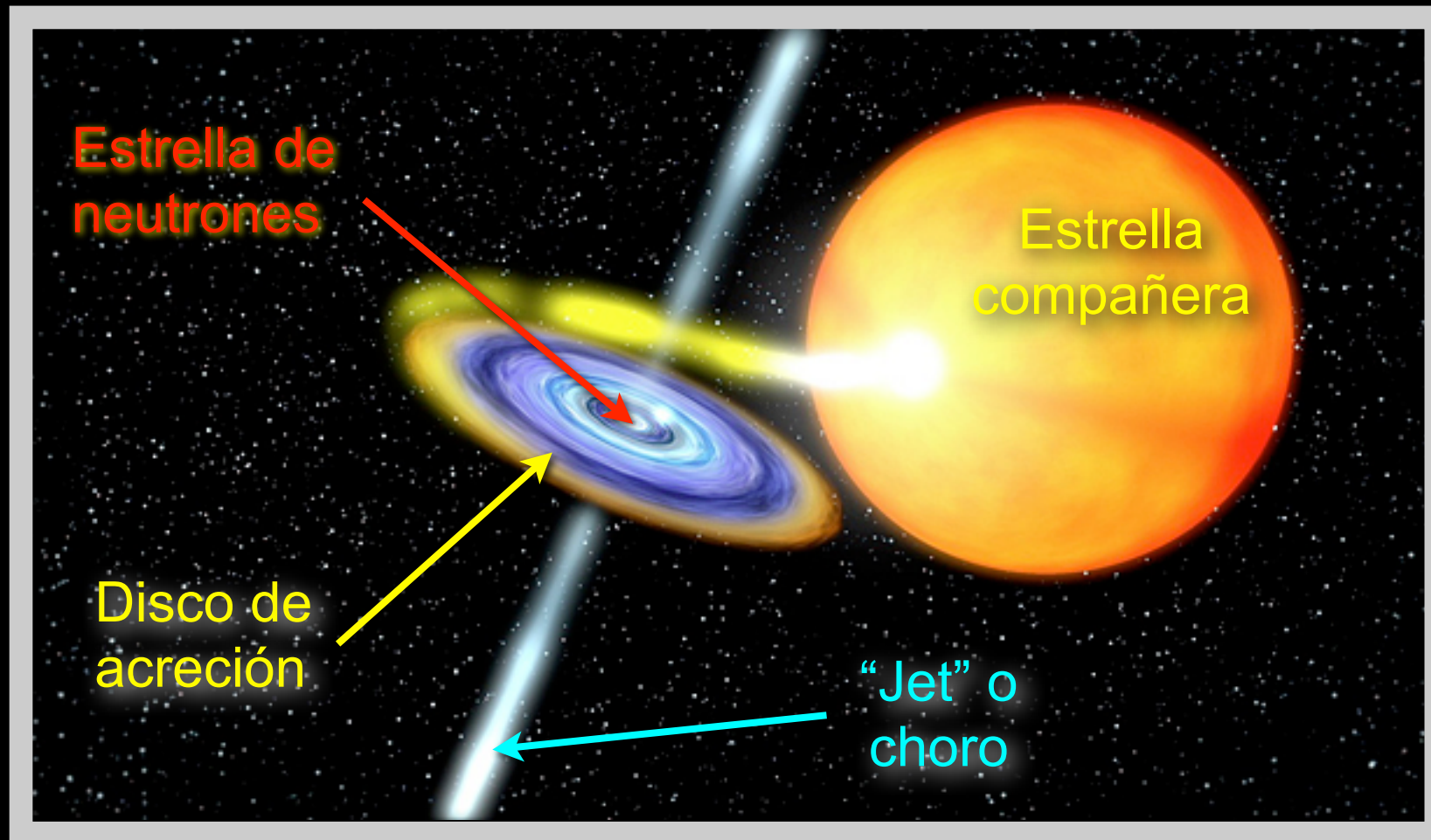


Observaciones del Rossi X-Ray Timing Explorer (RXTE)

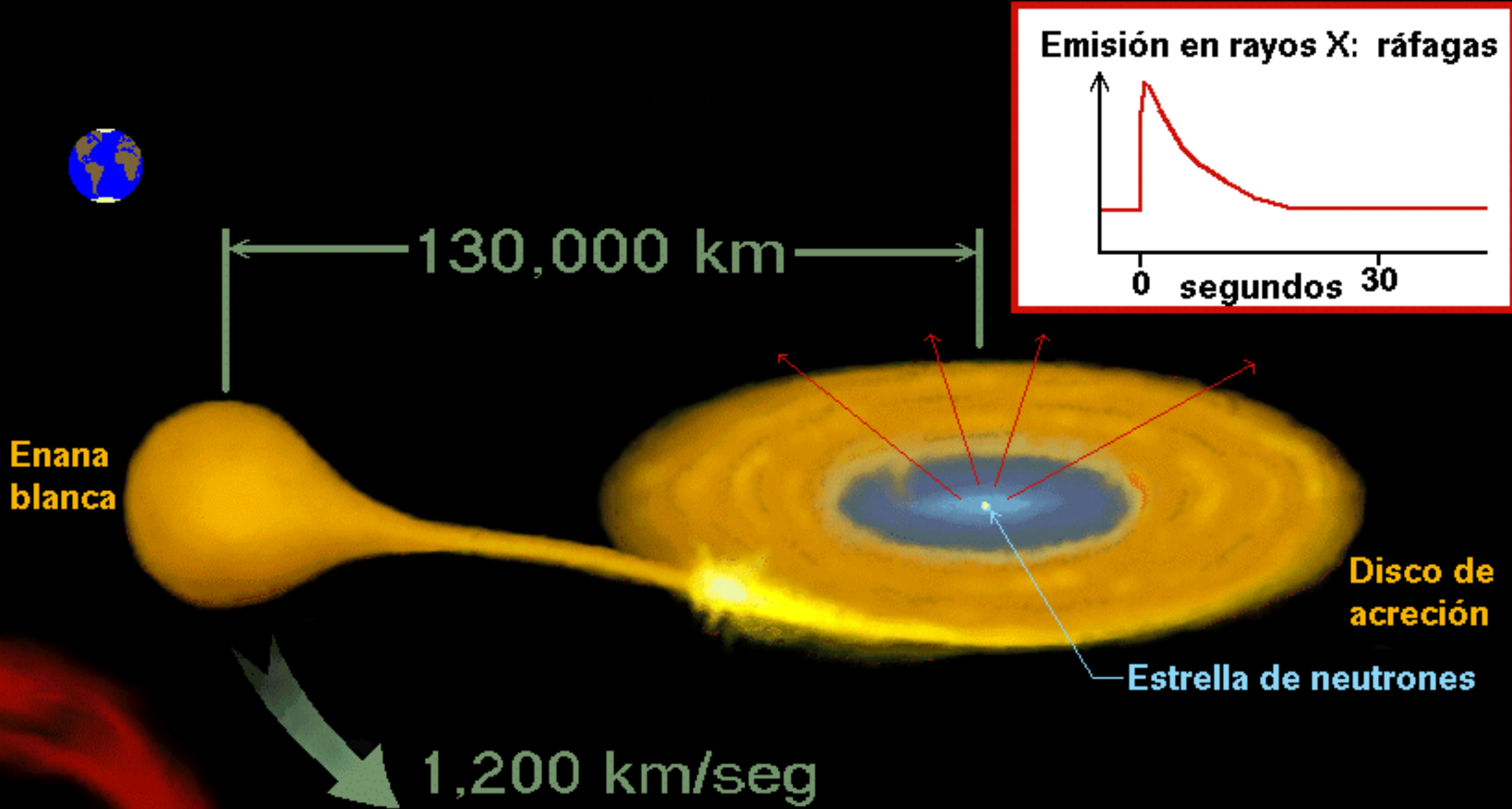
Simulaciones de binarias con acreción



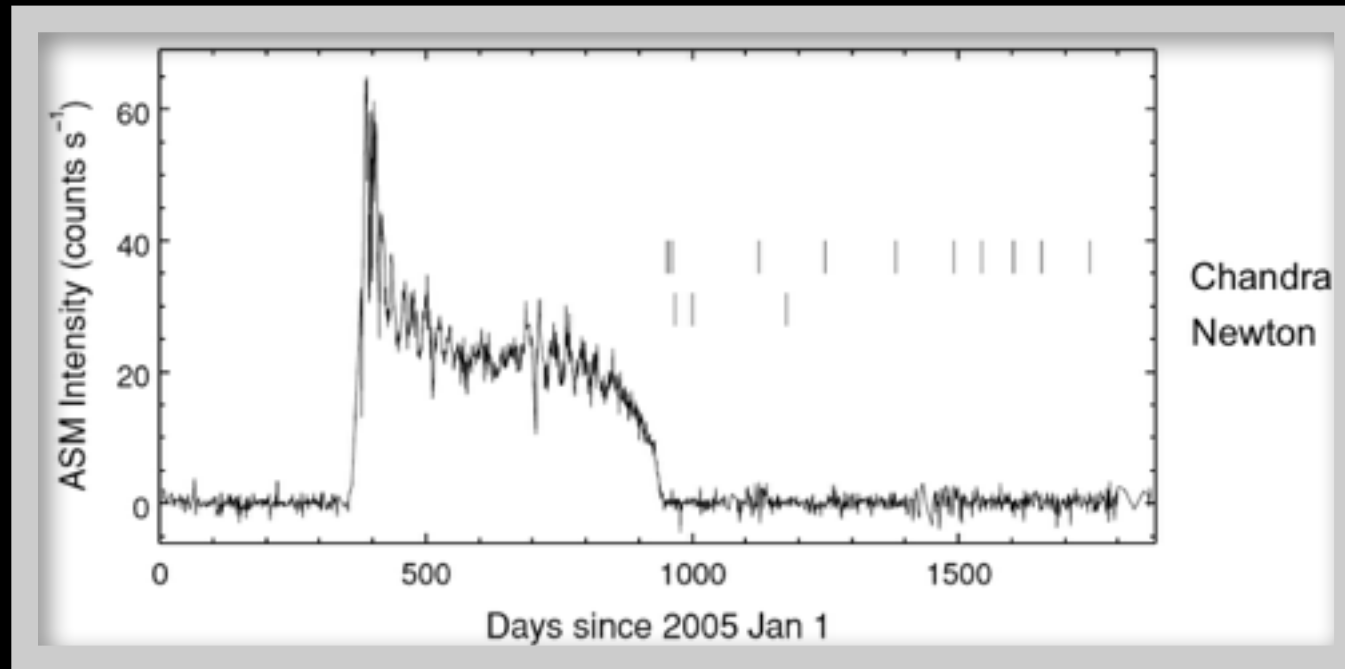
Simulaciones de binarias con acreción



BINARIA de RAYOS X de MASA BAJA (4U 1820-30)



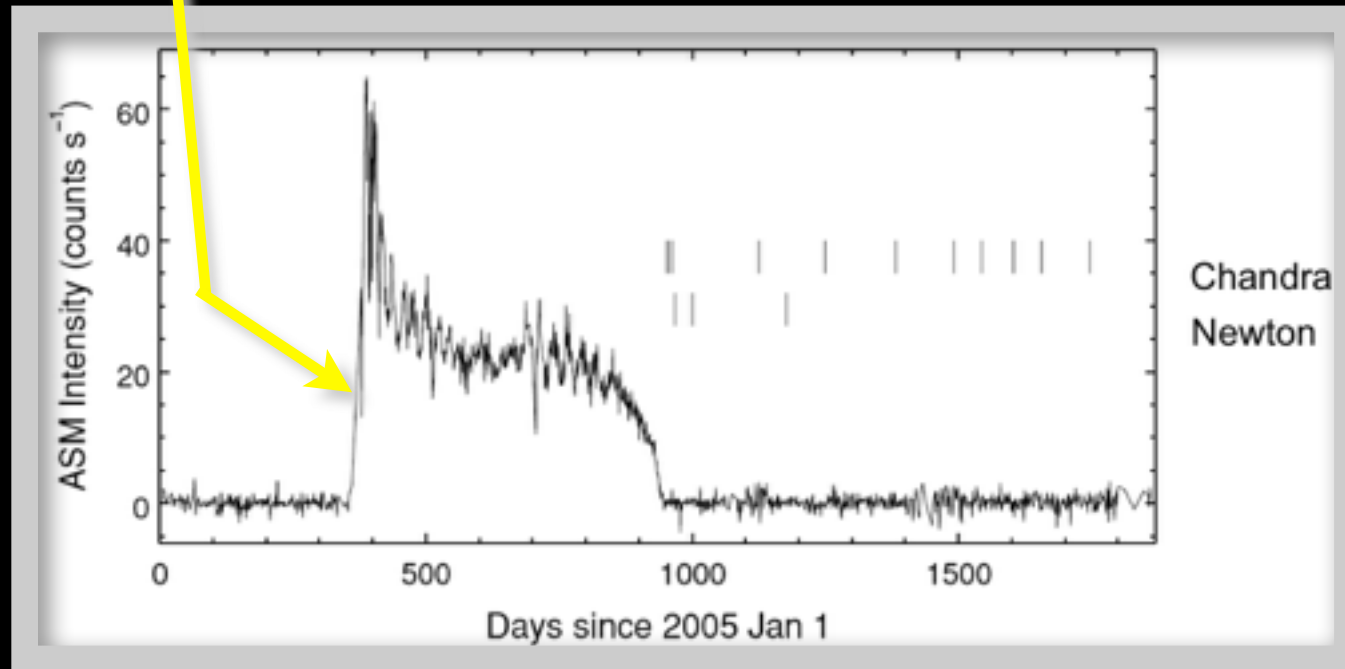
Estrellas de Neutrones con Acreción Transitoria



**Observación de la fuente XTE J1701-462
por el ASM (“All Sky Monitor”) del RXTE**

Estrellas de Neutrones con Acreción Transitoria

Aparición
de la fuente
(Enero 18, 2006)

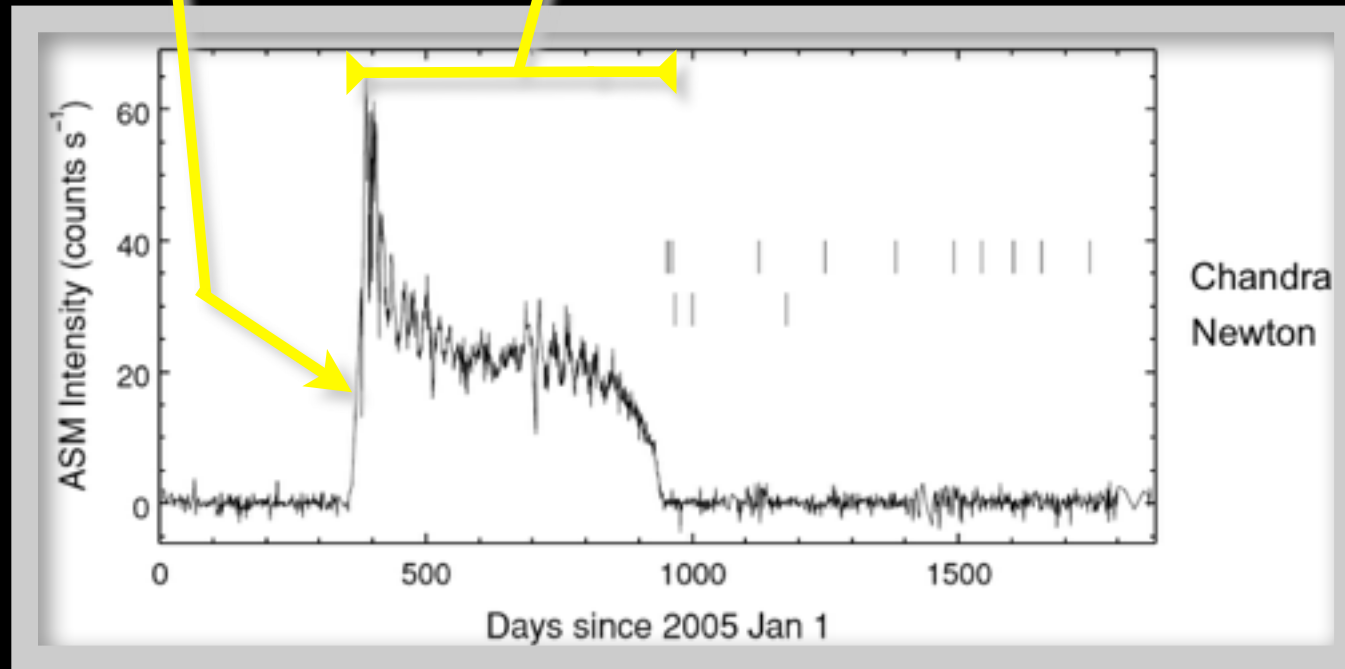


Observación de la fuente XTE J1701-462
por el ASM ("All Sky Monitor") del RXTE

Estrellas de Neutrones con Acreción Transitoria

Aparición
de la fuente
(Enero 18, 2006)

Acreción
durante
1.6 años



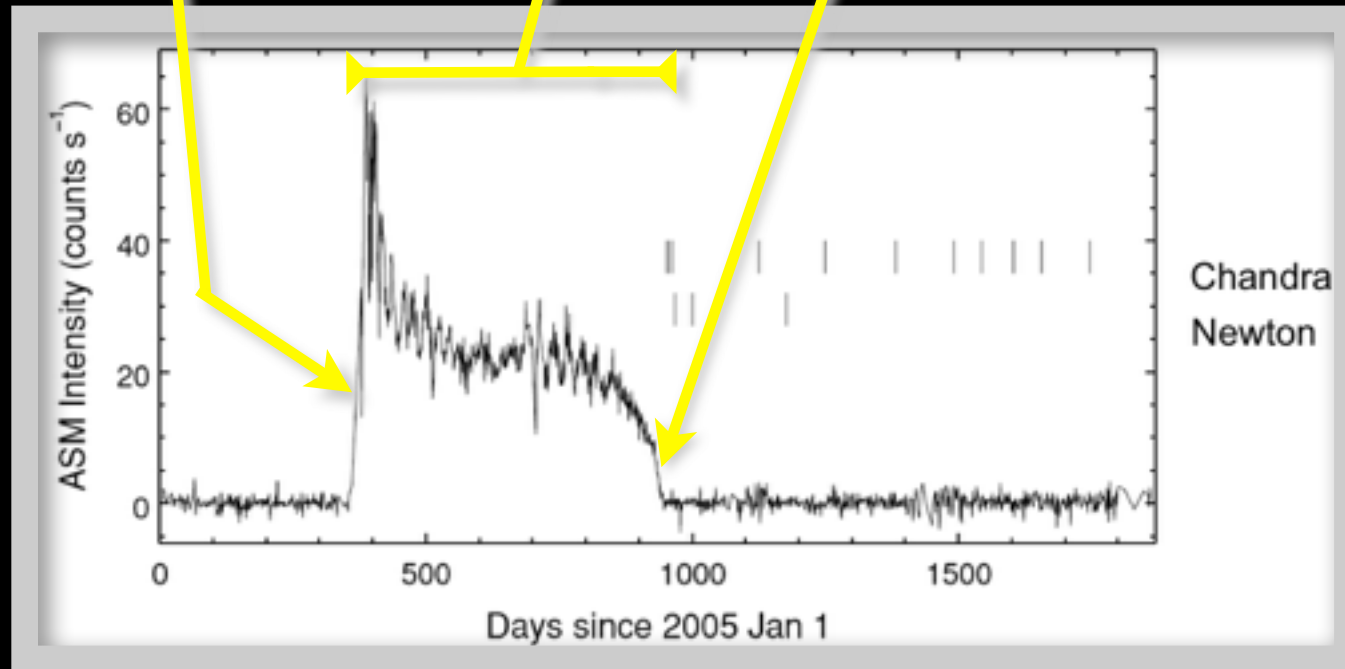
Observación de la fuente XTE J1701-462
por el ASM ("All Sky Monitor") del RXTE

Estrellas de Neutrones con Acreción Transitoria

Aparición
de la fuente
(Enero 18, 2006)

Acreción
durante
1.6 años

Fin de la
acreción



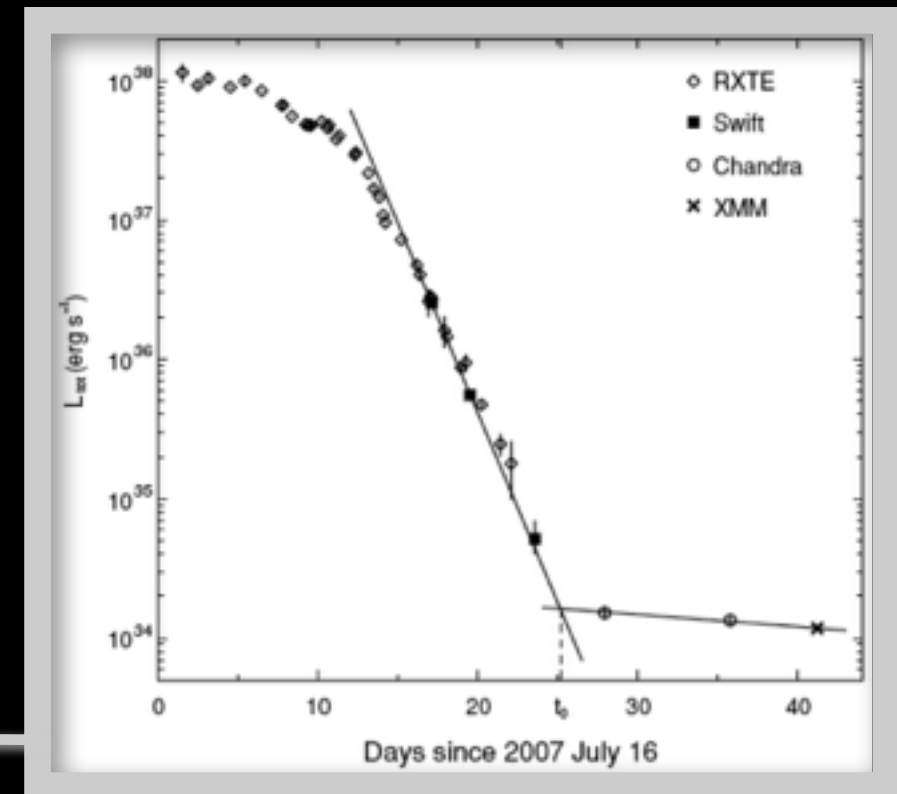
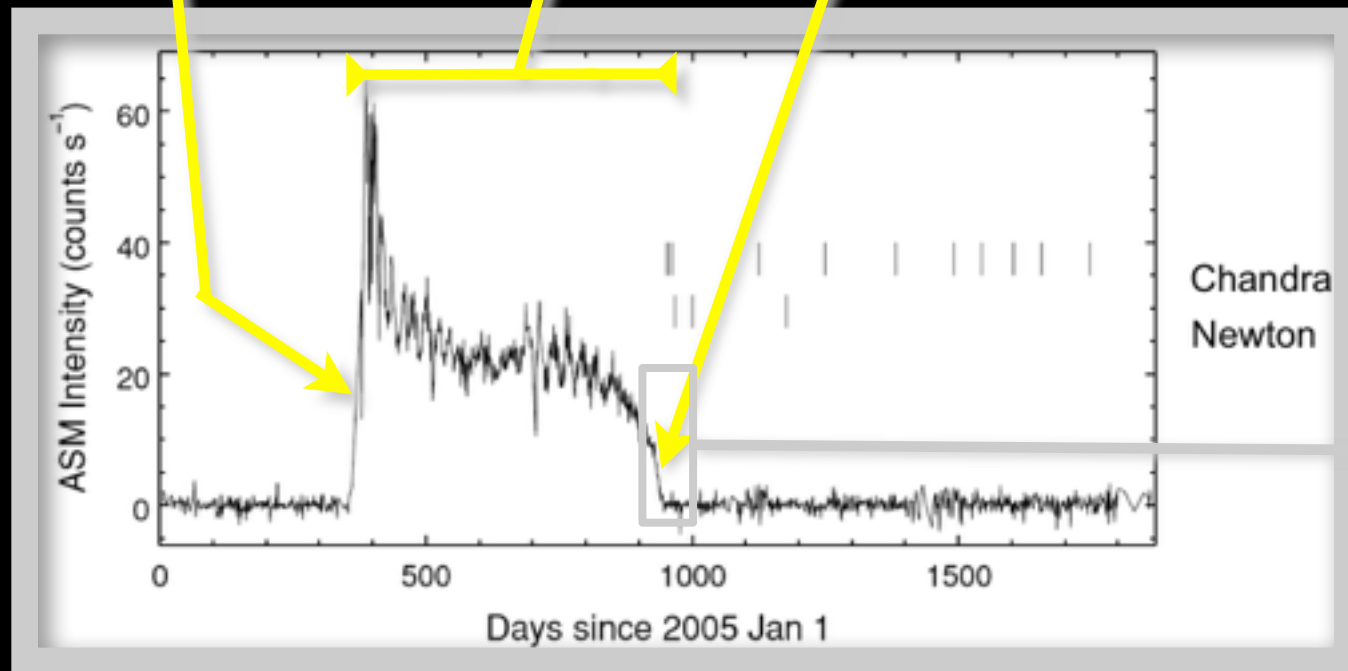
Observación de la fuente XTE J1701-462
por el ASM ("All Sky Monitor") del RXTE

Estrellas de Neutrones con Acreción Transitoria

Aparición de la fuente (Enero 18, 2006)

Acreción durante 1.6 años

Fin de la acreción



Observación de la fuente XTE J1701-462 por el ASM ("All Sky Monitor") del RXTE

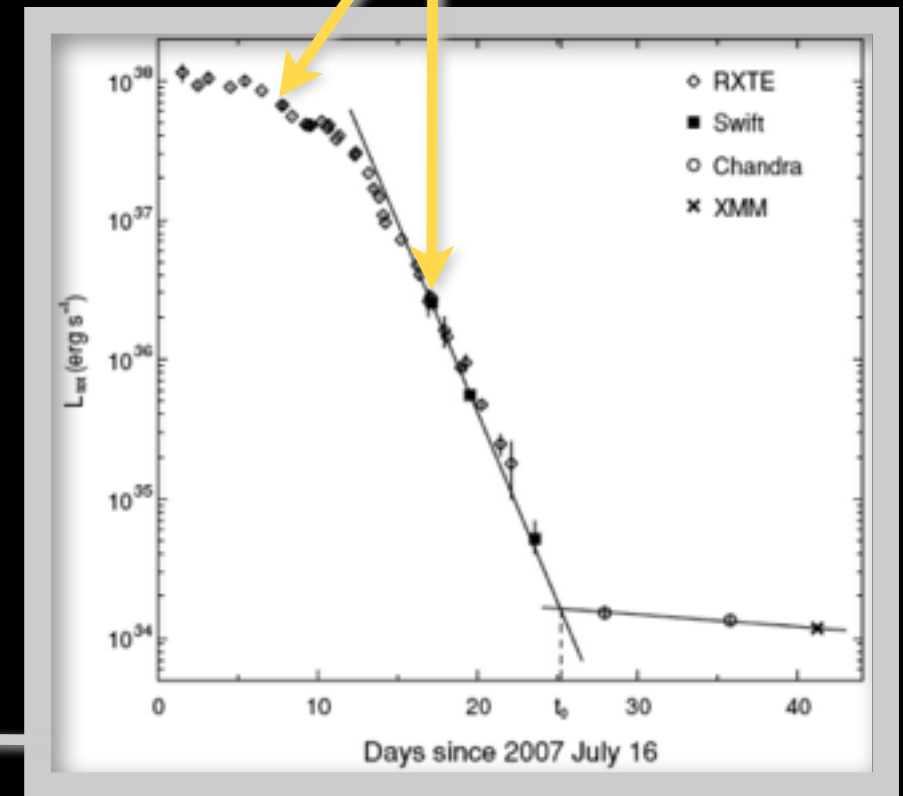
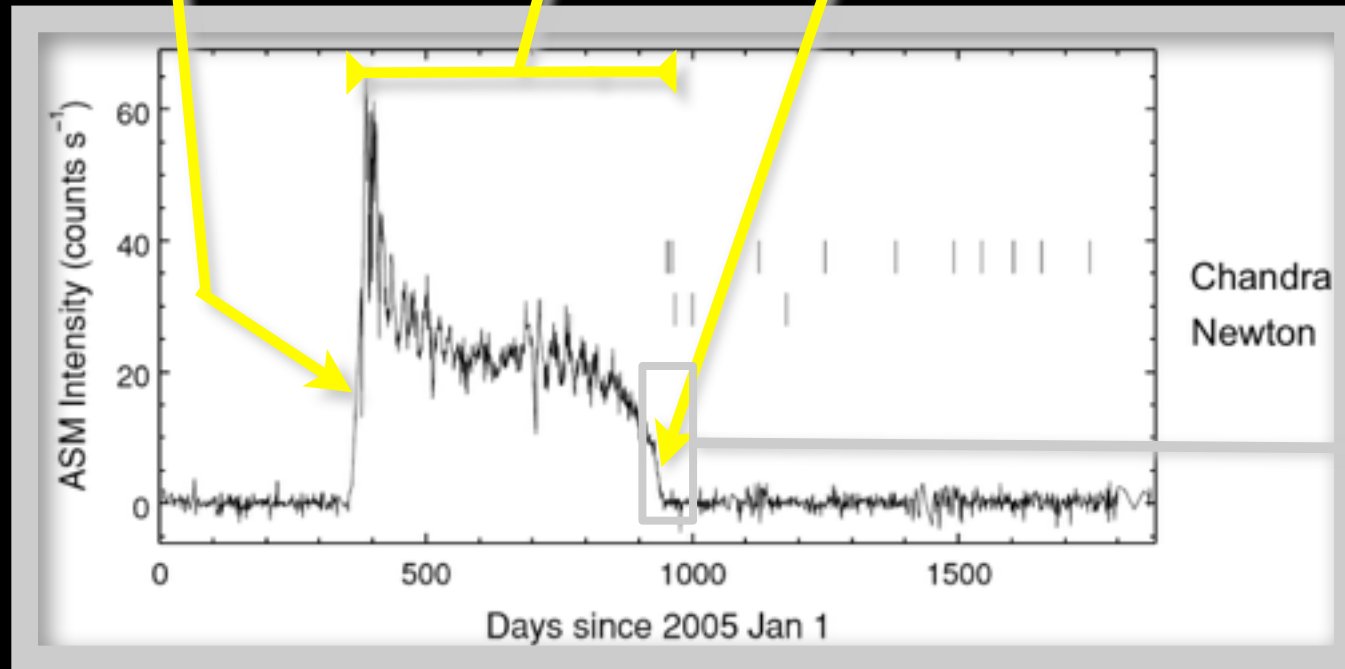
Estrellas de Neutrones con Acreción Transitoria

Aparición de la fuente (Enero 18, 2006)

Acreción durante 1.6 años

Fin de la acreción

Emisión del disco



Observación de la fuente XTE J1701-462 por el ASM ("All Sky Monitor") del RXTE

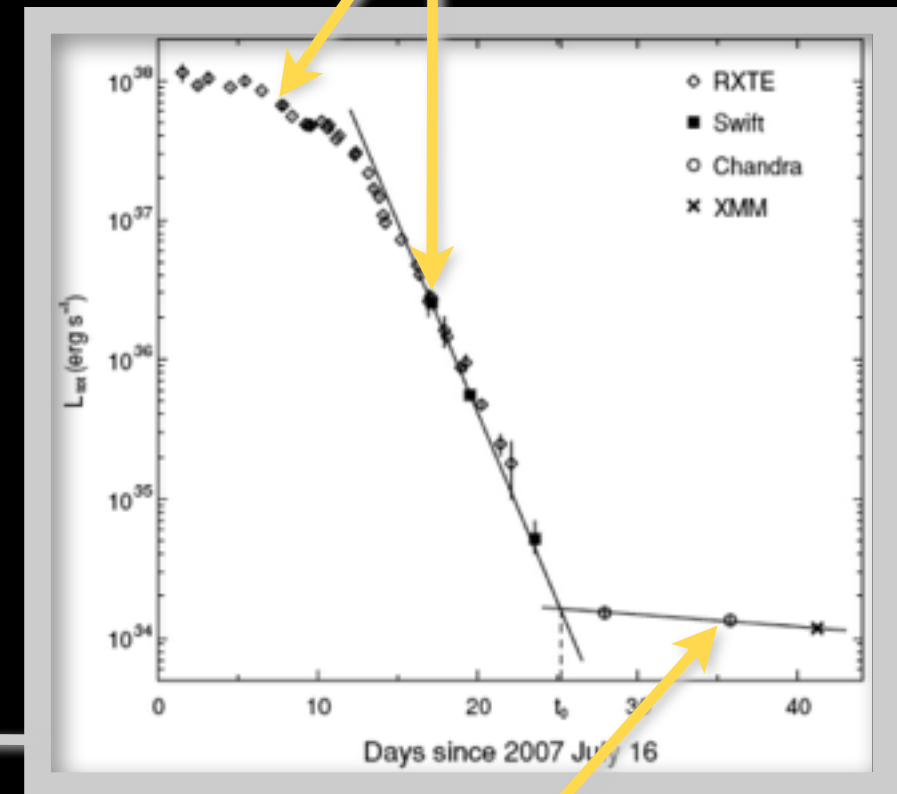
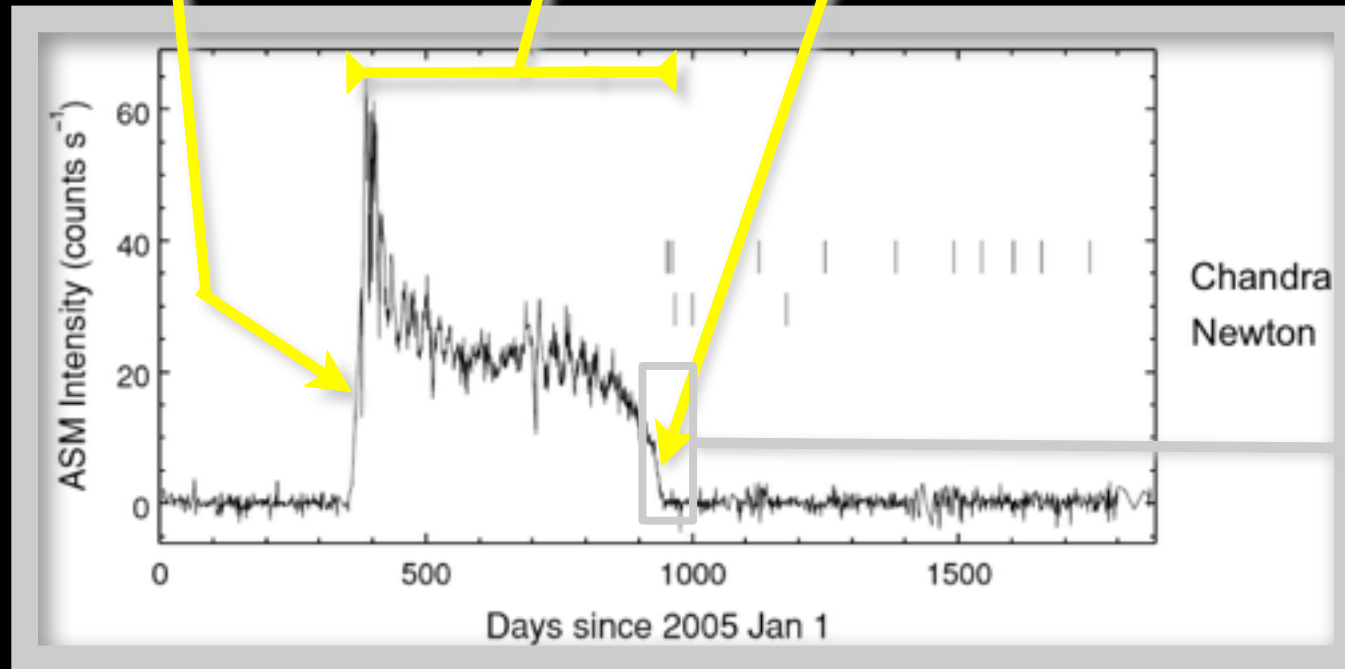
Estrellas de Neutrones con Acreción Transitoria

Aparición de la fuente (Enero 18, 2006)

Acreción durante 1.6 años

Fin de la acreción

Emisión del disco



Observación de la fuente XTE J1701-462 por el ASM ("All Sky Monitor") del RXTE

Emisión de la superficie de la estrella de neutrones

Estrellas de Neutrones con Acreción Transitoria

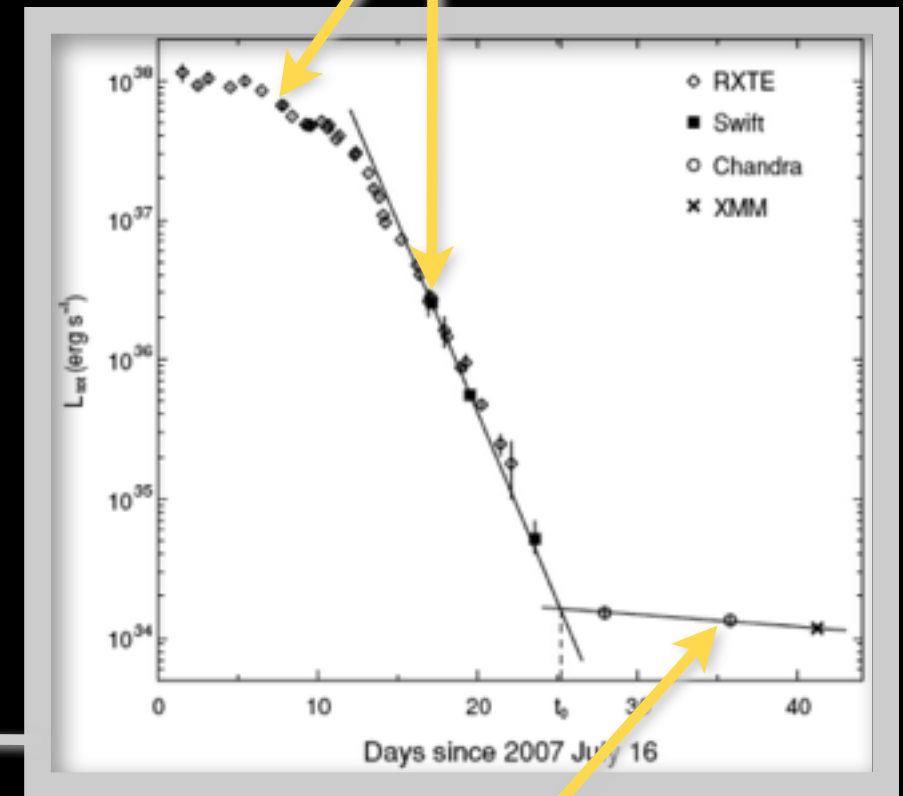
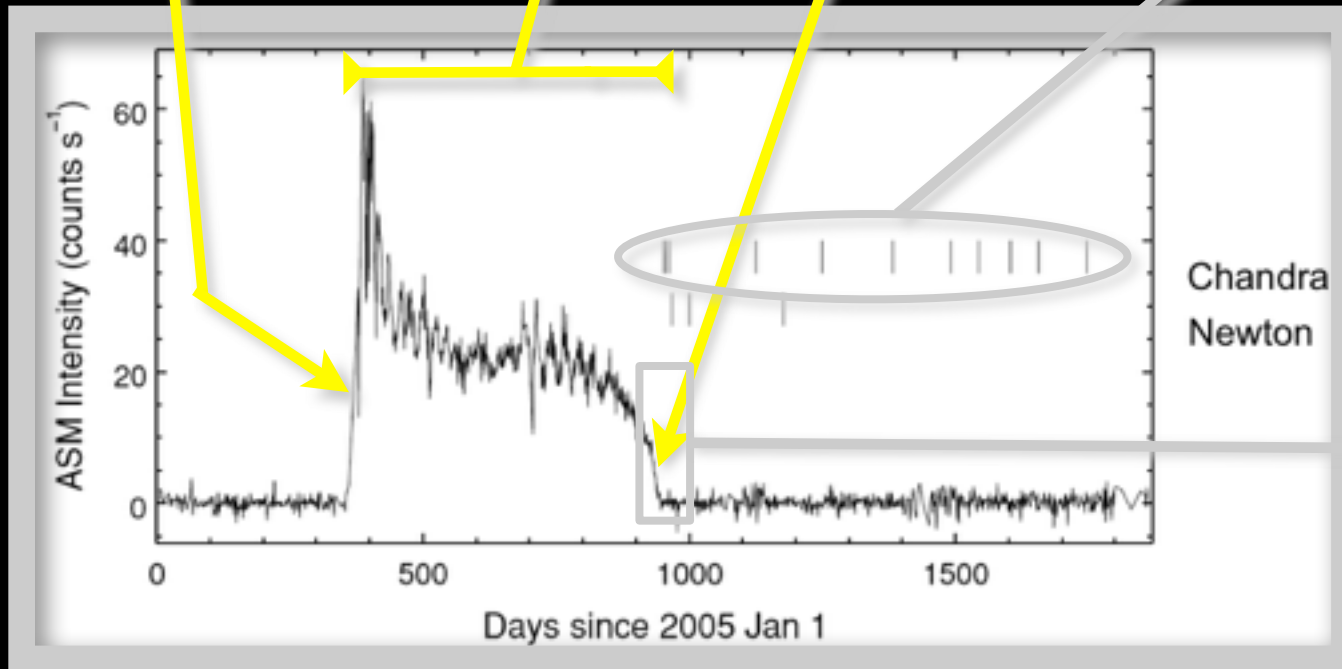
Aparición de la fuente (Enero 18, 2006)

Acreción durante 1.6 años

Fin de la acreción

Seguimiento detallado con Chandra

Emisión del disco



Emisión de la superficie de la estrella de neutrones

Observación de la fuente XTE J1701-462 por el ASM ("All Sky Monitor") del RXTE

Estrellas de Neutrones en Transitoria

Neutron Star Crust Team: Probing Deep into the Neutron Star Crust with Transient Neutron-Star Low-Mass X-Ray Binaries

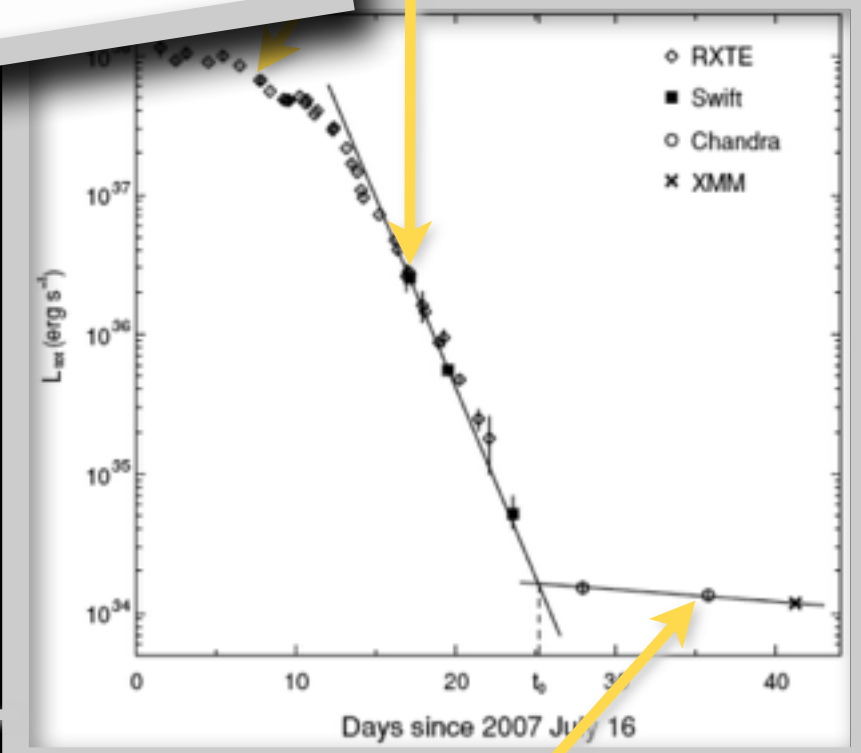


Welcome Team Members More about our Project First Meeting Projects

Welcome to the home page for the [ISSI International Team](#) on Probing Deep into the Neutron Star Crust with Transient Neutron-Star Low-Mass X-Ray Binaries.

Abstract: The outer region of a neutron star, called the crust, is predicted to host novel states of matter containing exotic neutron-rich nuclei (which in the inner crust are highly deformed), relativistic electrons, and a superfluid of neutrons. Recently, transiently accreting neutron-star low-mass X-ray binaries have emerged as unique laboratories to study thermal and transport processes in these extreme environments and phases encountered in the crust. During a long period of accretion, years to decades, the crust is heated out of thermal equilibrium with the stellar core. When accretion ends, the subsequent thermal relaxation can, and has been, observed in detail. Modeling these events has been fairly successful, but with the introduction of "fudge parameters" which mask our current ignorance about the interesting physics of heat transport, nuclear reactions, and neutron superfluidity at these fairly extreme densities. It is now timely to bring together a team of X-ray observers, theoretical astrophysicists, and theoretical physicists to interpret and guide observations of thermal relaxation with a view to learn about fundamental processes and phases of matter encountered at these extreme densities.

Emisión
del disco

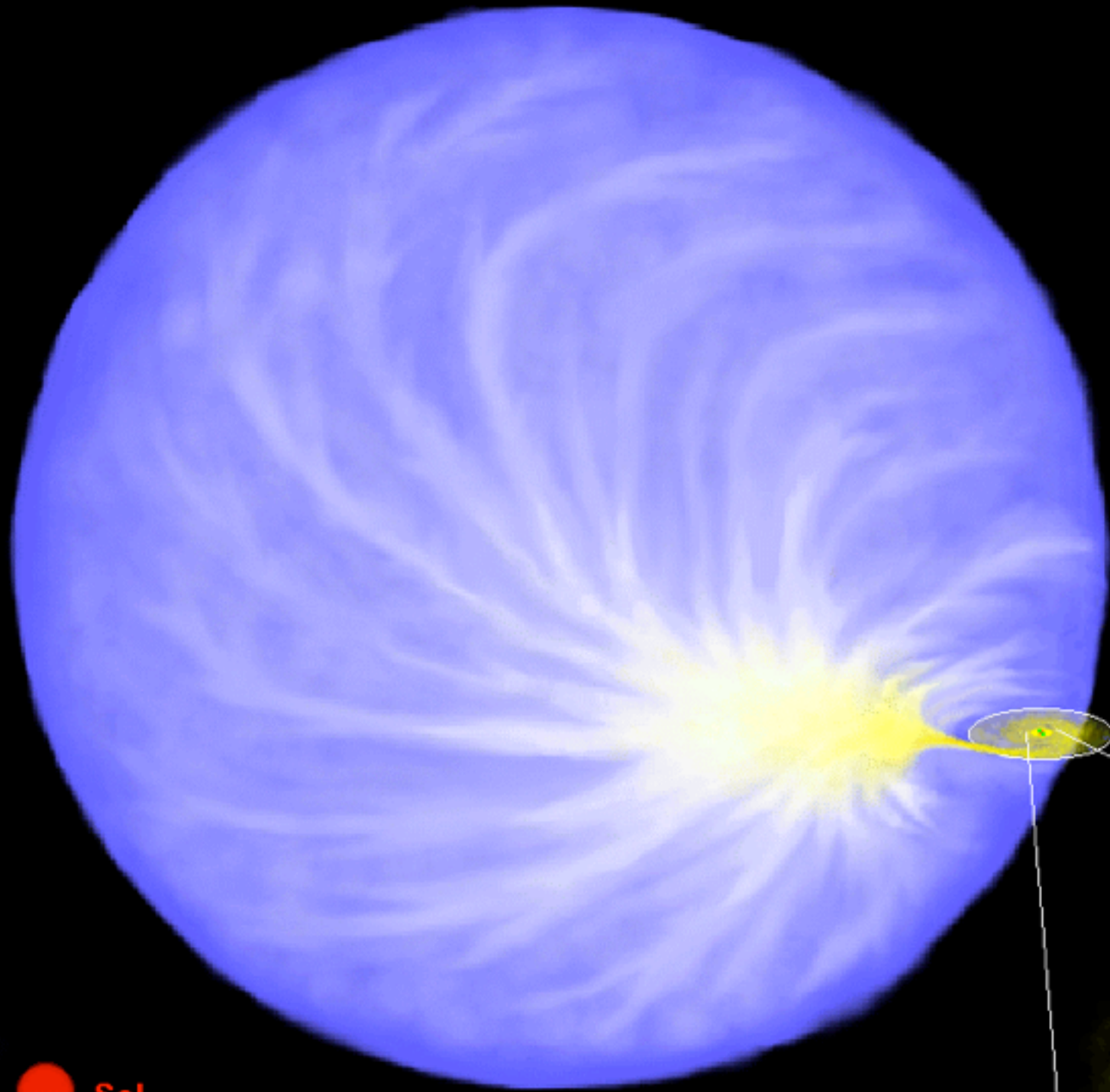


Emisión de la superficie
de la estrella de neutrones

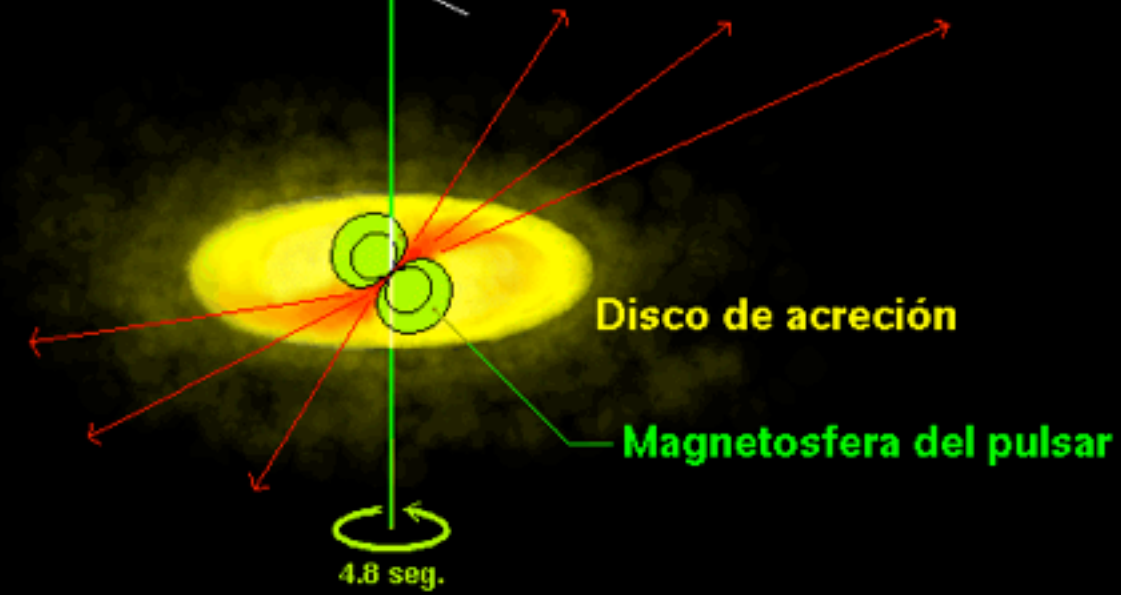
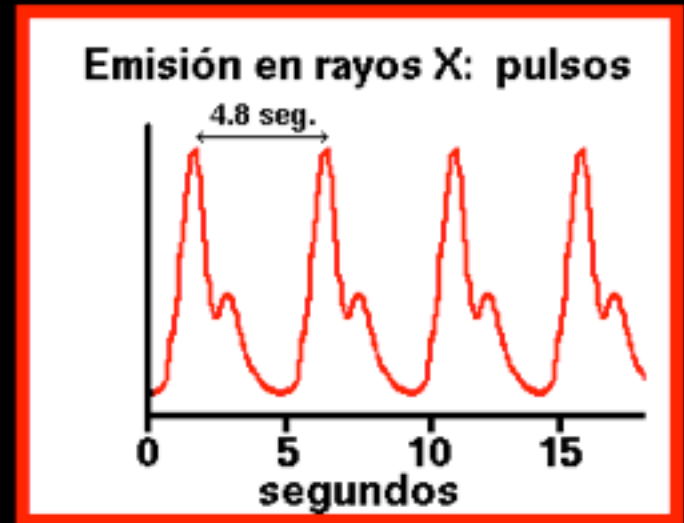


ASM Intensity (counts s⁻¹)

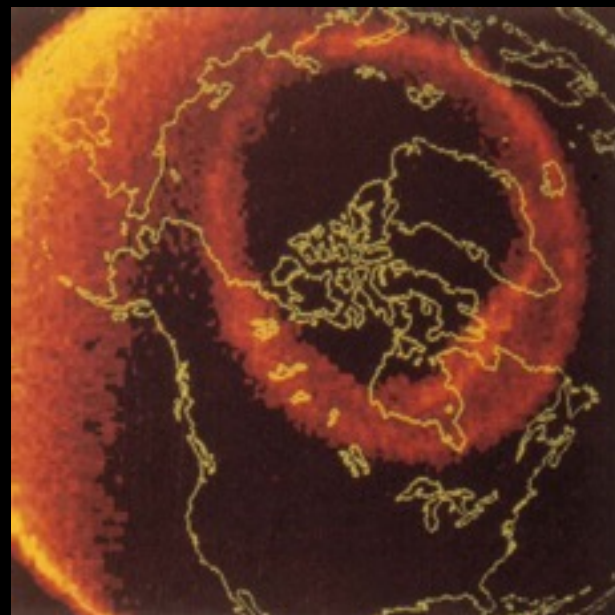
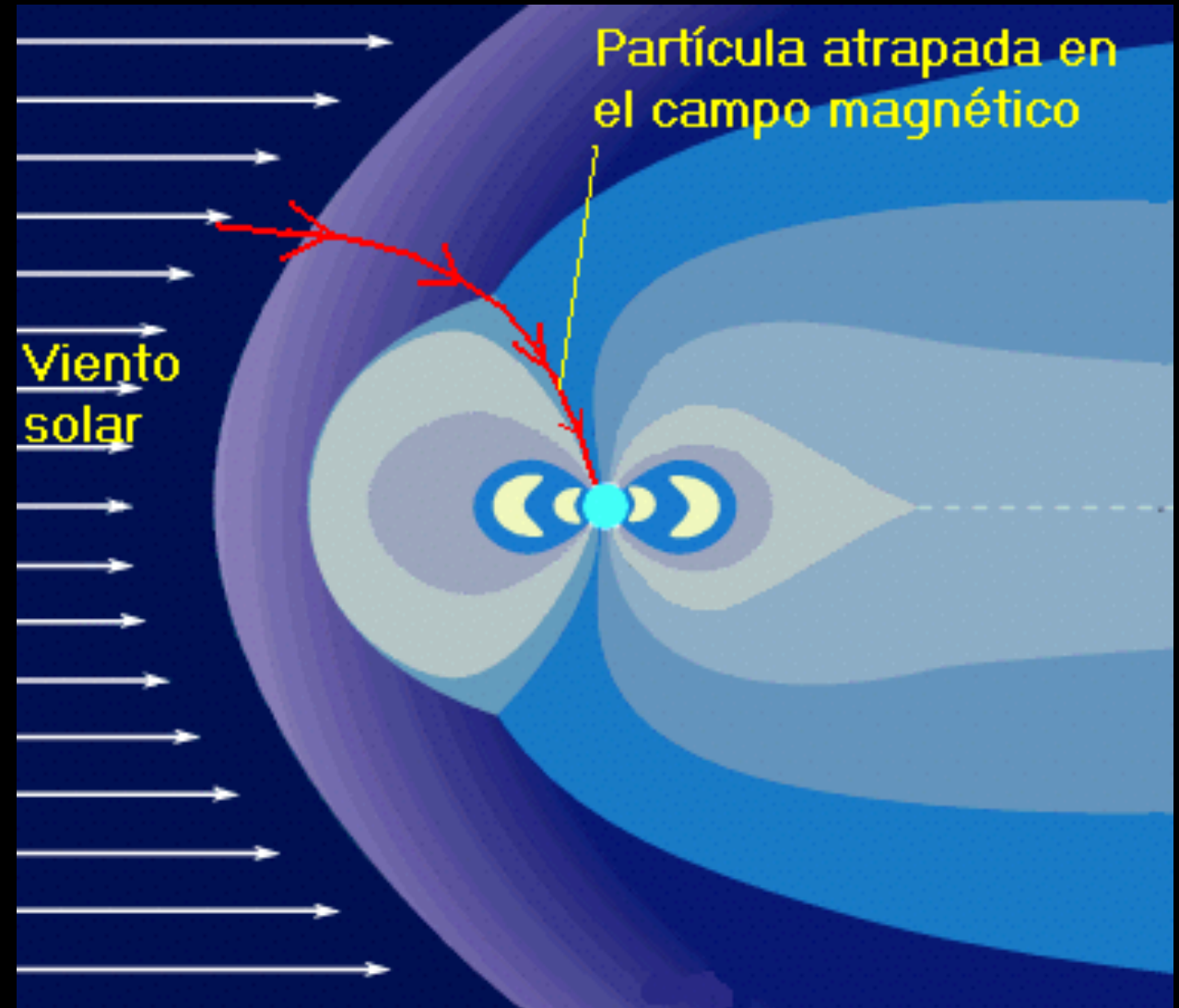
BINARIA de RAYOS X de MASA ALTA (CENTAURO X-3)



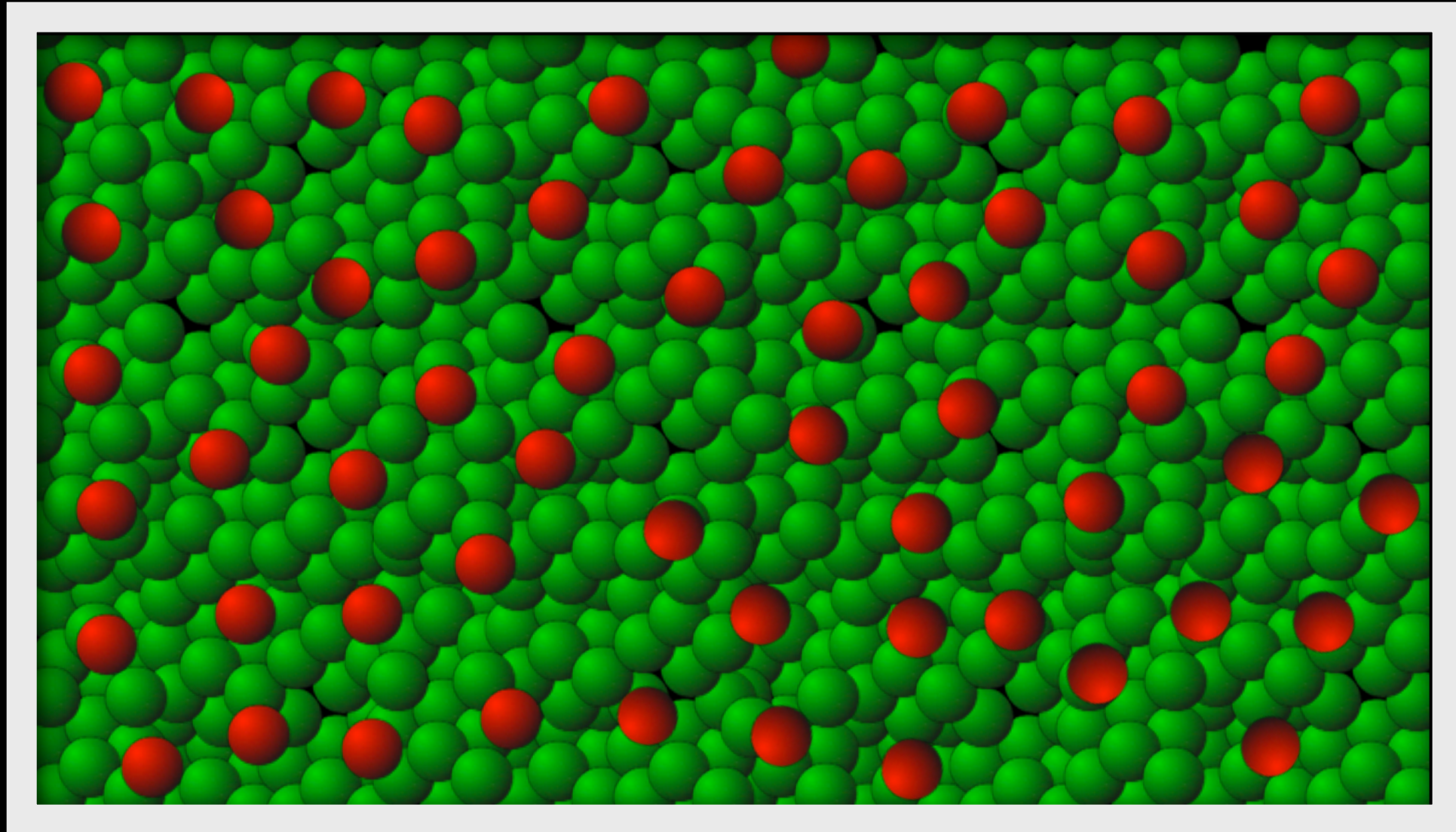
● Sol



Aurora Boreal

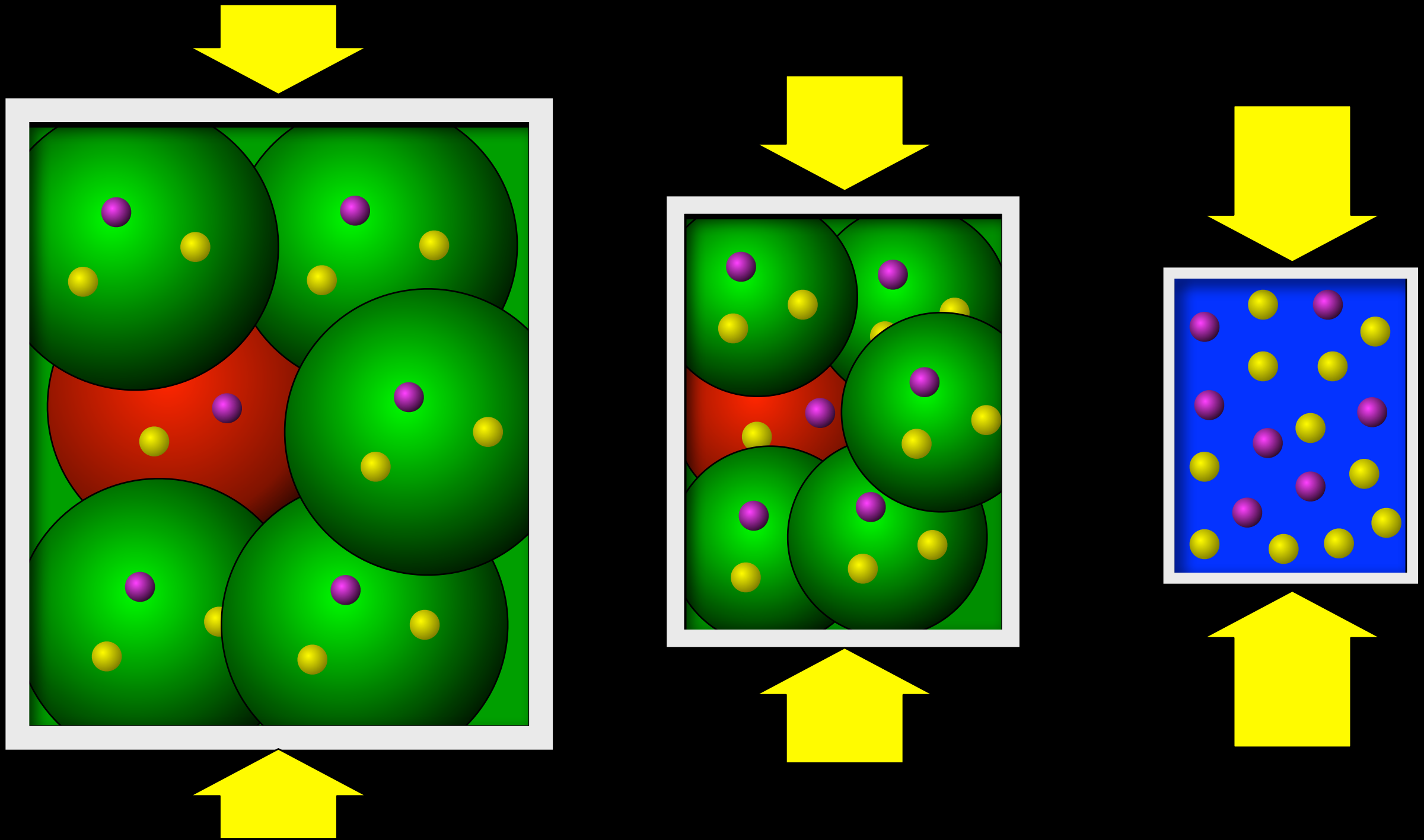


El interior de una estrella de neutrones



Contiene un 90% de neutrones y un 10% de protones

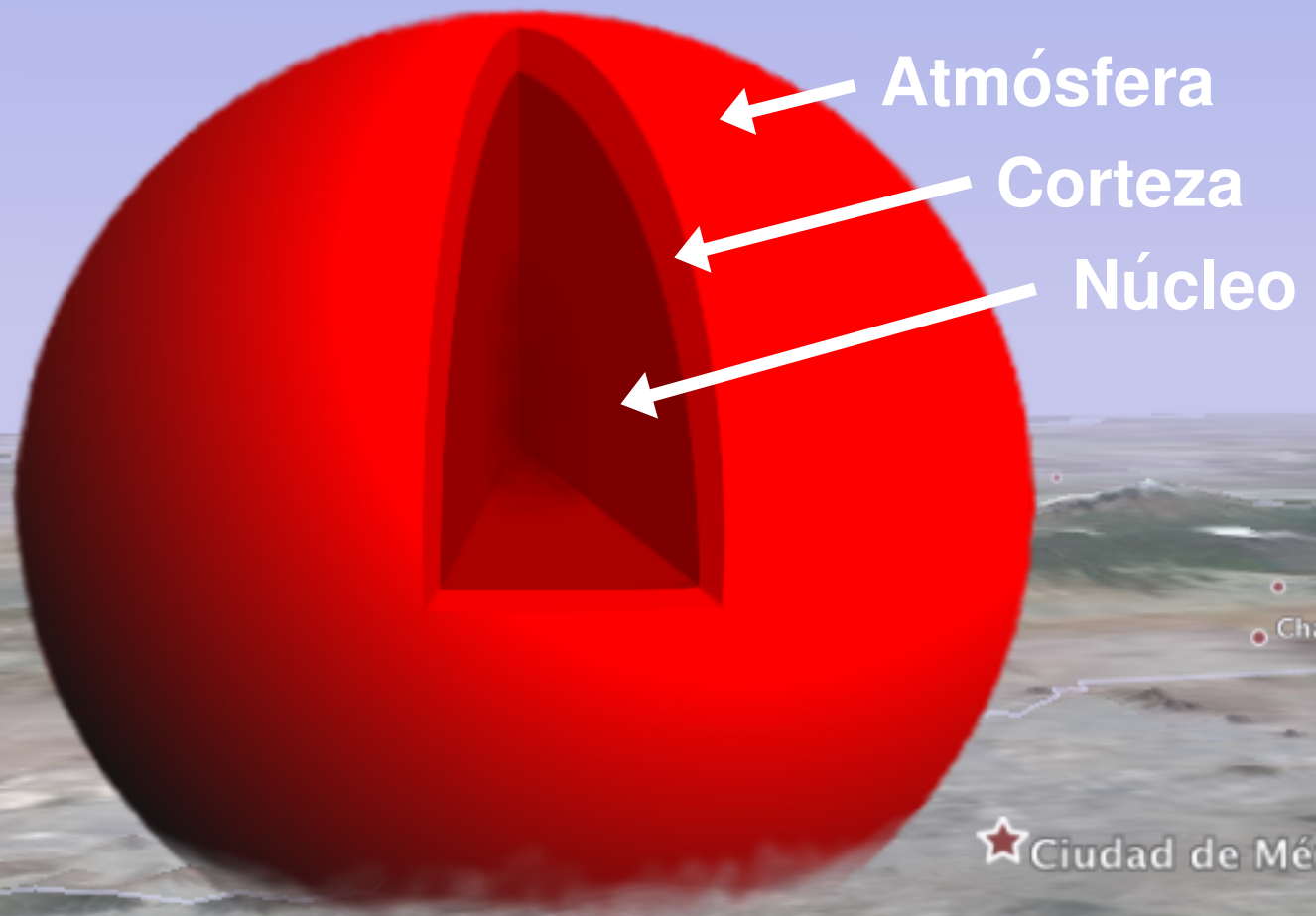
¿ De nucleones a quarks ?



El aumento de presión por la gravedad en el centro puede llevar al desconfinamiento de los quarks



Estrella de Neutrones



Estrella de Quarks

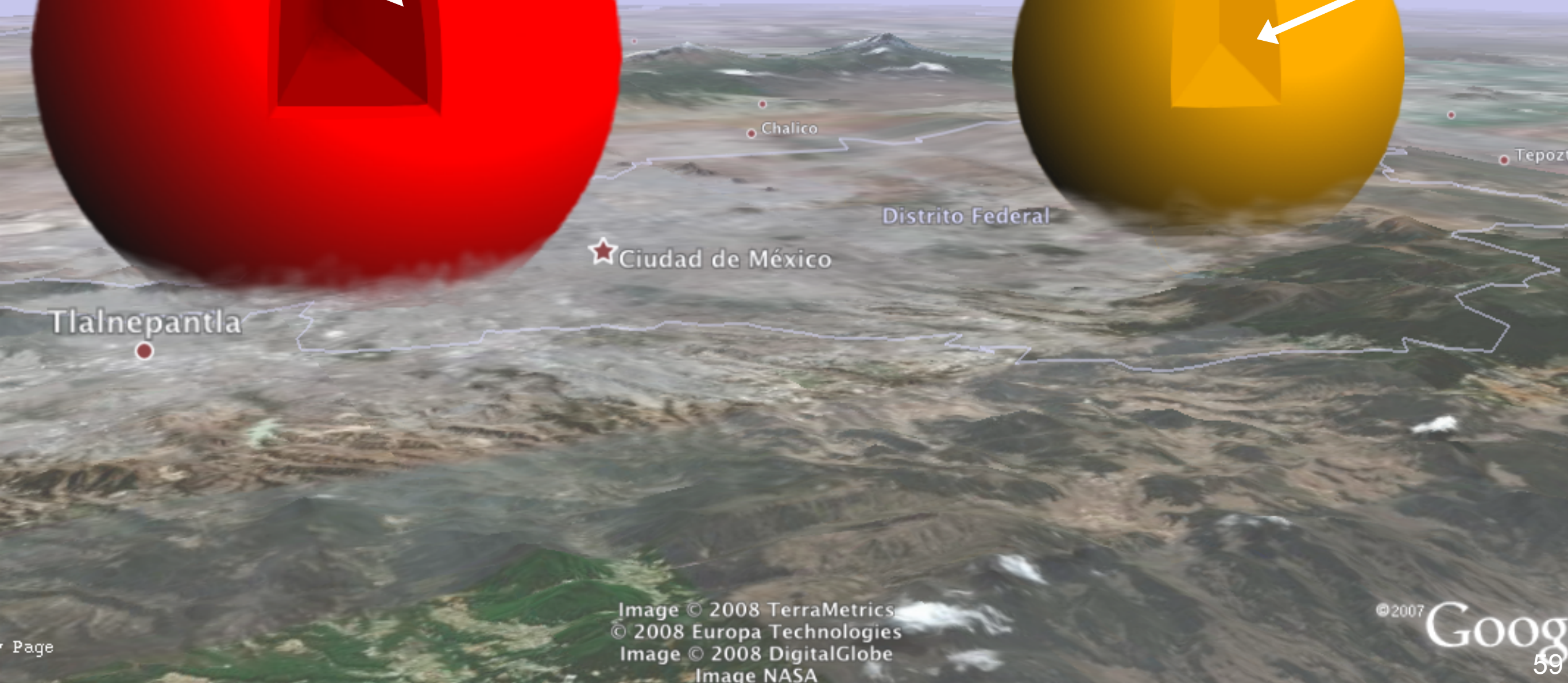
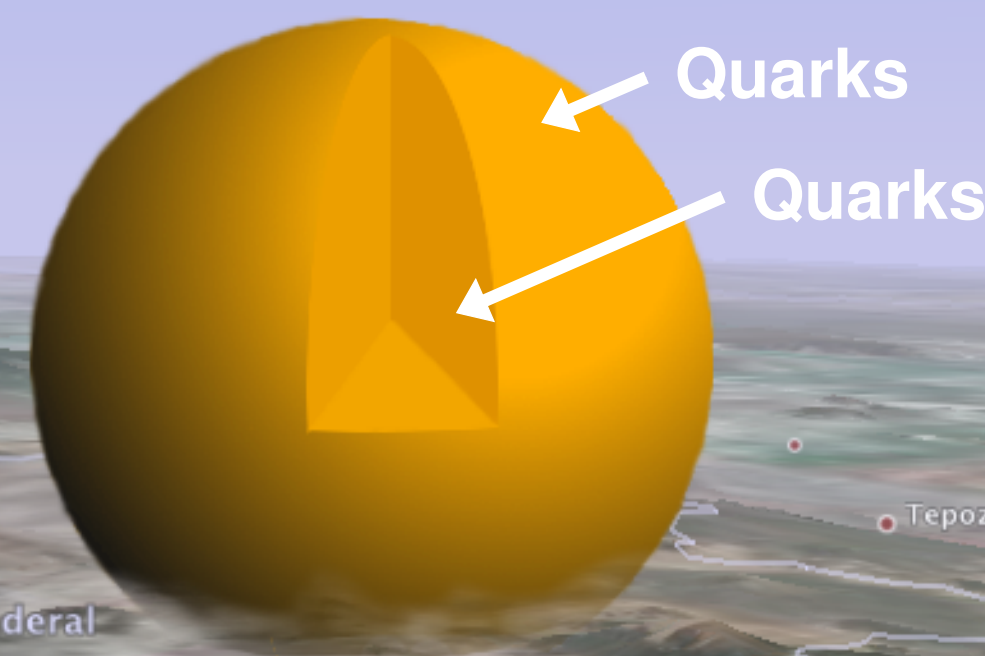
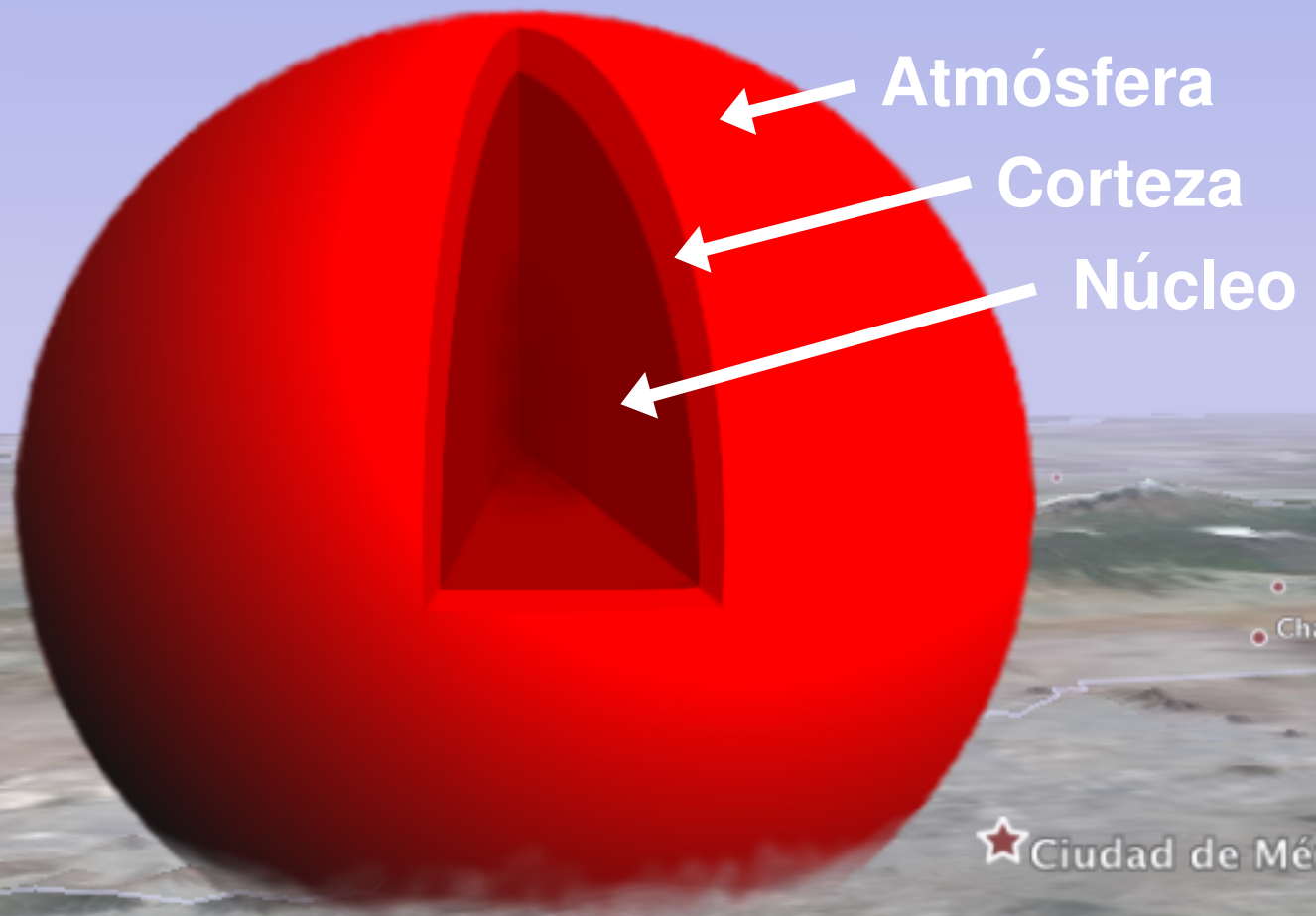


Image © 2008 TerraMetrics
© 2008 Europa Technologies
Image © 2008 DigitalGlobe
Image NASA

© 2007 Google



Estrella de Neutrones



Estrella de Quarks

A la fecha no hay evidencia seria de la existencia de estrellas de quarks

Quarks
Quarks



¿ Que chin...
pasa cuando el
D.F. cae en una
cucharita ?





"That's all Folks!"

